

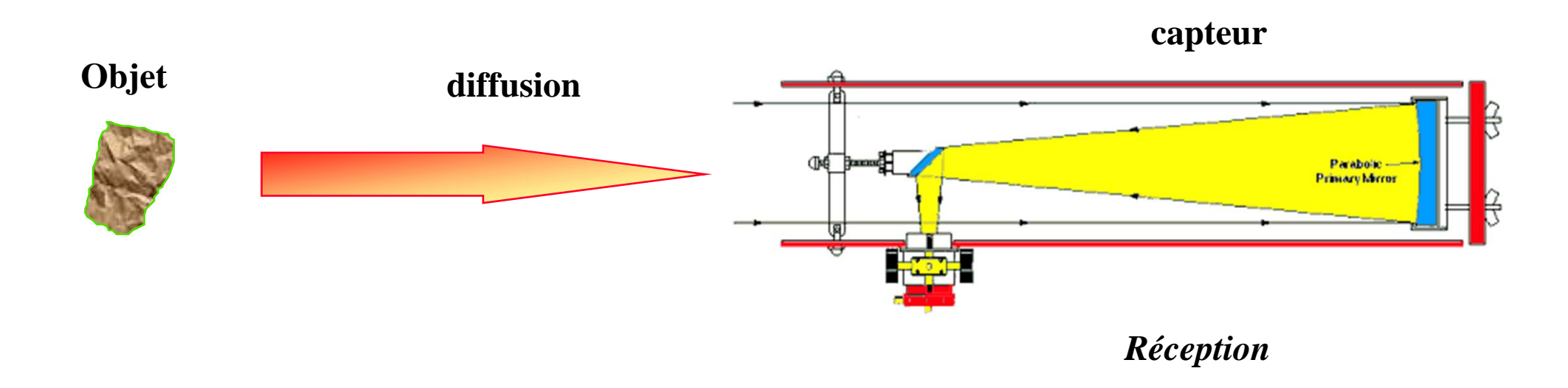
Introduction à l'imagerie radar – Physique de la mesure

Jean-Claude Souyris, CNES

Principe de la télédétection (1/4)



◆ Ensemble de techniques utilisées pour déterminer les propriétés des objets à partir de leur comportement en diffusion



Courtesy Christophe Valorge, CNES, SI/QI

Principe de la télédétection (2/4)

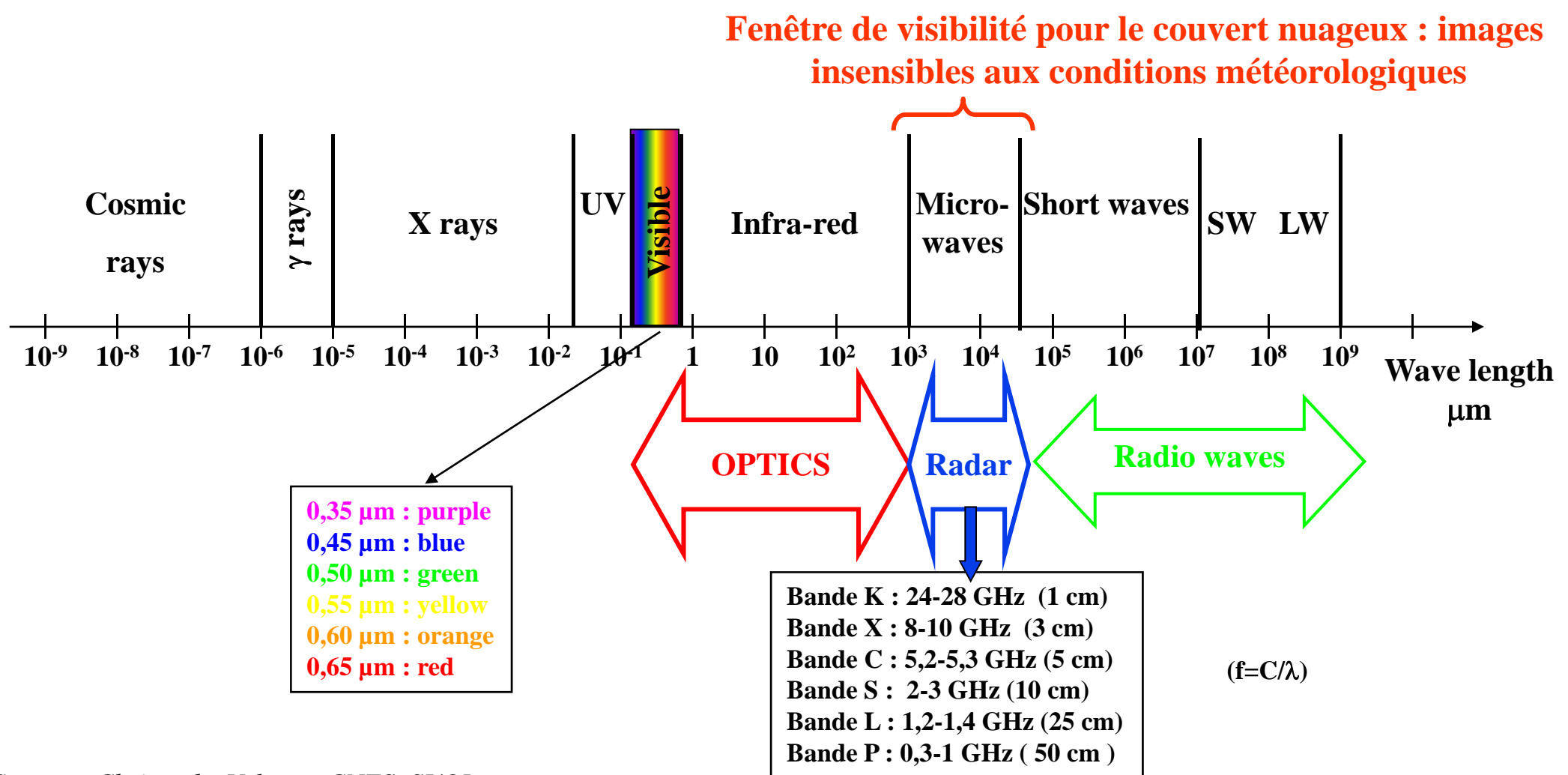


- ◆ Gamme étendue de signaux observés , incluant :
 - Spectre visible : $[0.4, 0.7] \mu m$: Le monde tel qu'on le voit
 - Proche infra-rouge : [0.7, 3] μm : vegetation, humidité de surface...
 - Infra-rouge [3, 50] μm : signatures dépendante de la température
 - Micro-ondes [3 cm 100 cm] : rugosité, humidité, biomasse, océanographie, objets métalliques, mouvements, ... radar

Principe de la télédétection (3/4)

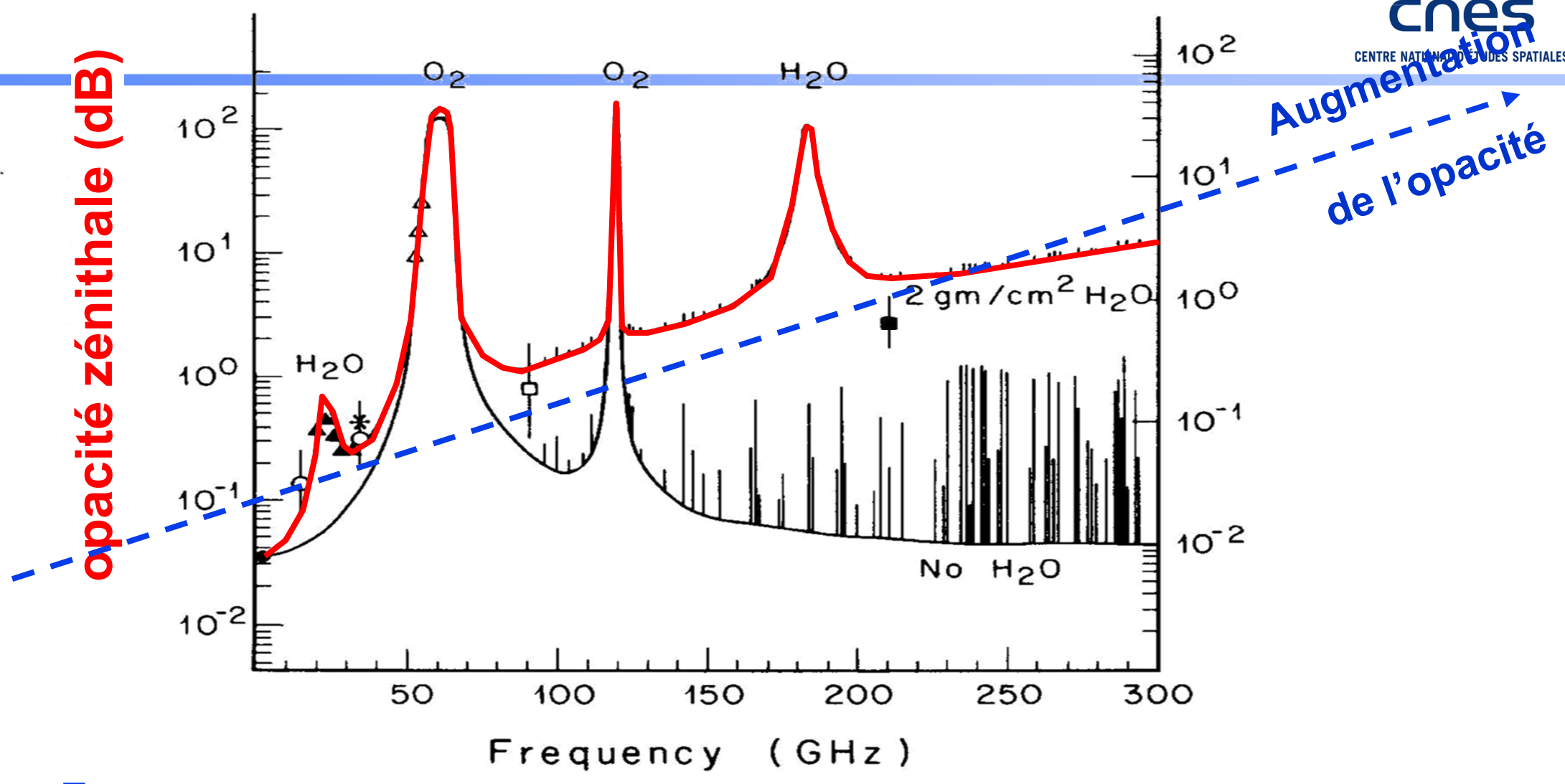


♦ Le spectre électromagnétique :



Propriétés d'absorption du spectre électromagnétique





Transparence e.m. (bandes radar)

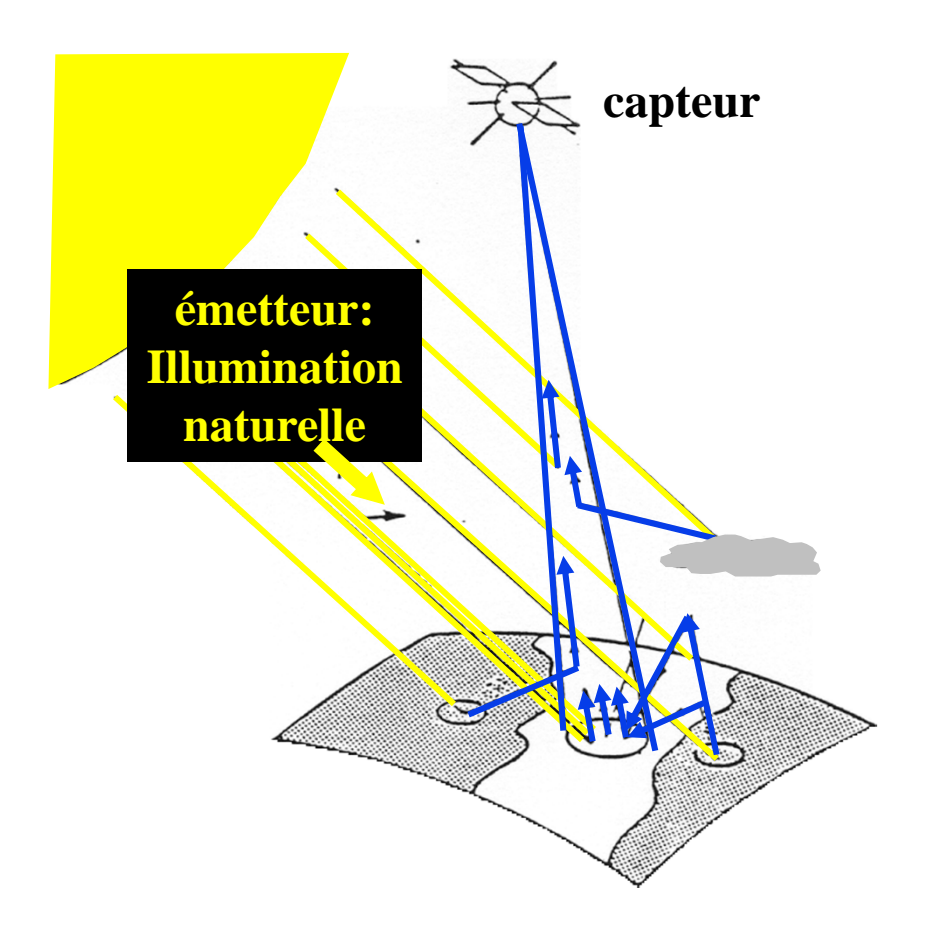
Optique

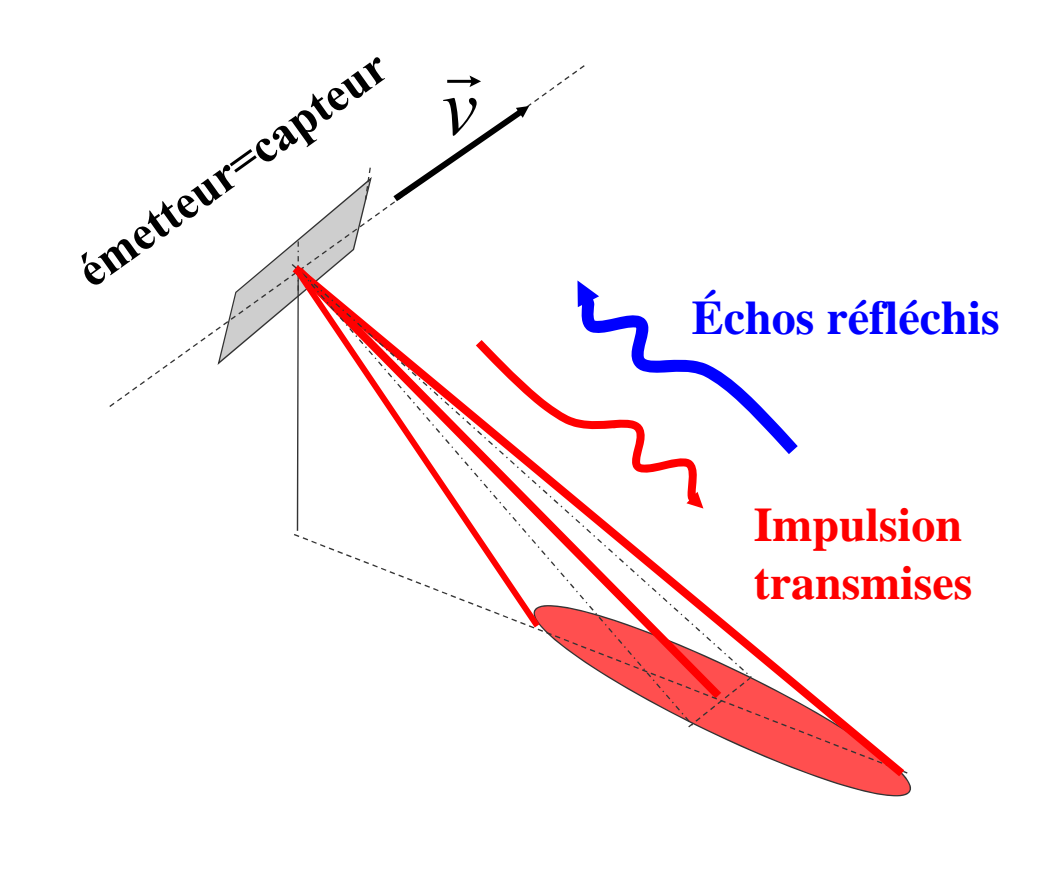
Principe de la télédétection (4/4) → Imagerie passive, imagerie active



OPTIQUE: *PASSIVE*

RADAR: ACTIVE





Onde radar ->

≈ peu de sensibilité aux conditions meteo





Landsat TM *

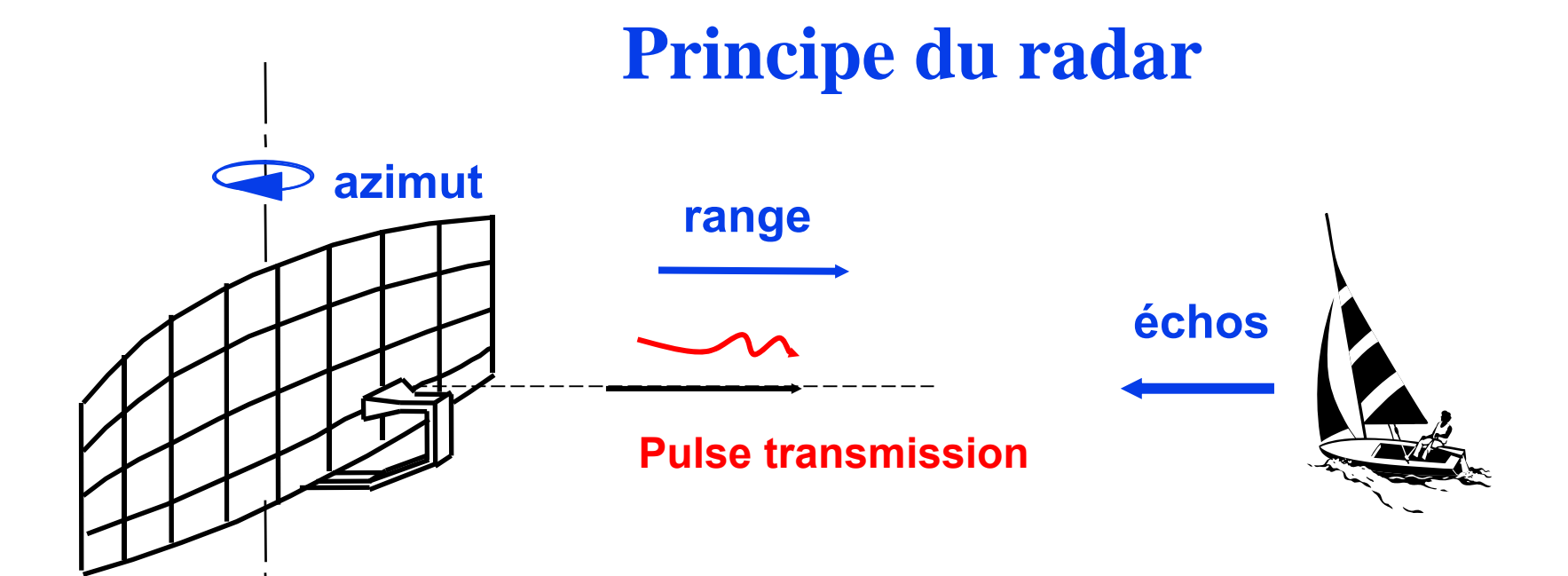


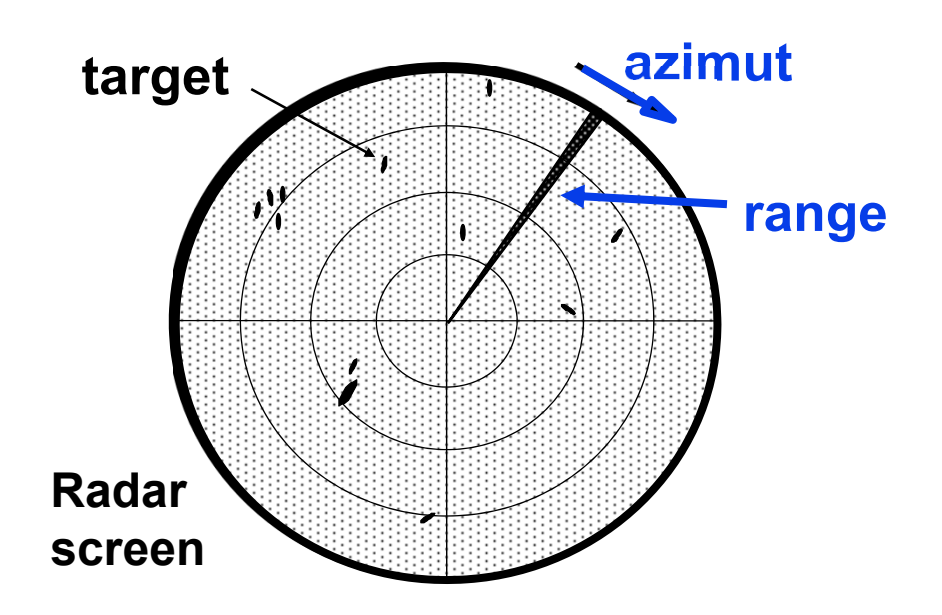
ERS (radar C band, 23°, VV)*



FONDAMENTAUX DU RADAR

• • •





• Les mesures de laps de temps entre émission d'une impulsion et retour de l'écho sont traduites en information de distance

Principe du radar : chronogramme d'une impulsion (impulsion idéale, « sans épaisseur »)

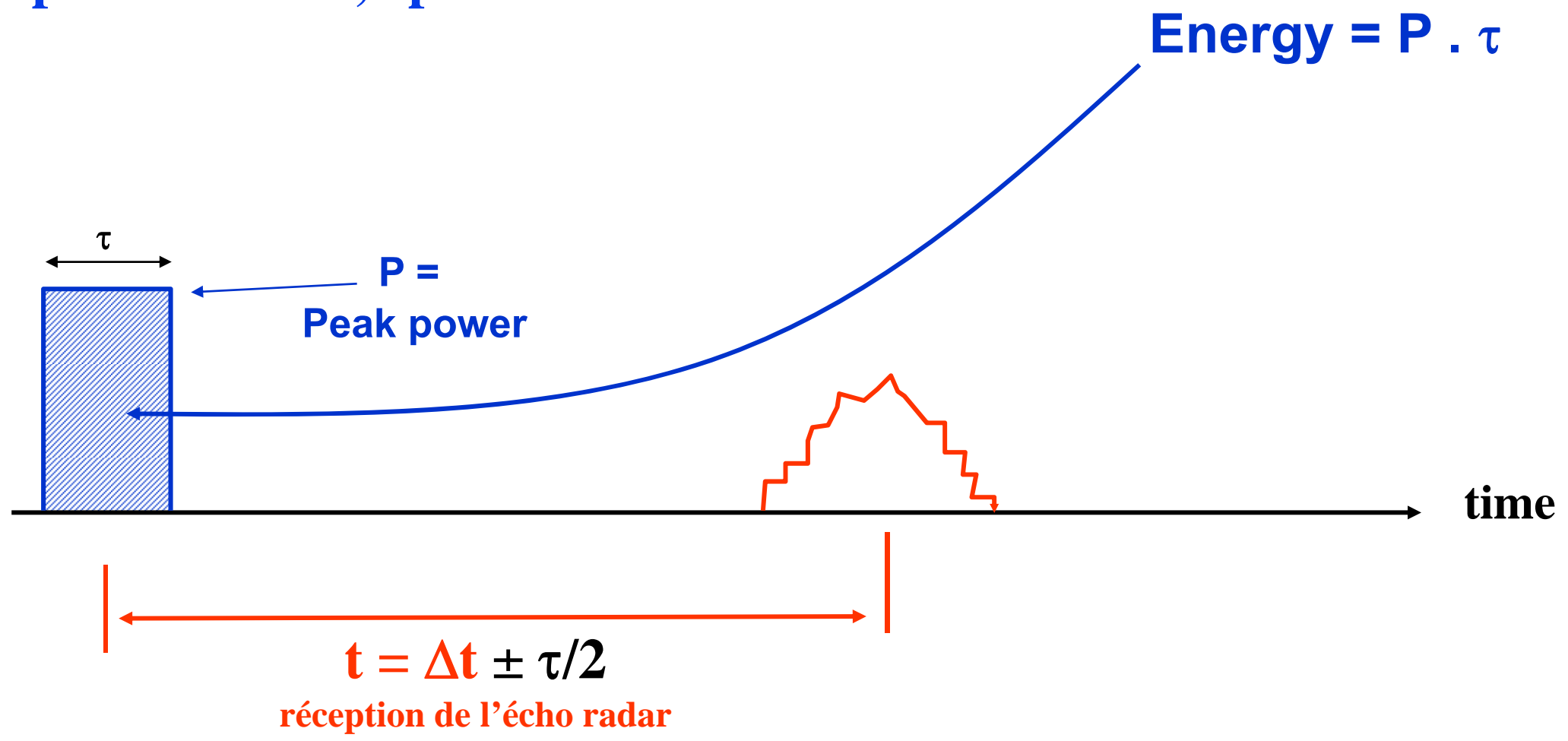


$$t = 0 \text{ s}$$
émission de l'impulsion radar
$$t = \Delta t$$

$$t = \Delta t$$
réception de l'écho radar

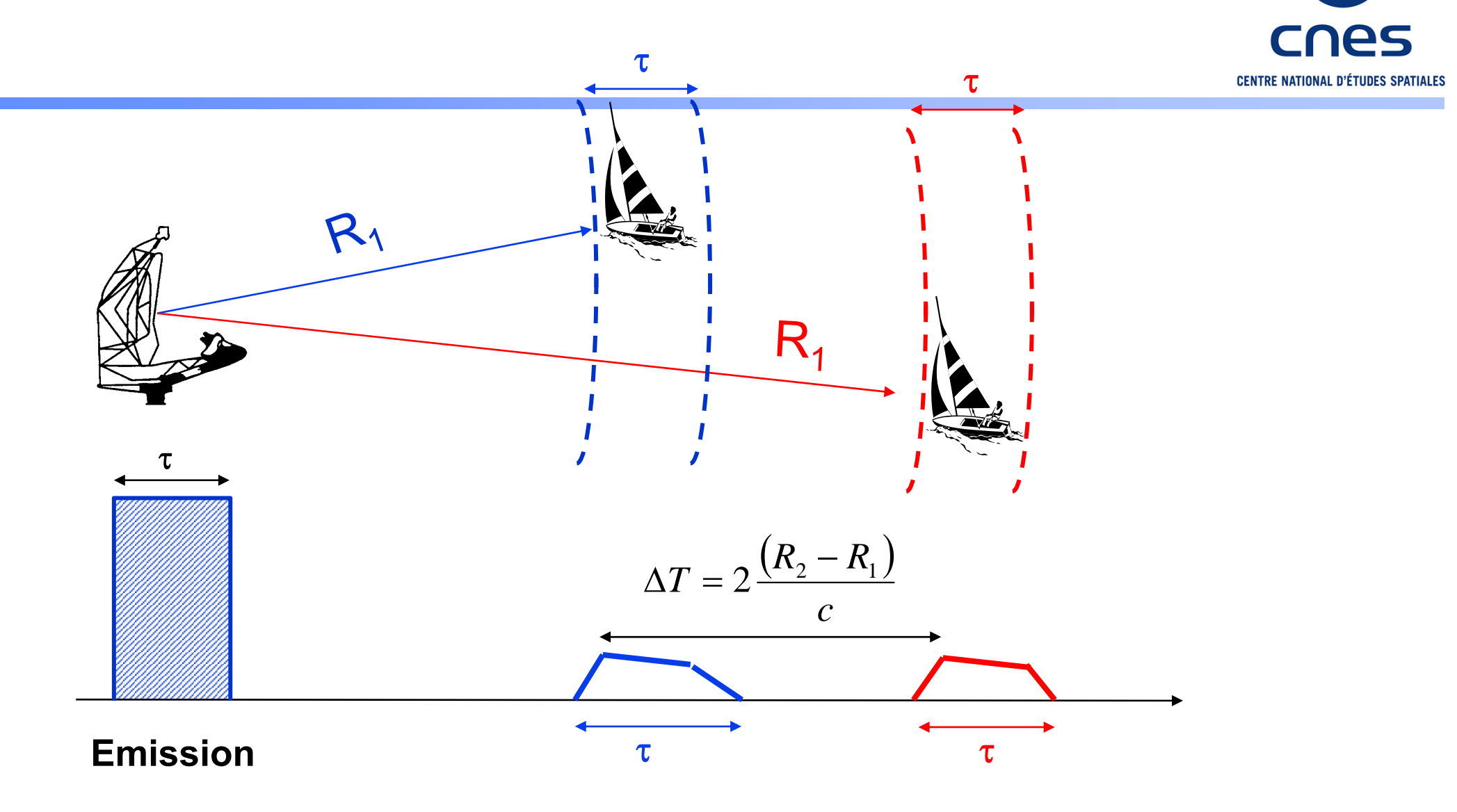
- \rightarrow Distance cible radar : $d = c.\Delta t/2$
- → Mesure de temps transformée en information de distance

Impulsion réelle, épaisseur τ



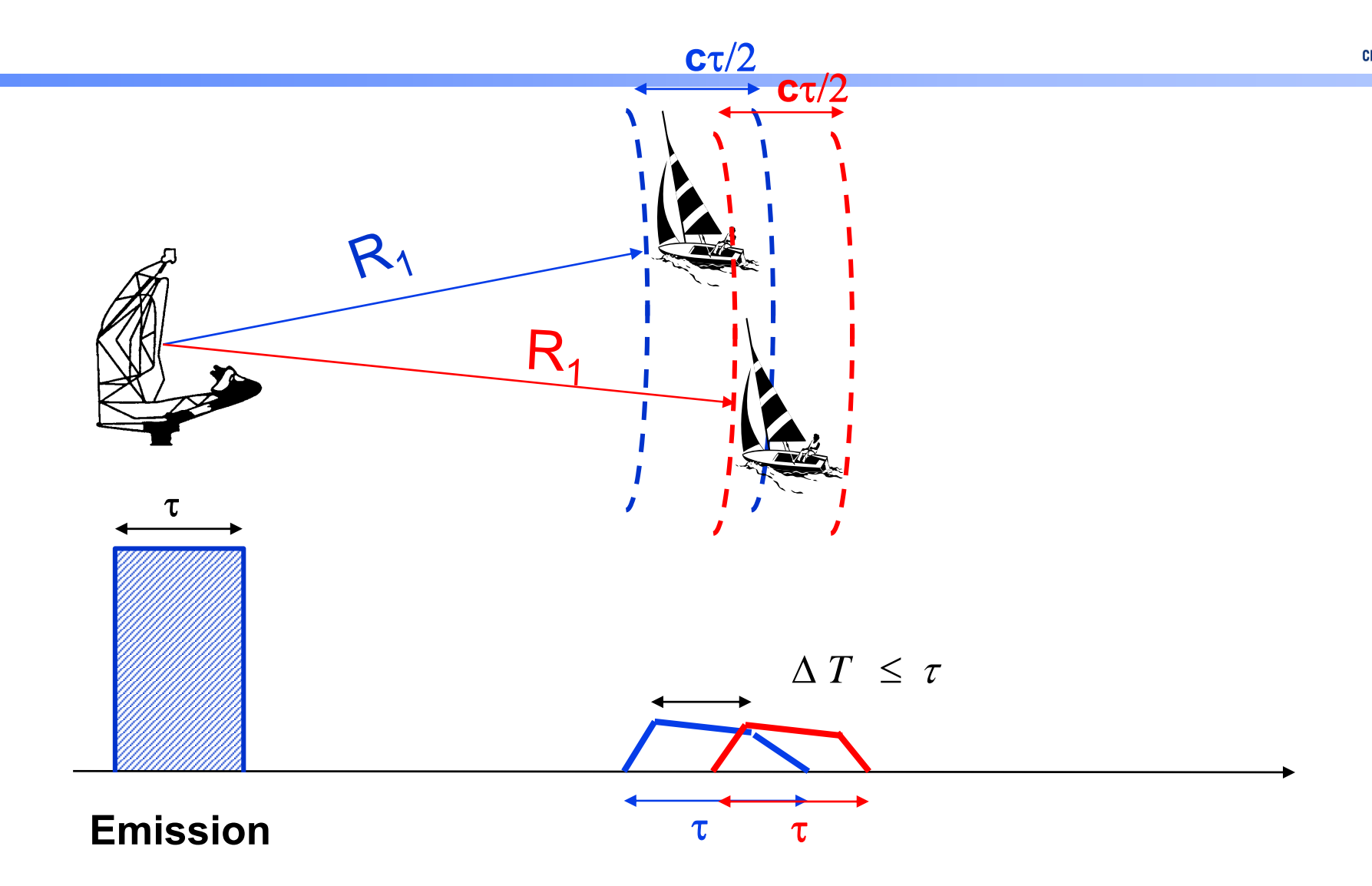
- \rightarrow Distance Radar Cible : $\mathbf{d} = \mathbf{c} \cdot \Delta \mathbf{t}/2 \pm \mathbf{c} \cdot \tau/2$
- → Mesure temps = mesure de distance measurement + incertitude

Résolution distance = incertitude sur discrimination en distance



Discrimination possible si : Δ T \geq τ \Leftrightarrow Δ R \geq c \cdot τ / 2

Résolution distance = incertitude sur discrimination en distance



Non discrimination:

$$\Delta R \leq c \cdot \tau / 2$$

Résolution distance = incertitude sur discrimination en distance =

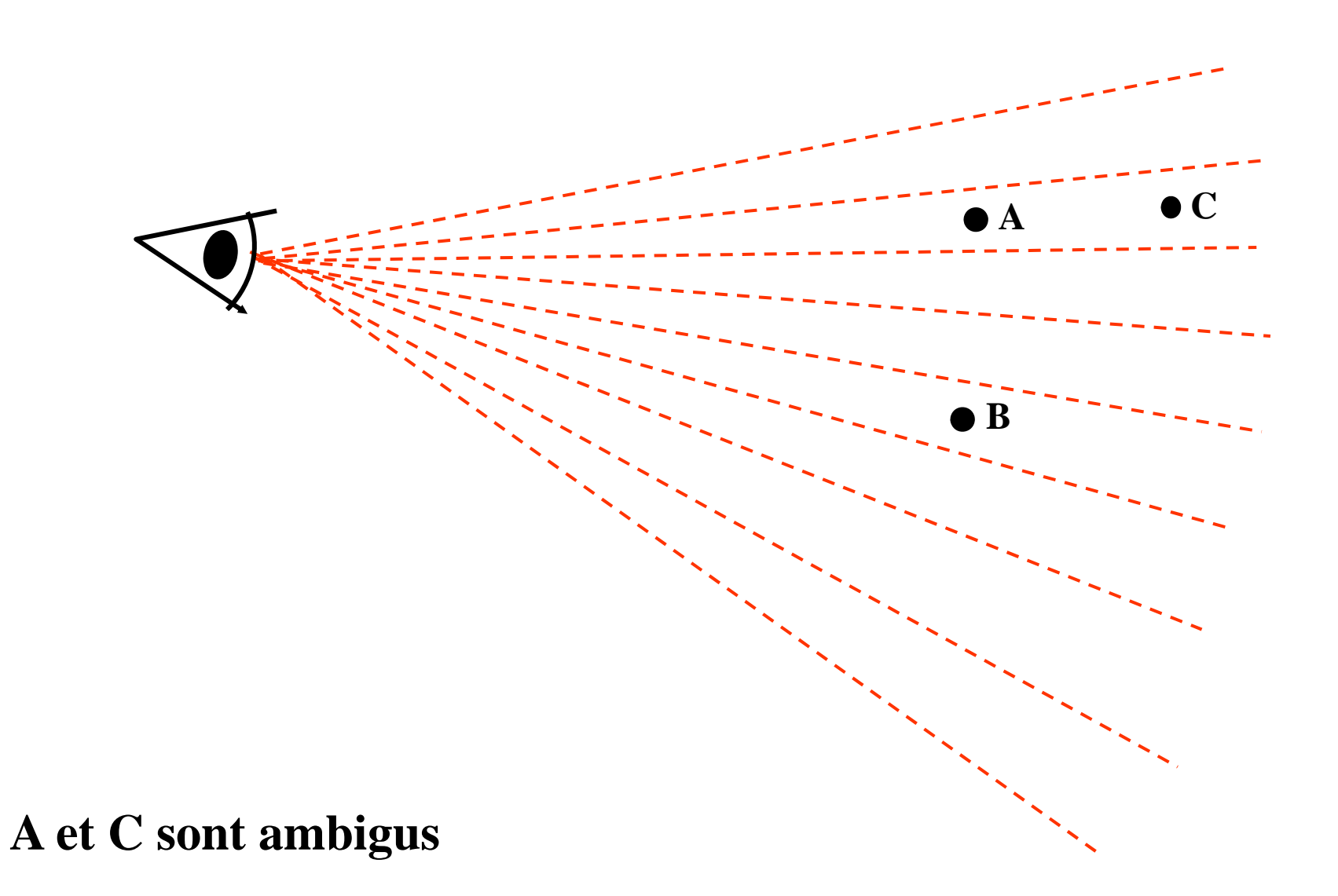
$$\pm$$
 C. τ / 2
3 x 10⁸ m/s 30 x 10⁻⁶ m/s

4500 m

Le monde tel qu'il est perçu

cnes

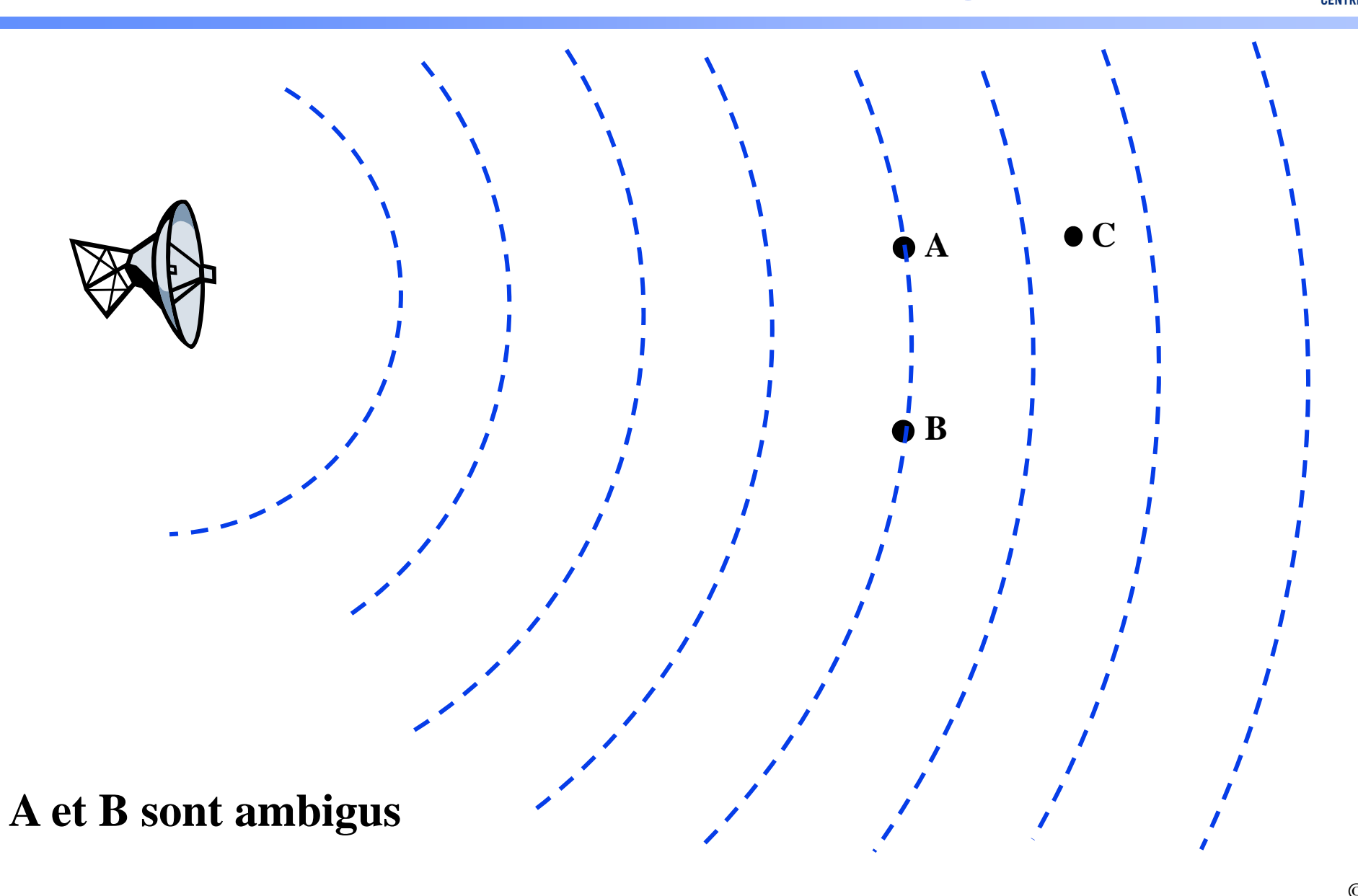
→ Par la vision optique : échantillonnage angulaire

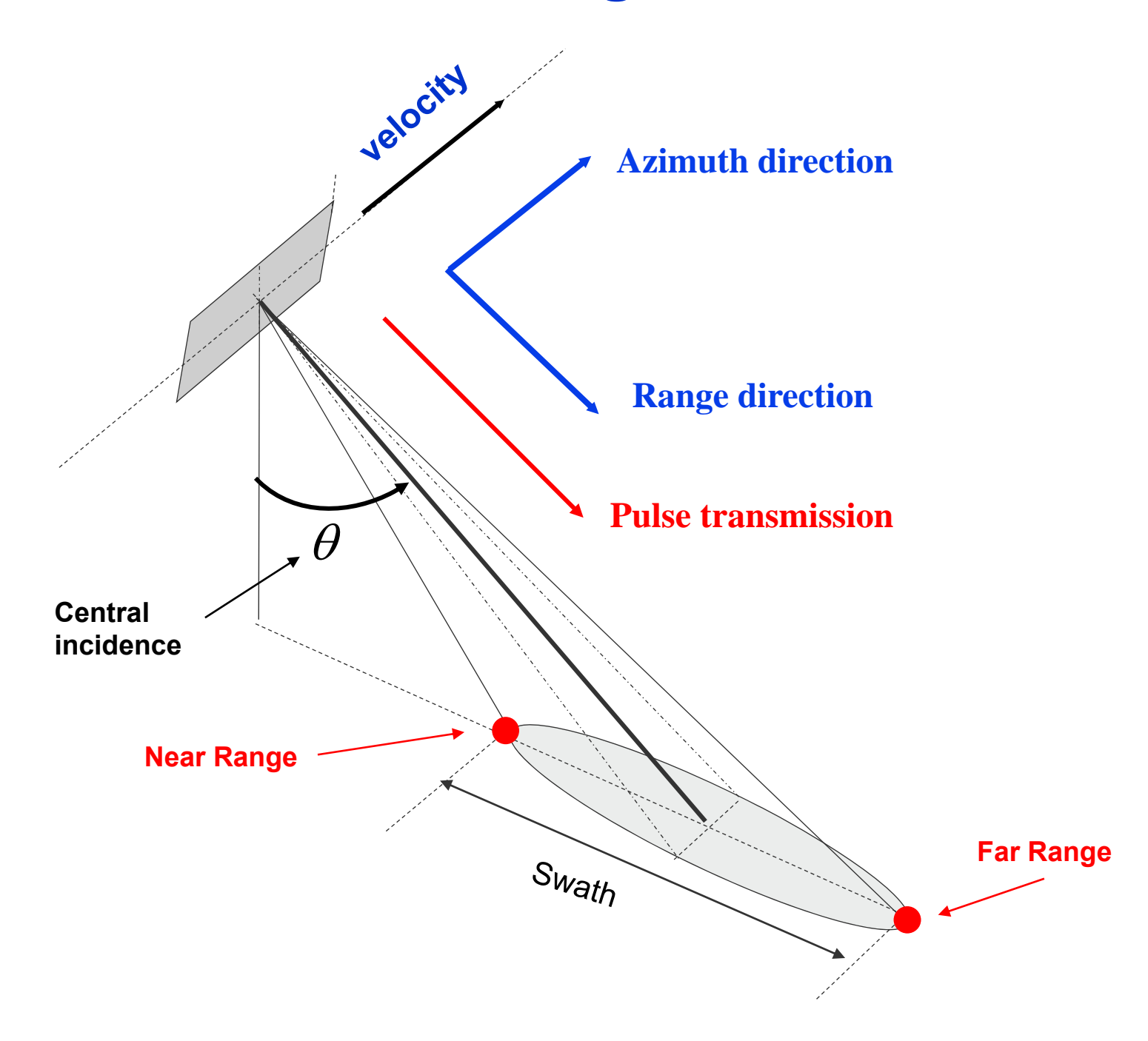


Le monde tel qu'il est perçu



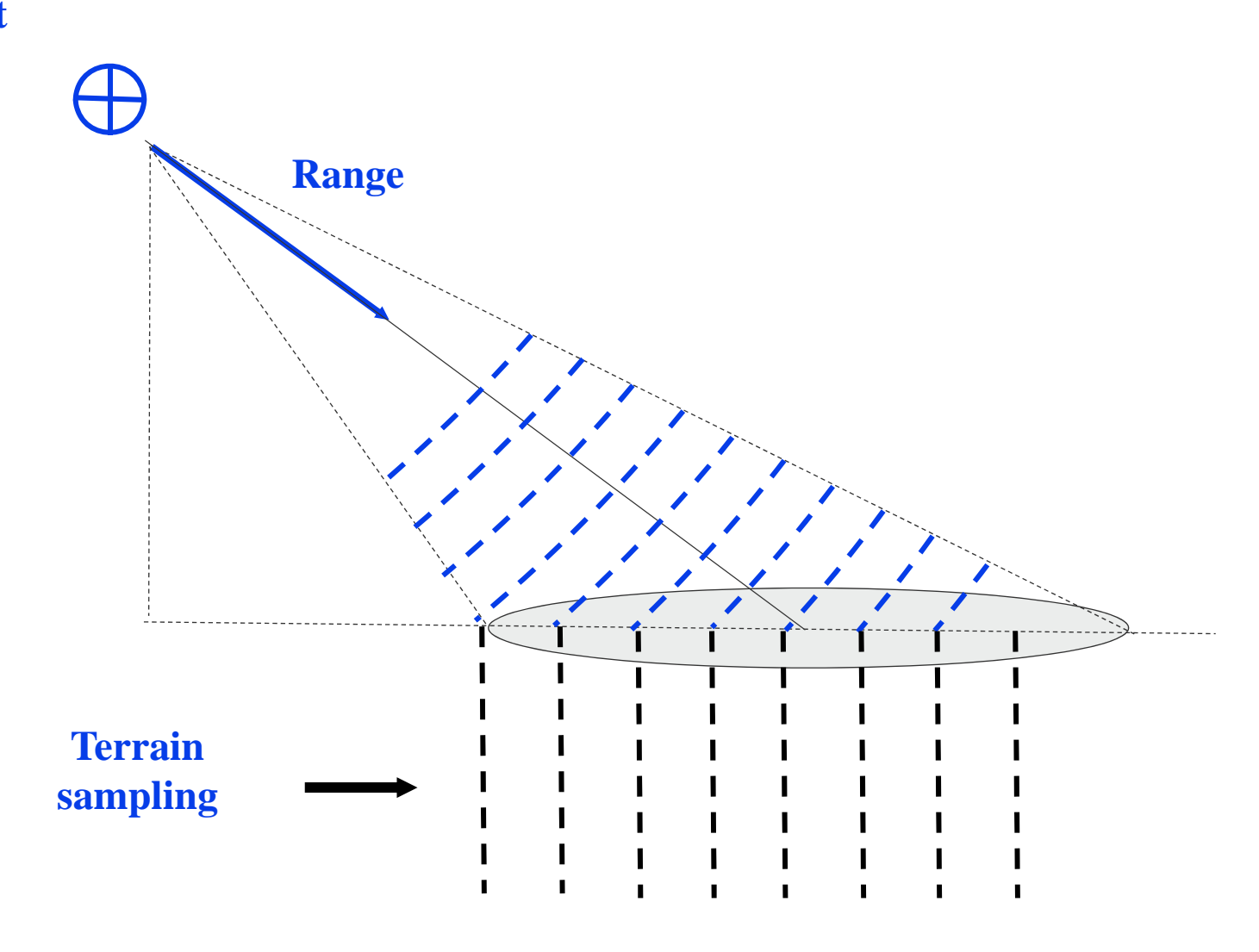
→ Par la vision radar : échantillonnage en distance







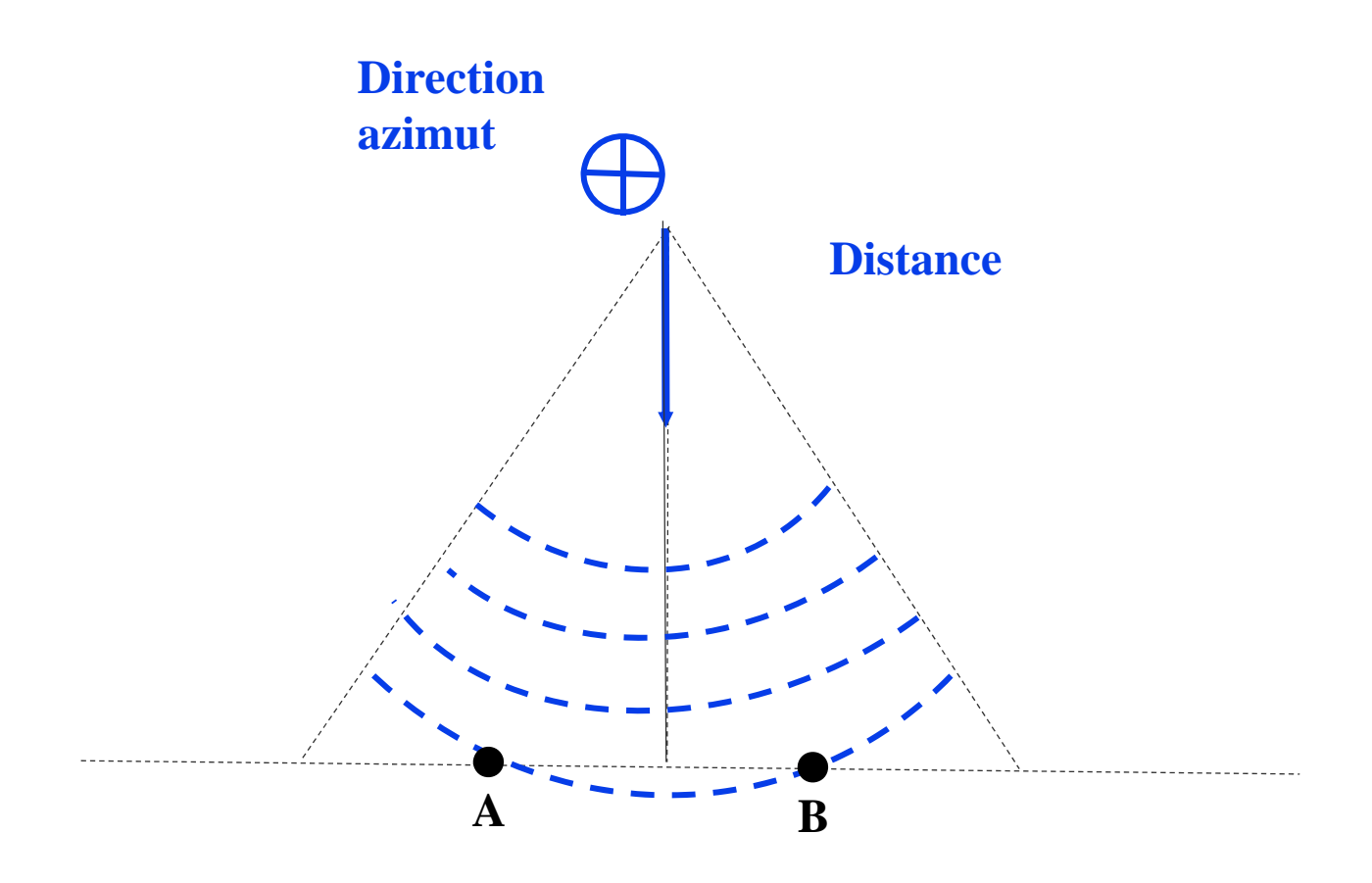
Azimut





... Que se passerait-il si le radar fonctionnait en visibilité nadir ? 165

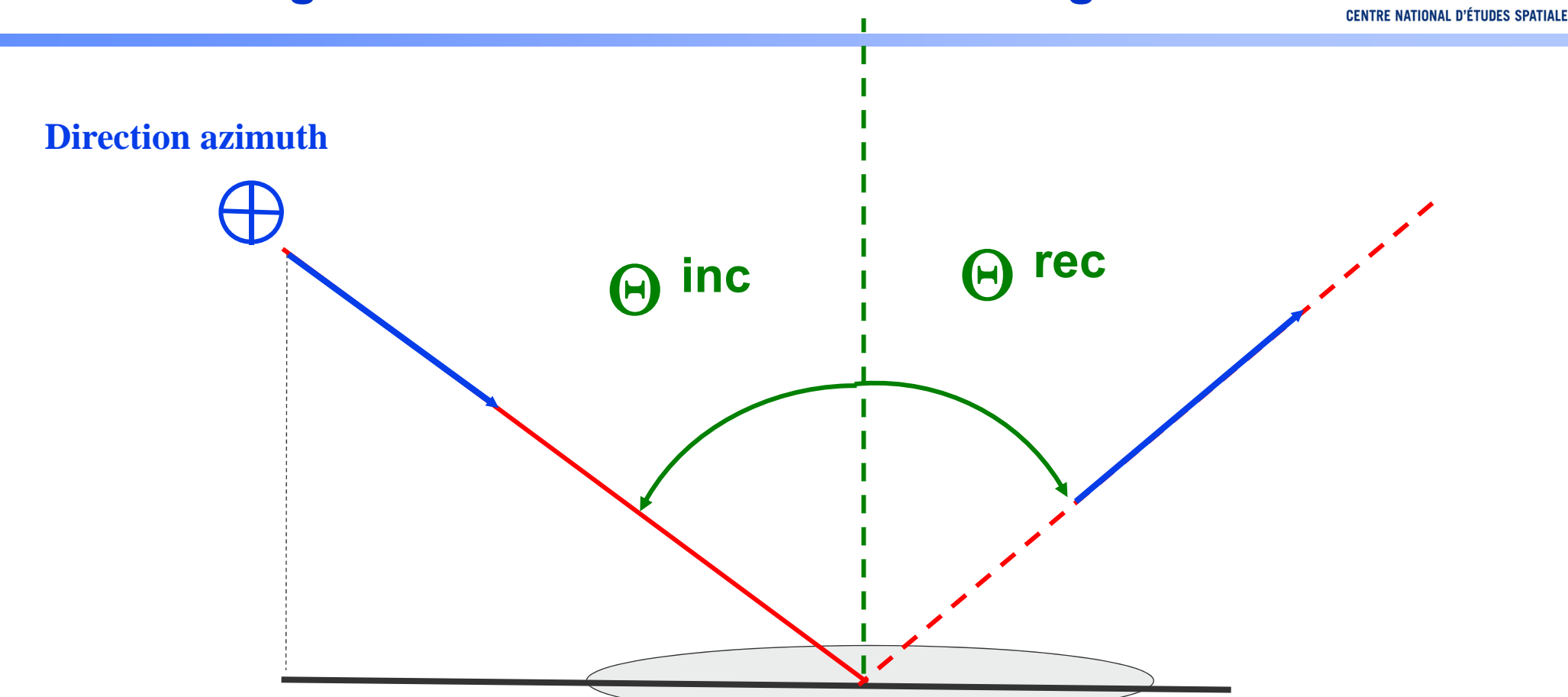
..... AL D'ÉTUDES SPATIAI



A and B sont ambigus



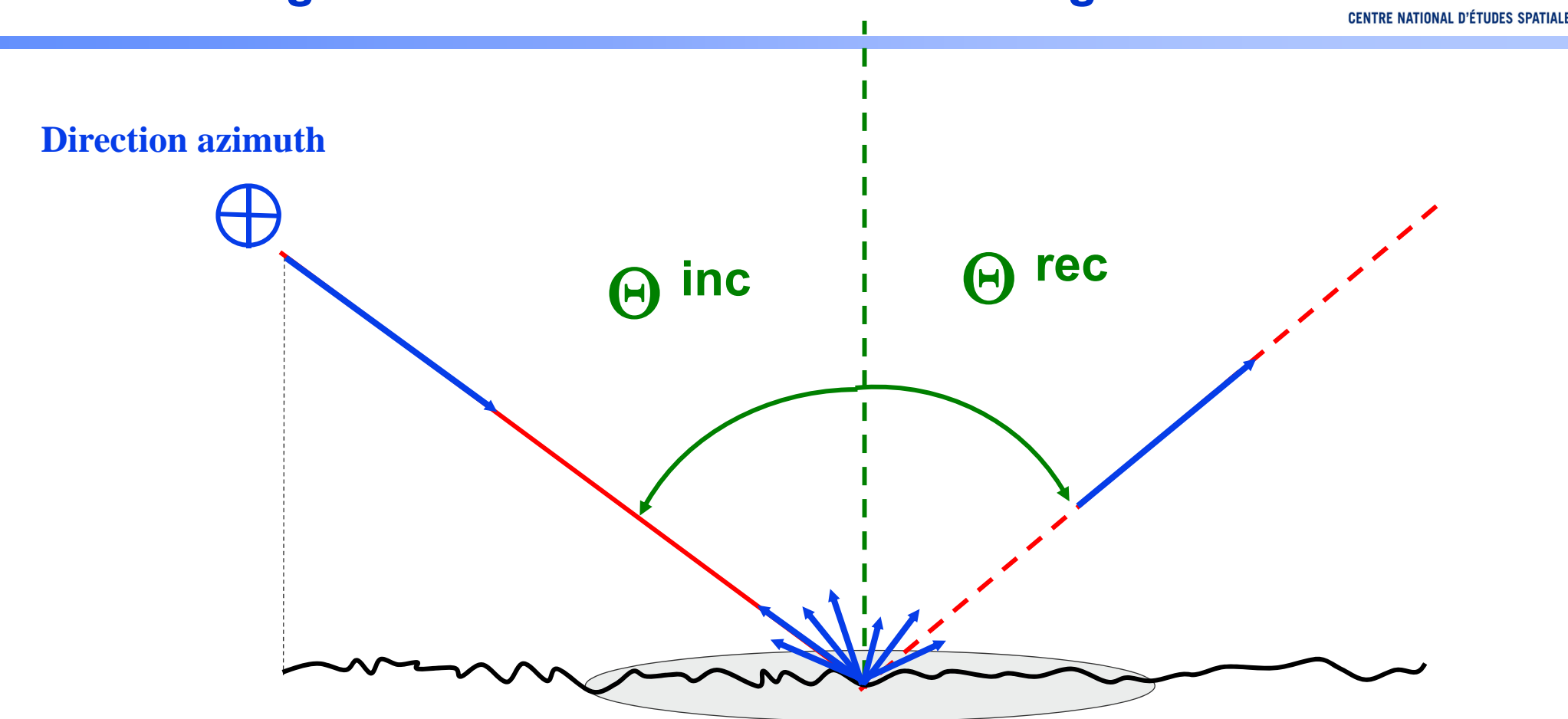
... Le radar imageur doit fonctionner en slant range!



... et l'énergie réfléchie se propage principalement dans une direction différente de la direction d'observation du radar ...

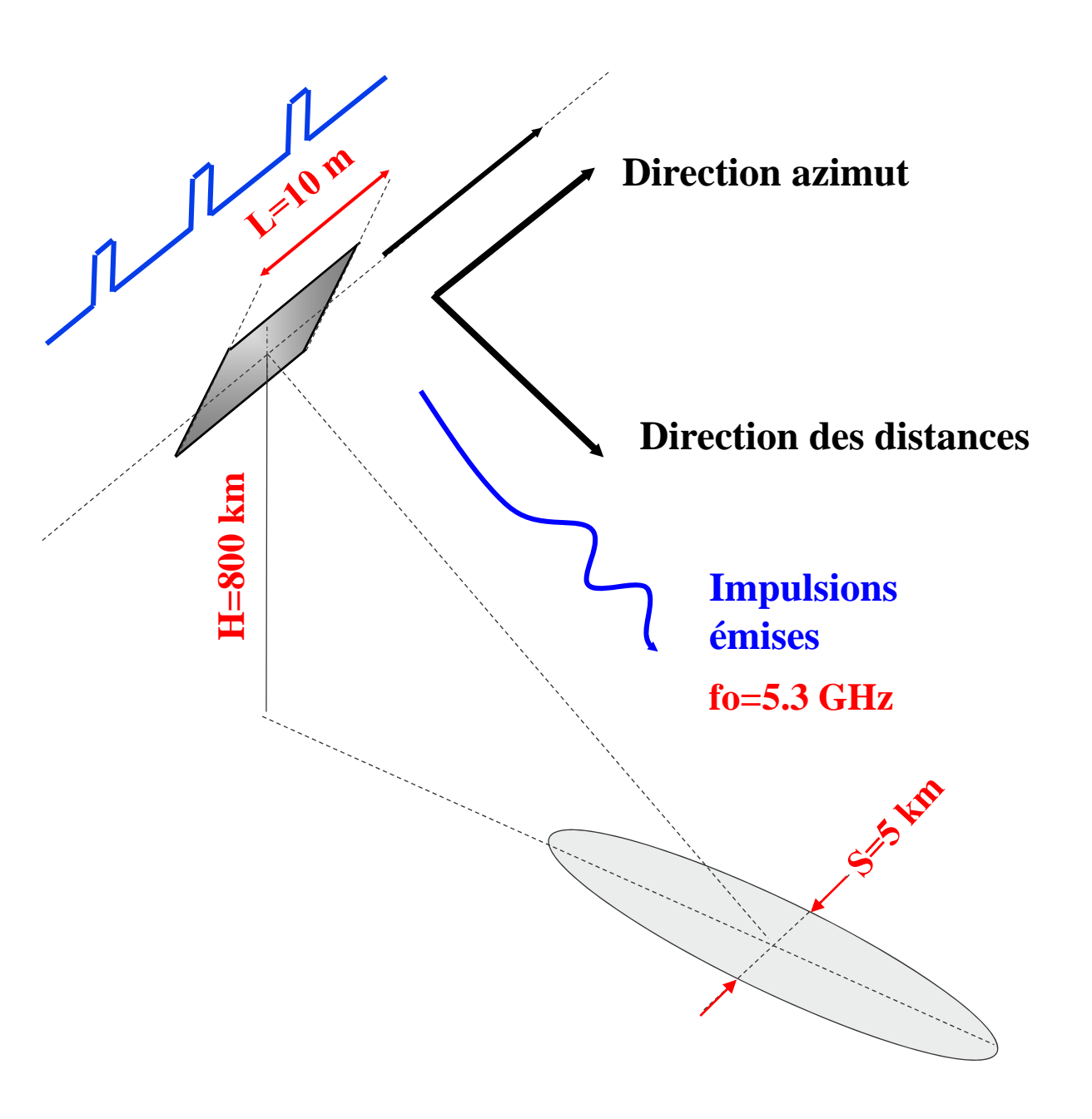


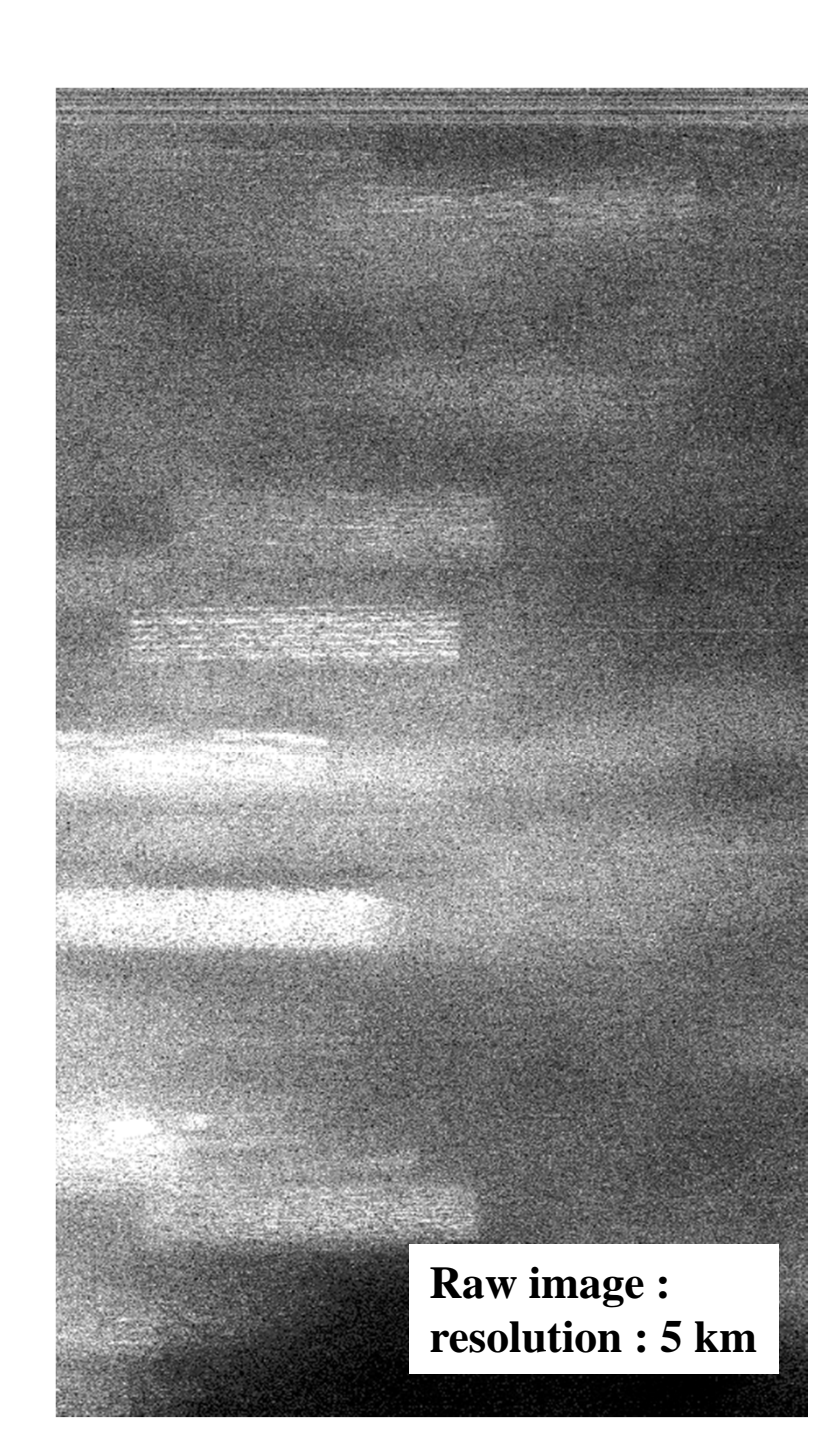
... Le radar imageur doit fonctionner en slant range!



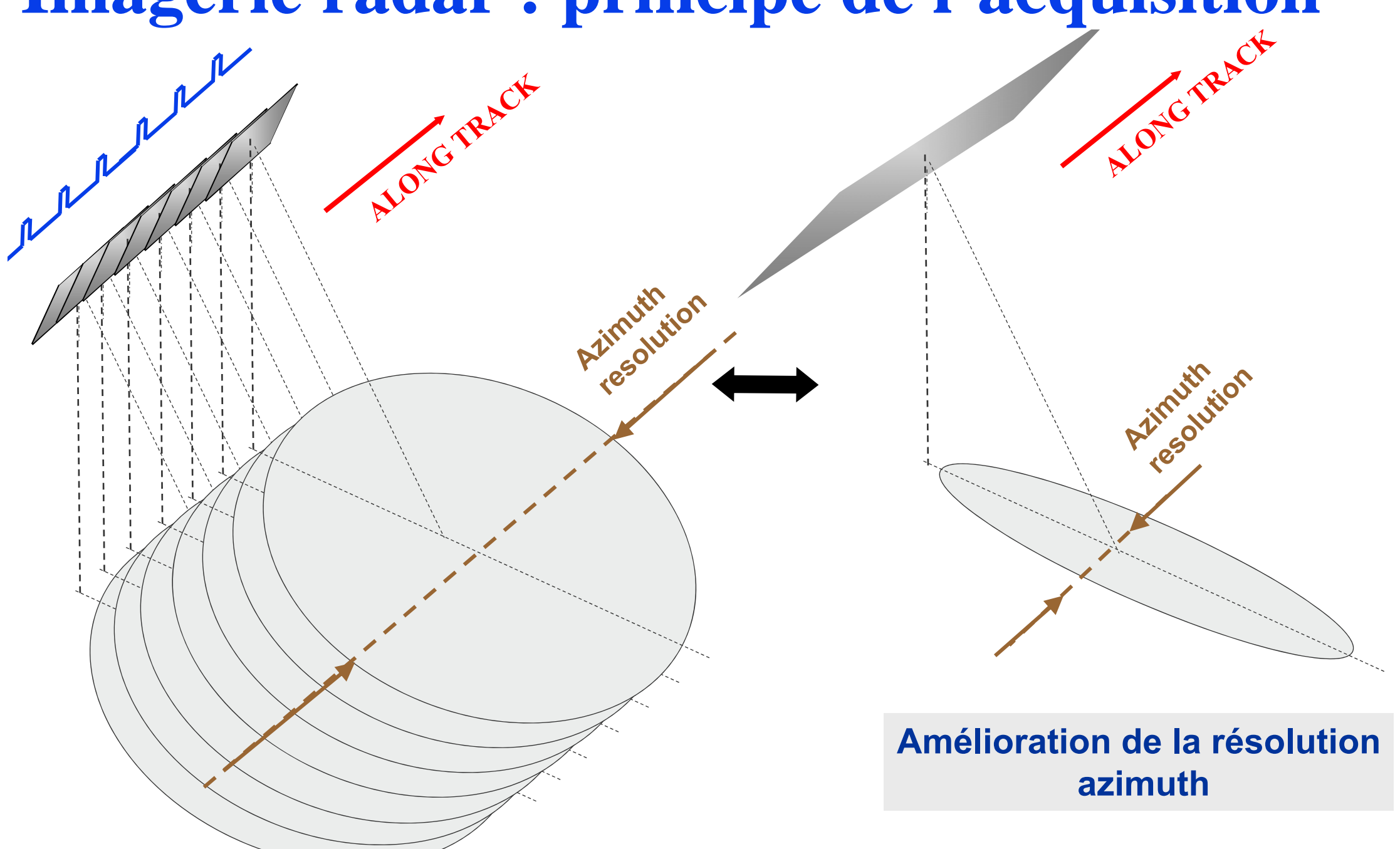
... Seulement une partie infime de l'énergie revient vers l'antenne du radar → criticité du bilan de liaison

Fabrication d'une image radar





Imagerie radar : principe de l'acquisition



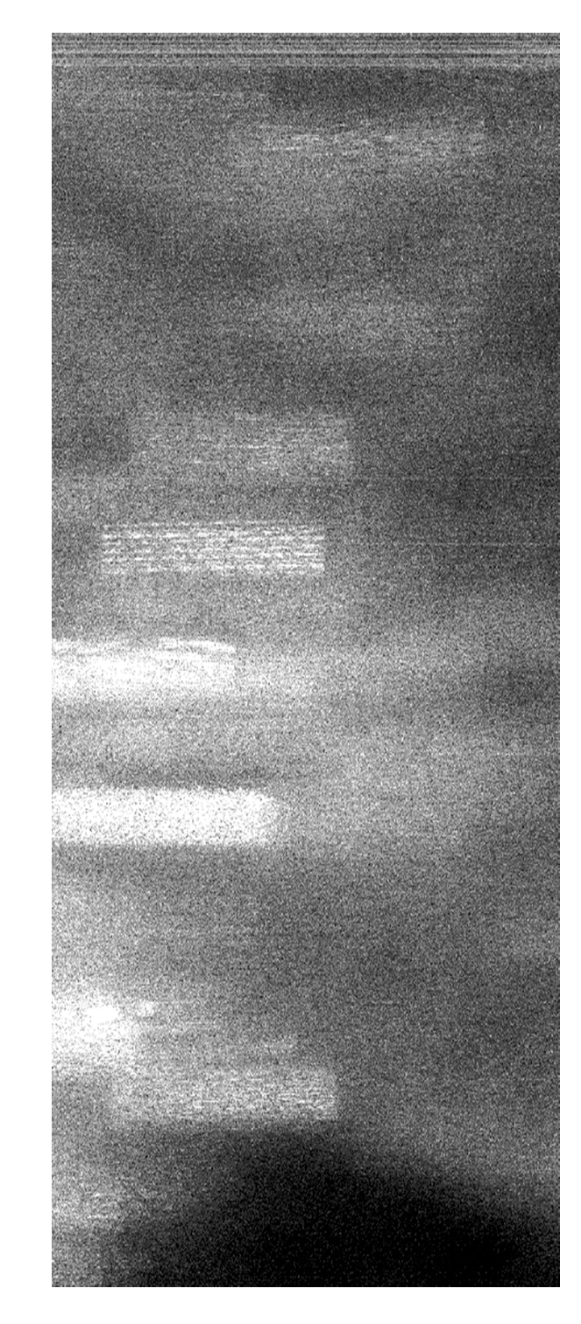


Image brute



Compression distance

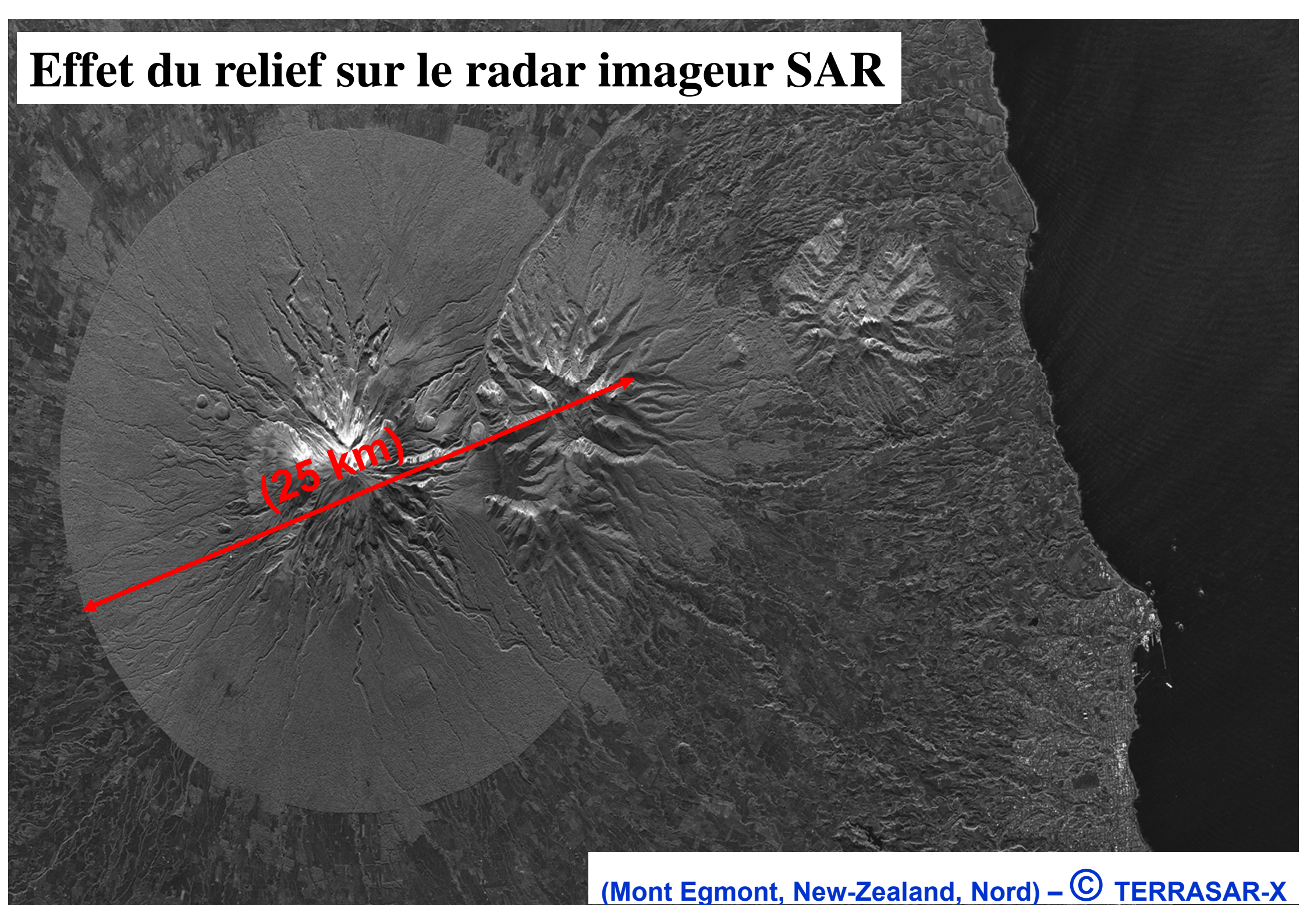


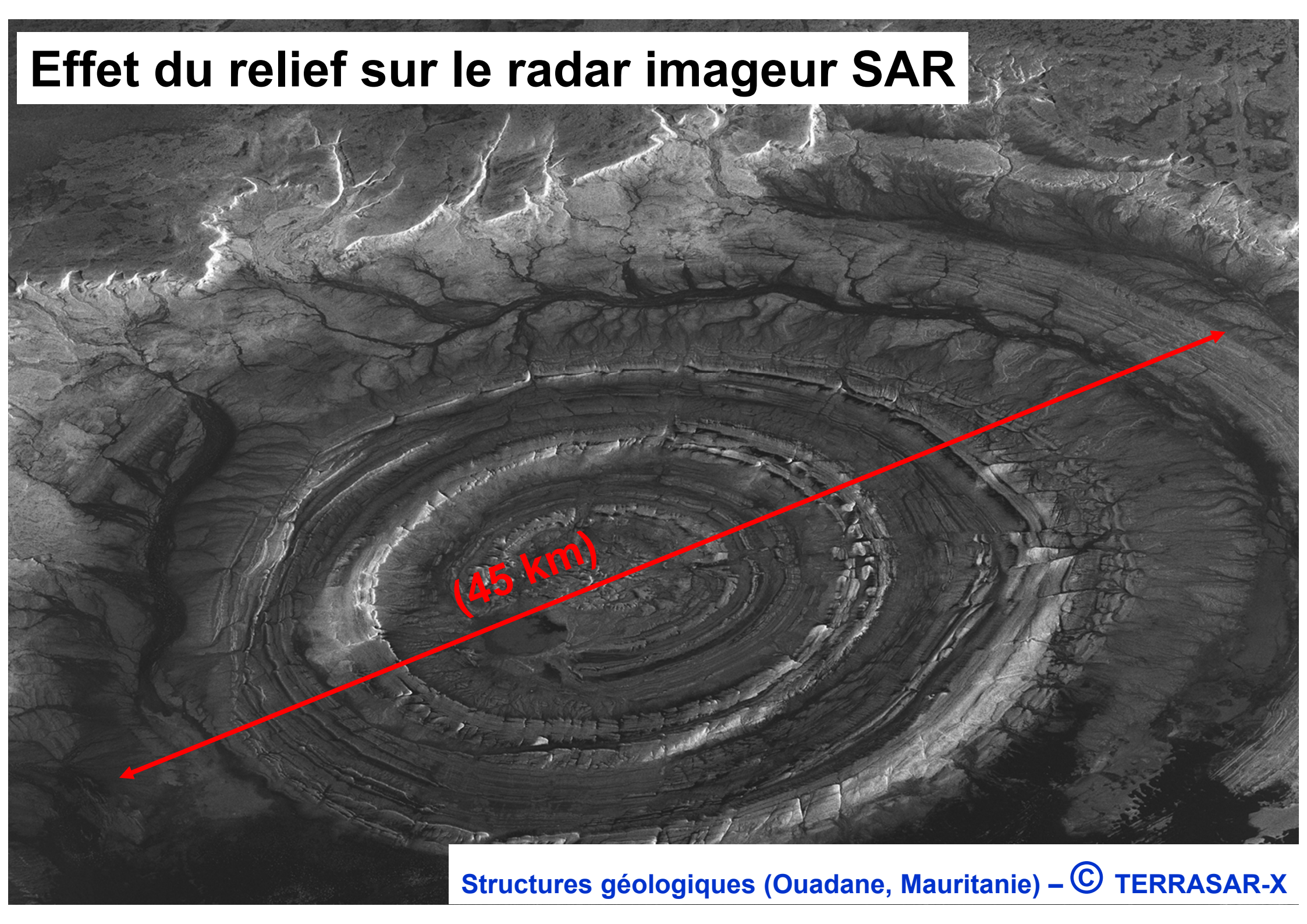
Image résolué



Antenne à Synthèse d'Ouverture ->

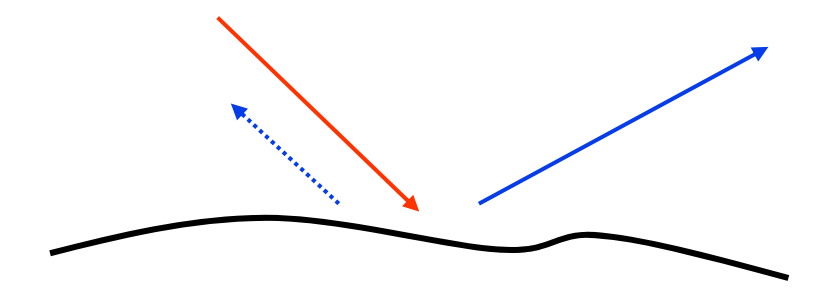
... Images réelles à partir d'antennes virtuelles ...

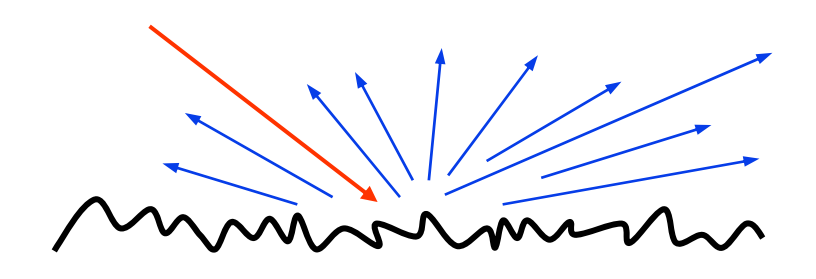




Effet de rugosité sur le radar imageur SAR





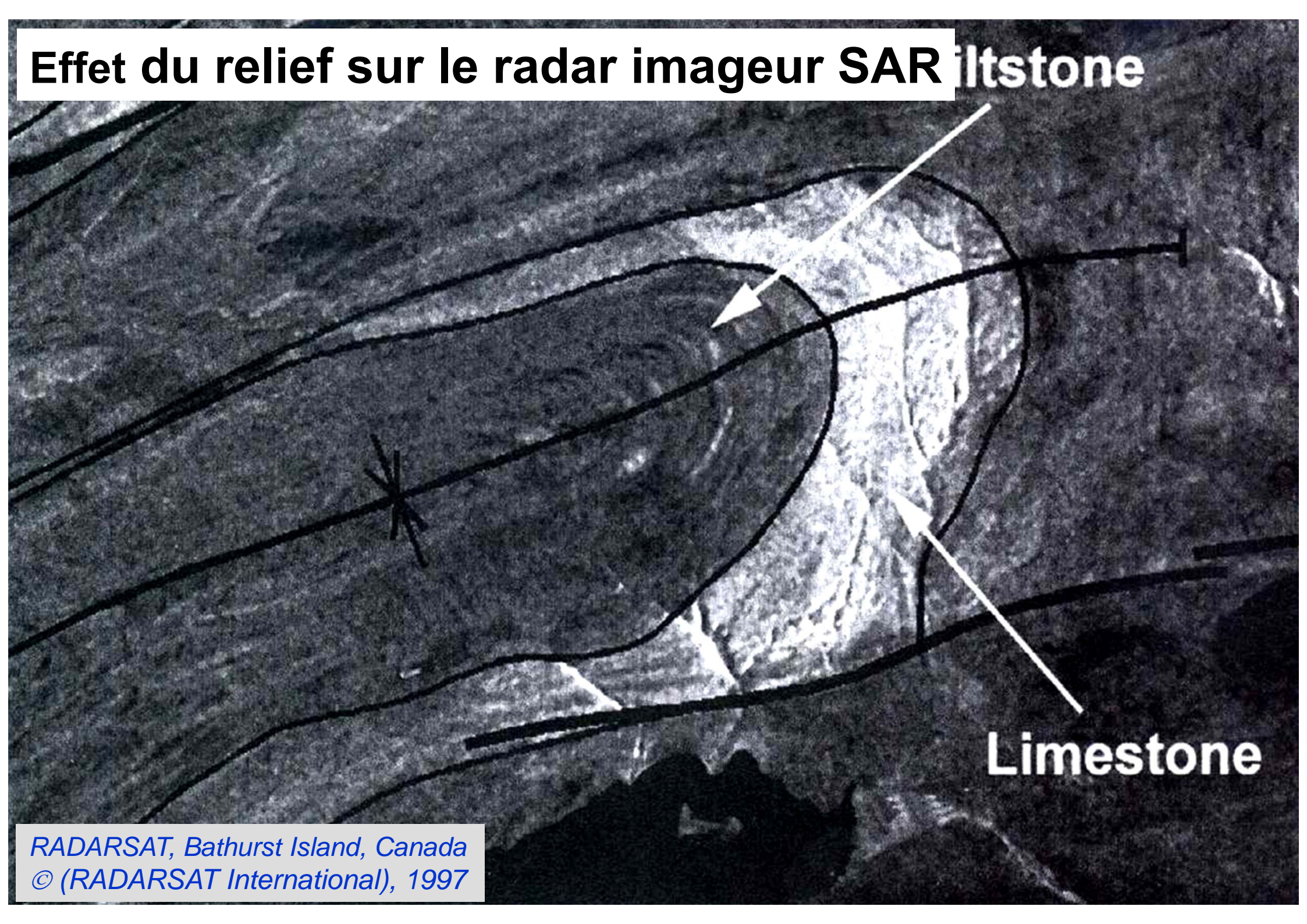


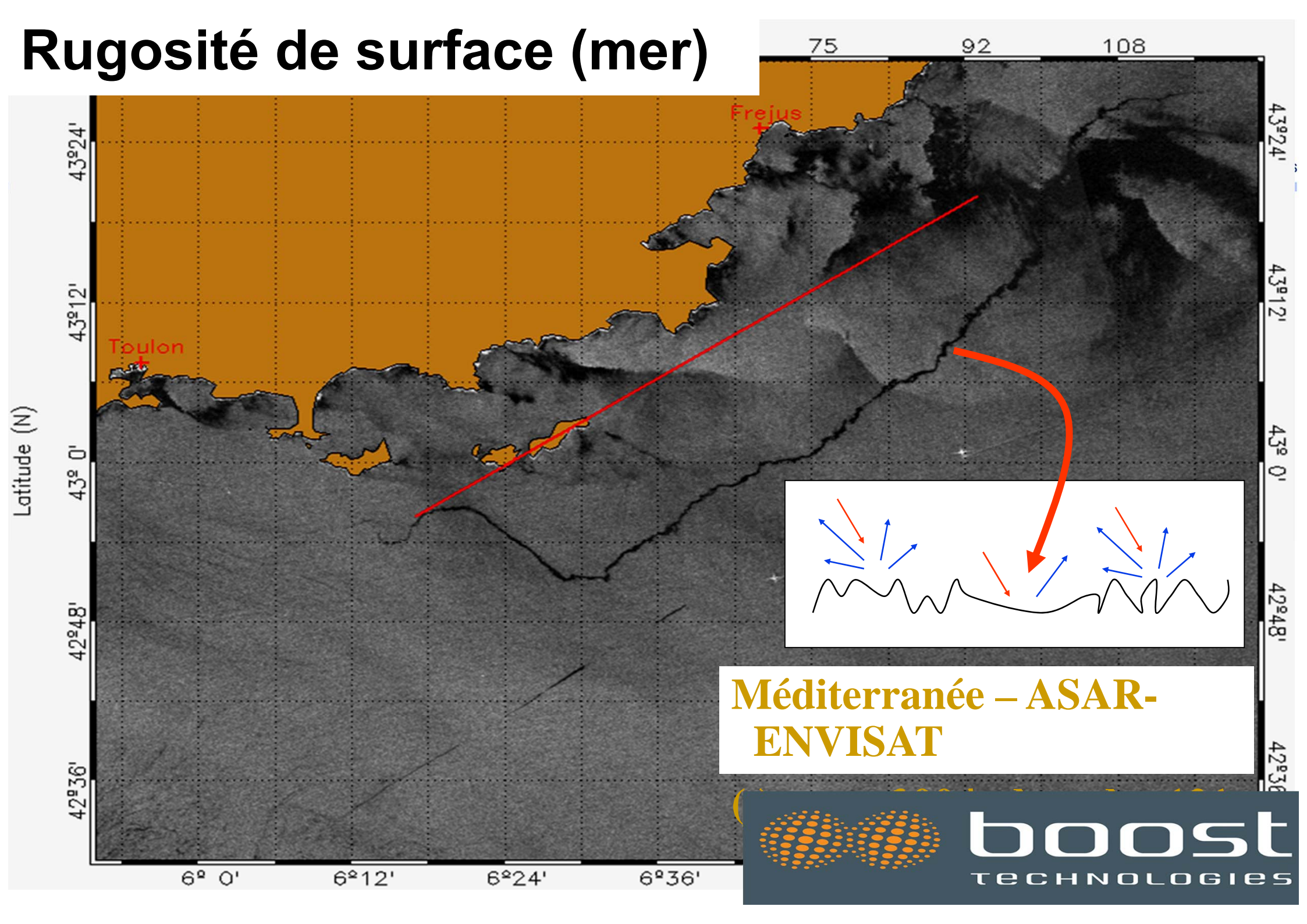
Faible rétrodiffusion

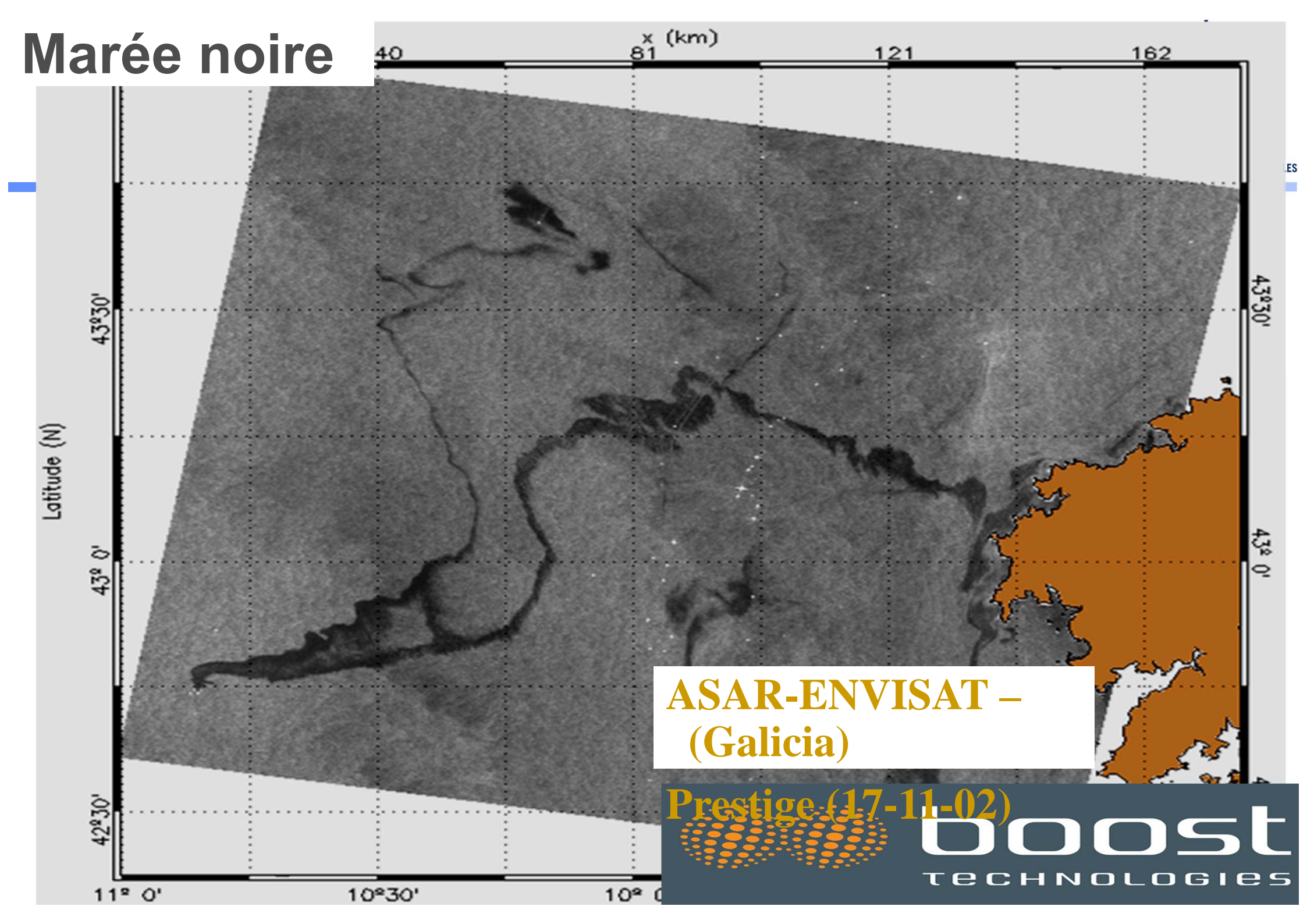
→ faible radiométrie

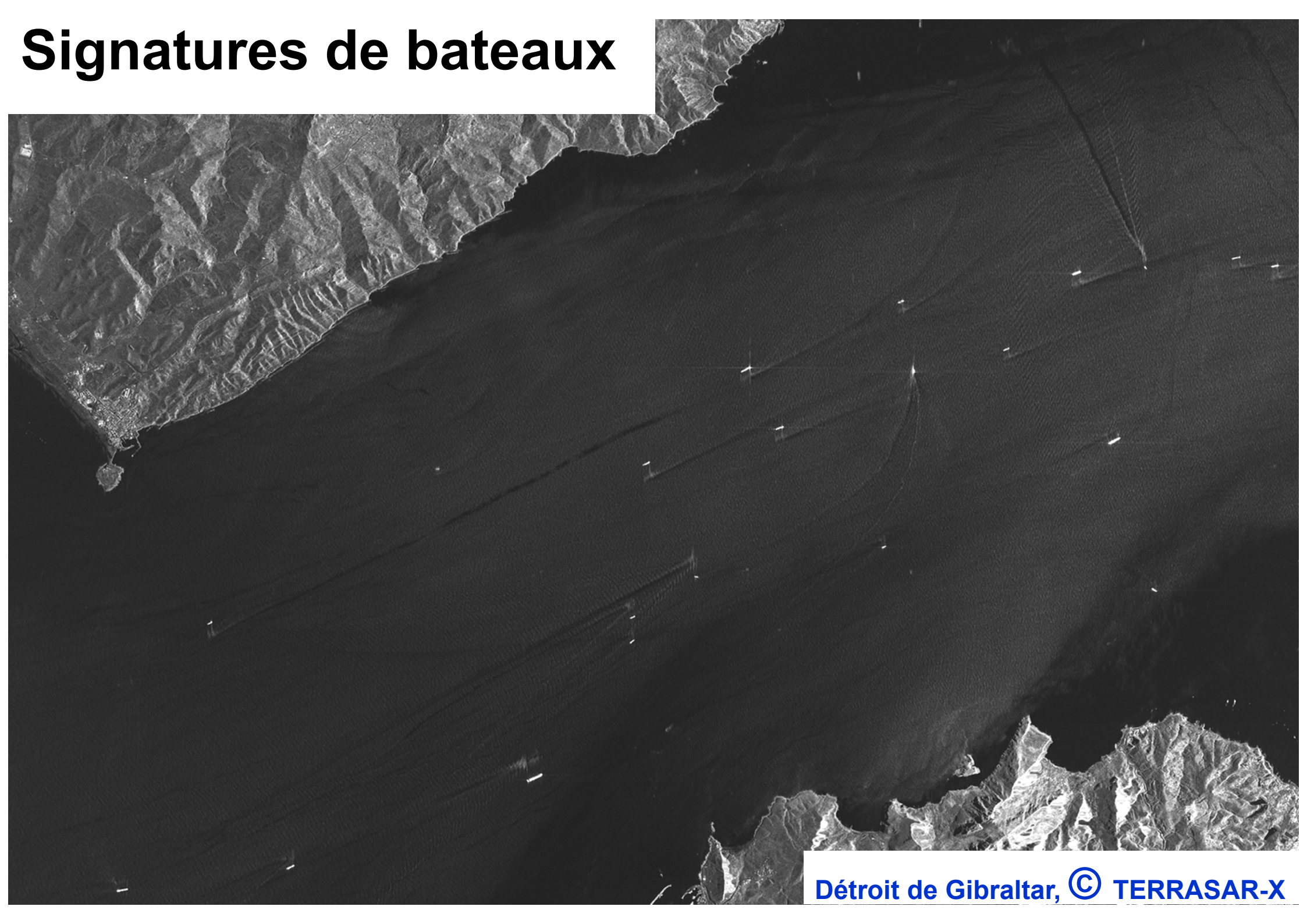
Forte rétrodiffusion

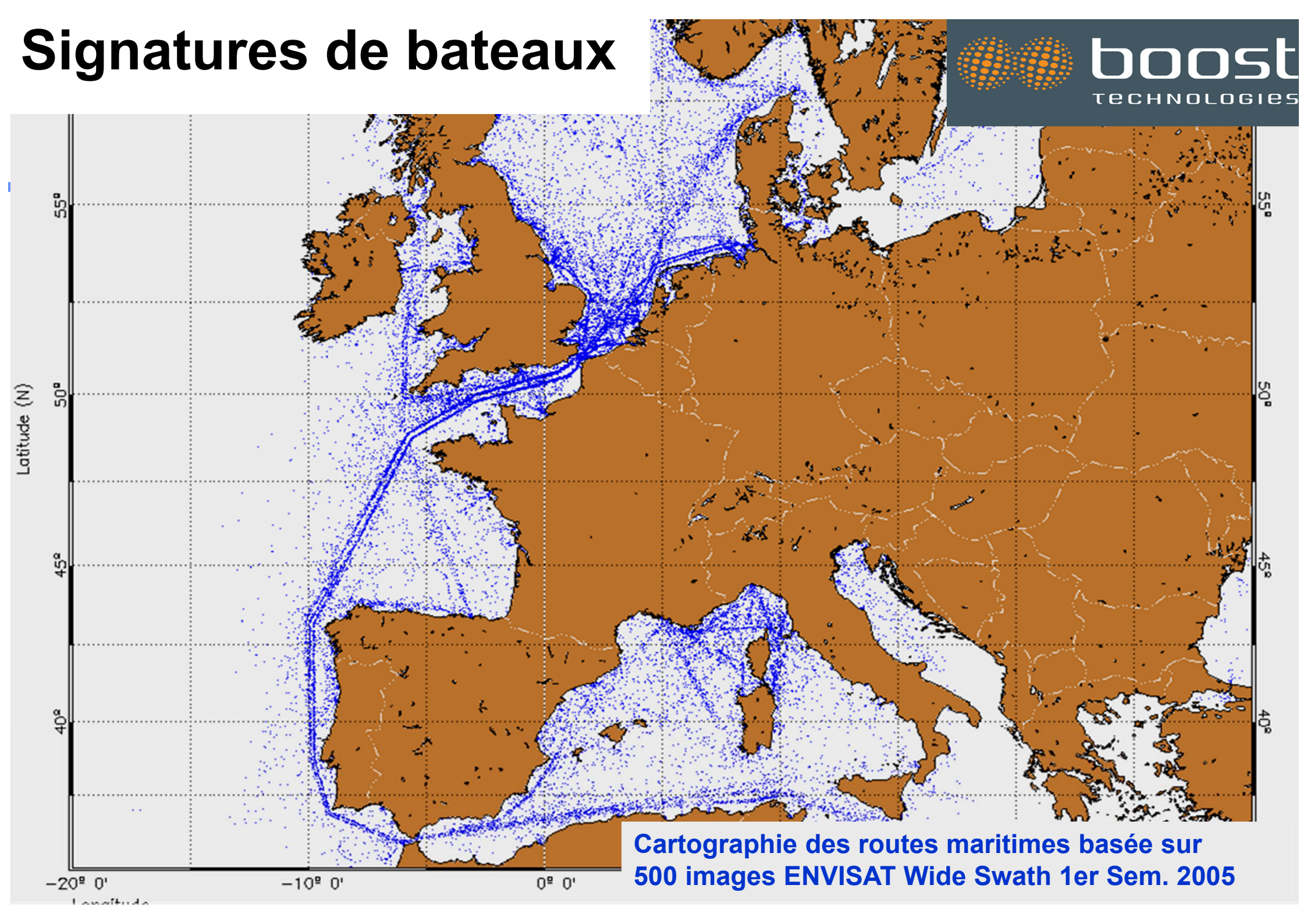
→ forte rugosité



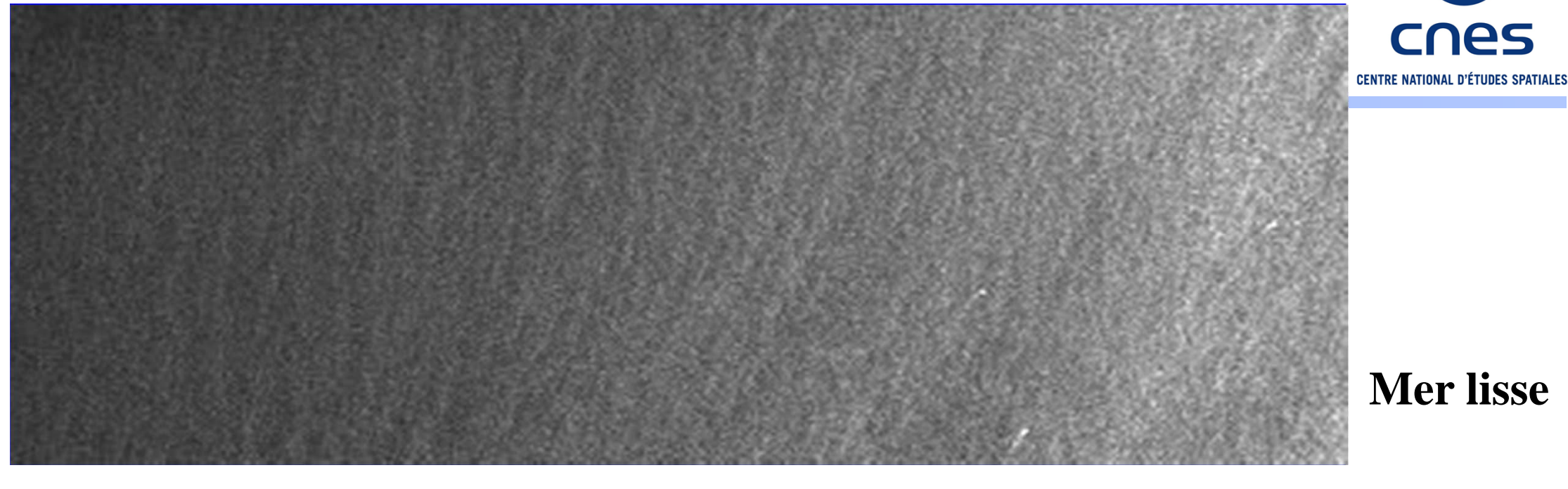






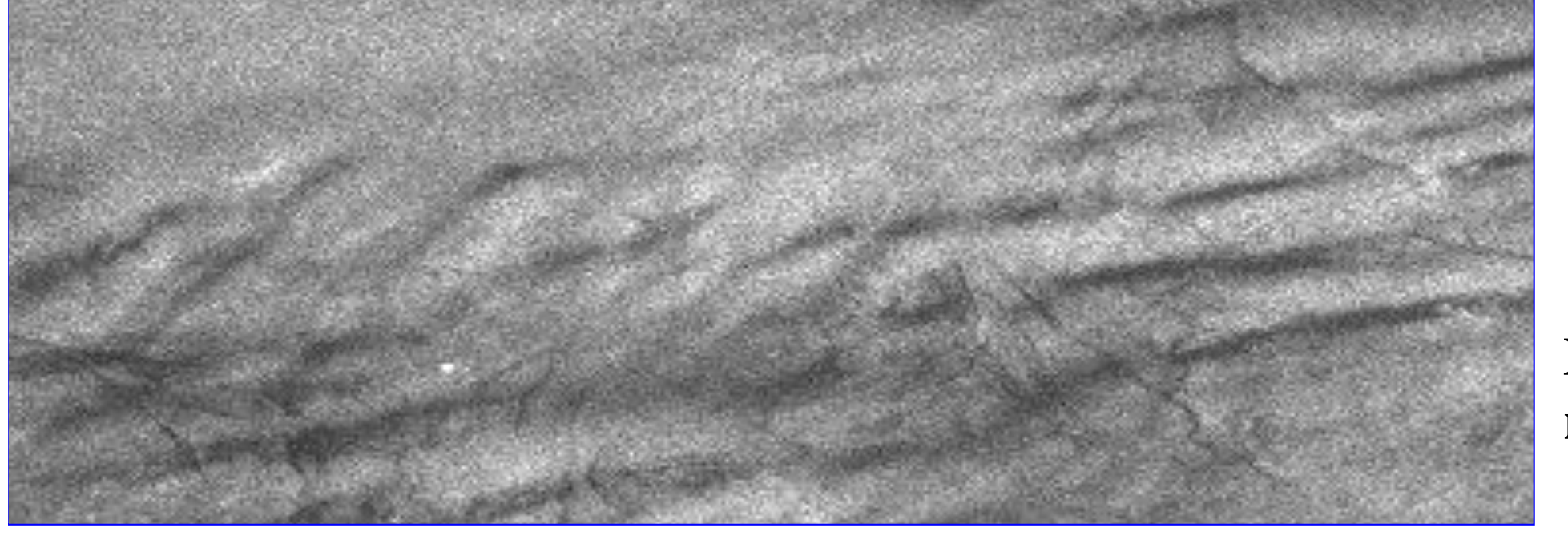


Bateaux et signatures de mer : Impact de l'état de mer





cnes

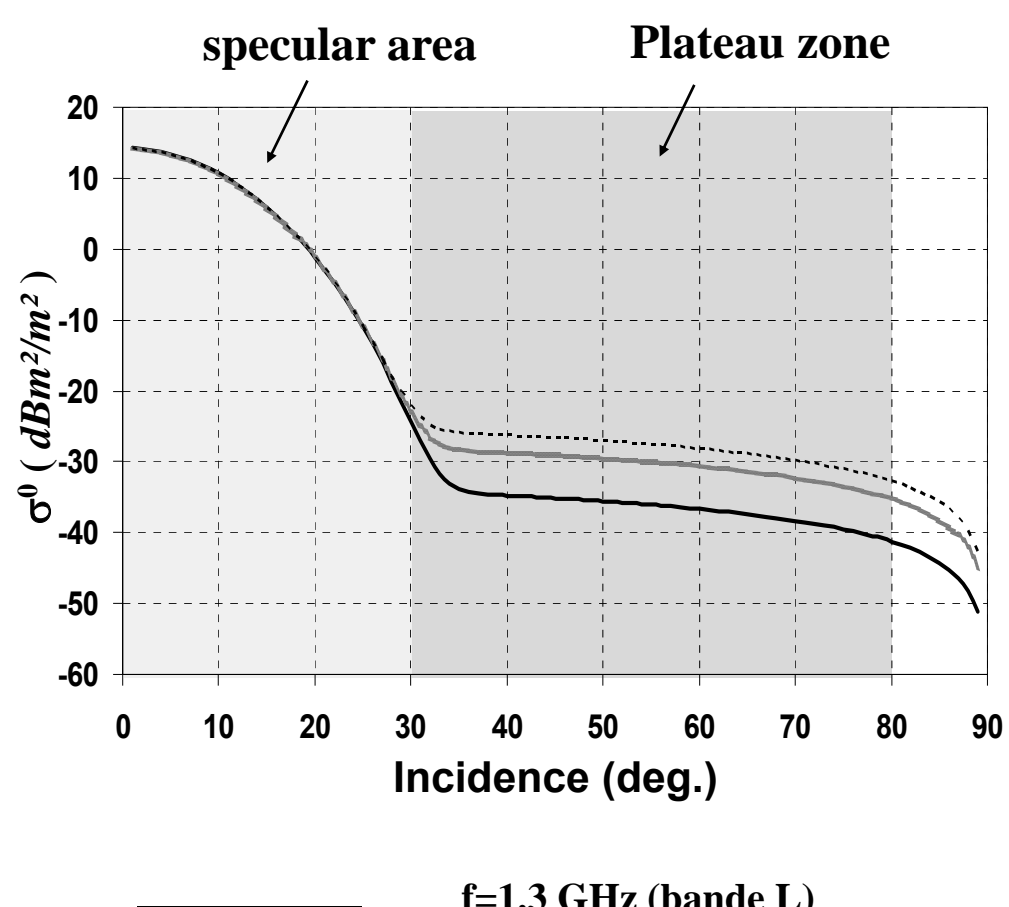


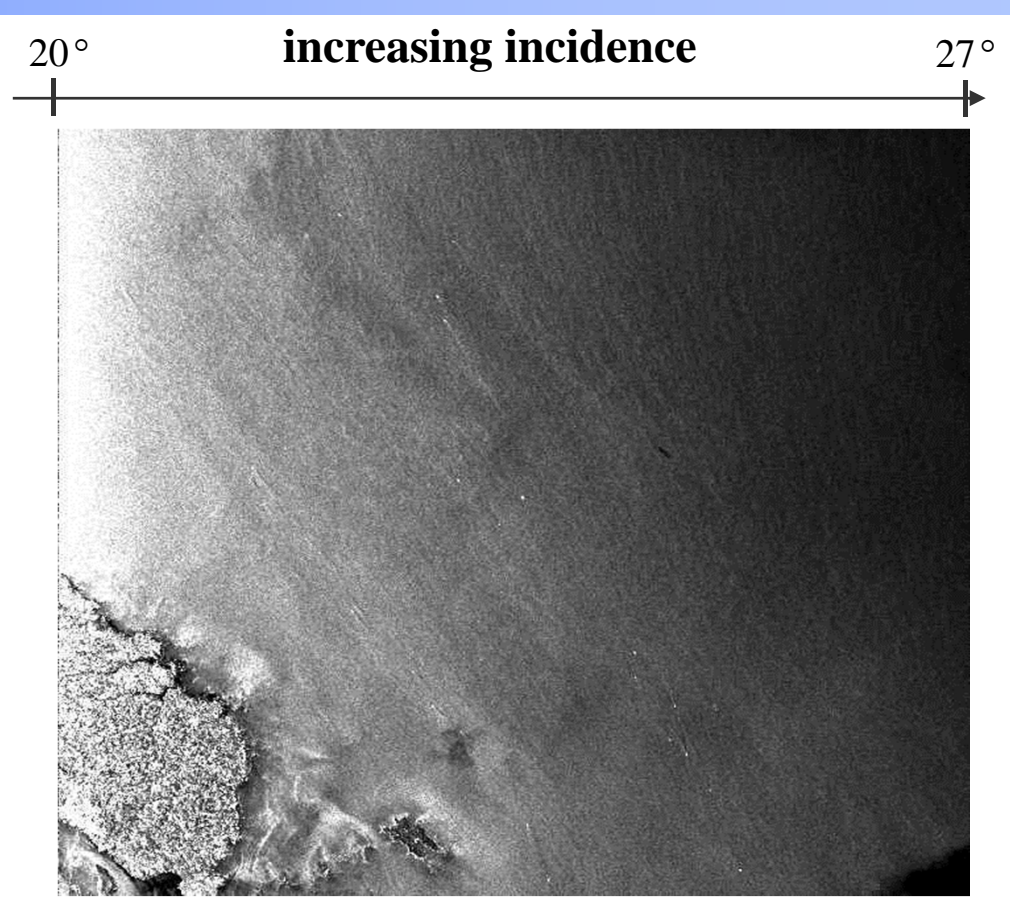
Mer rugueuse

© copyright CNES

Signatures de mer : Influence de la fréquence et de l'incidence







f=1.3 GHz (bande L)

f=5.3 GHz (bande C)

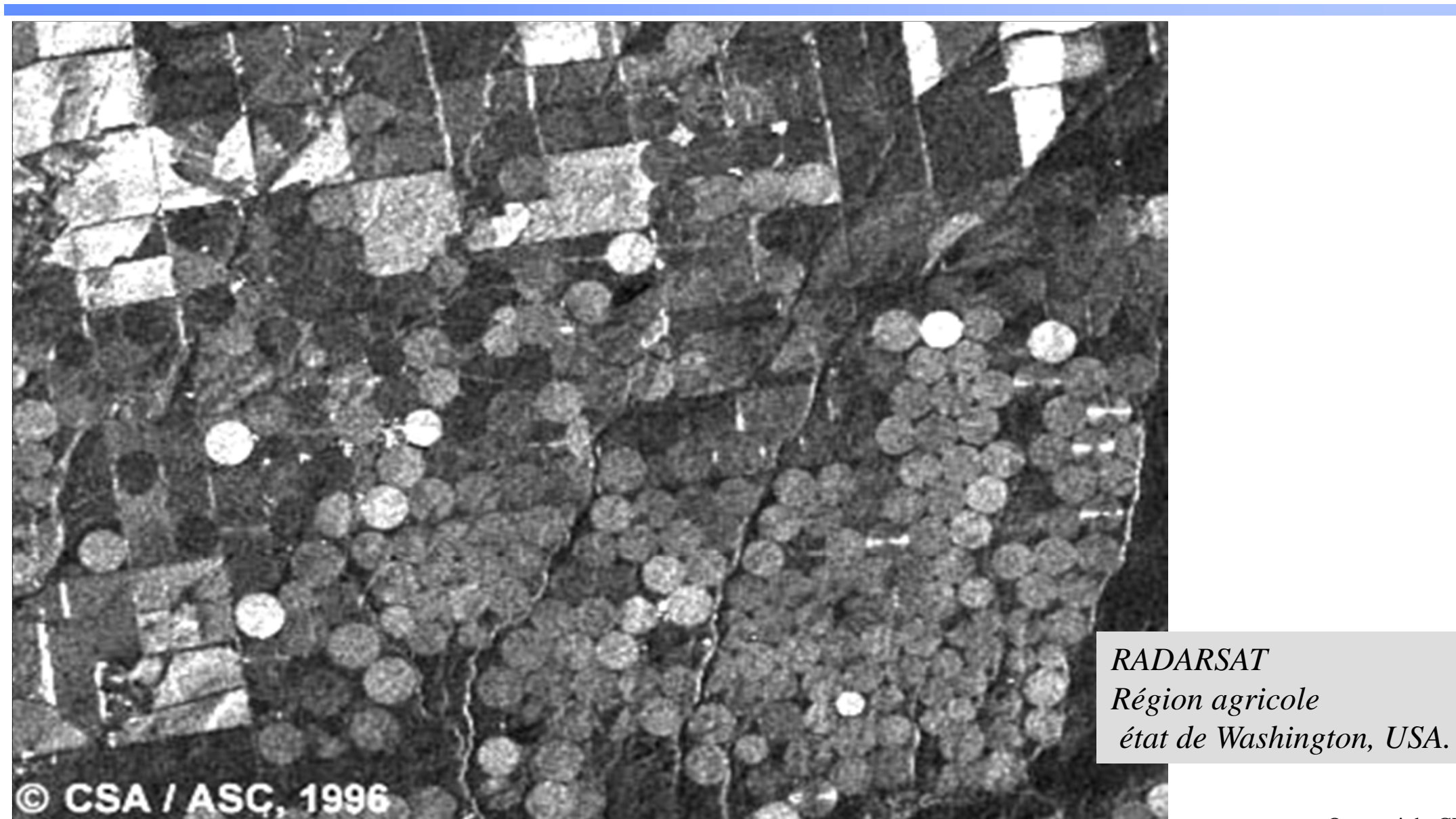
f=9.6 GHz (bande X)

RADARSAT image, standard-1 mode (20°-27°), Rail d'Ouessant, France / 09/03/1999



Le radar imageur, indicateur d'humidité

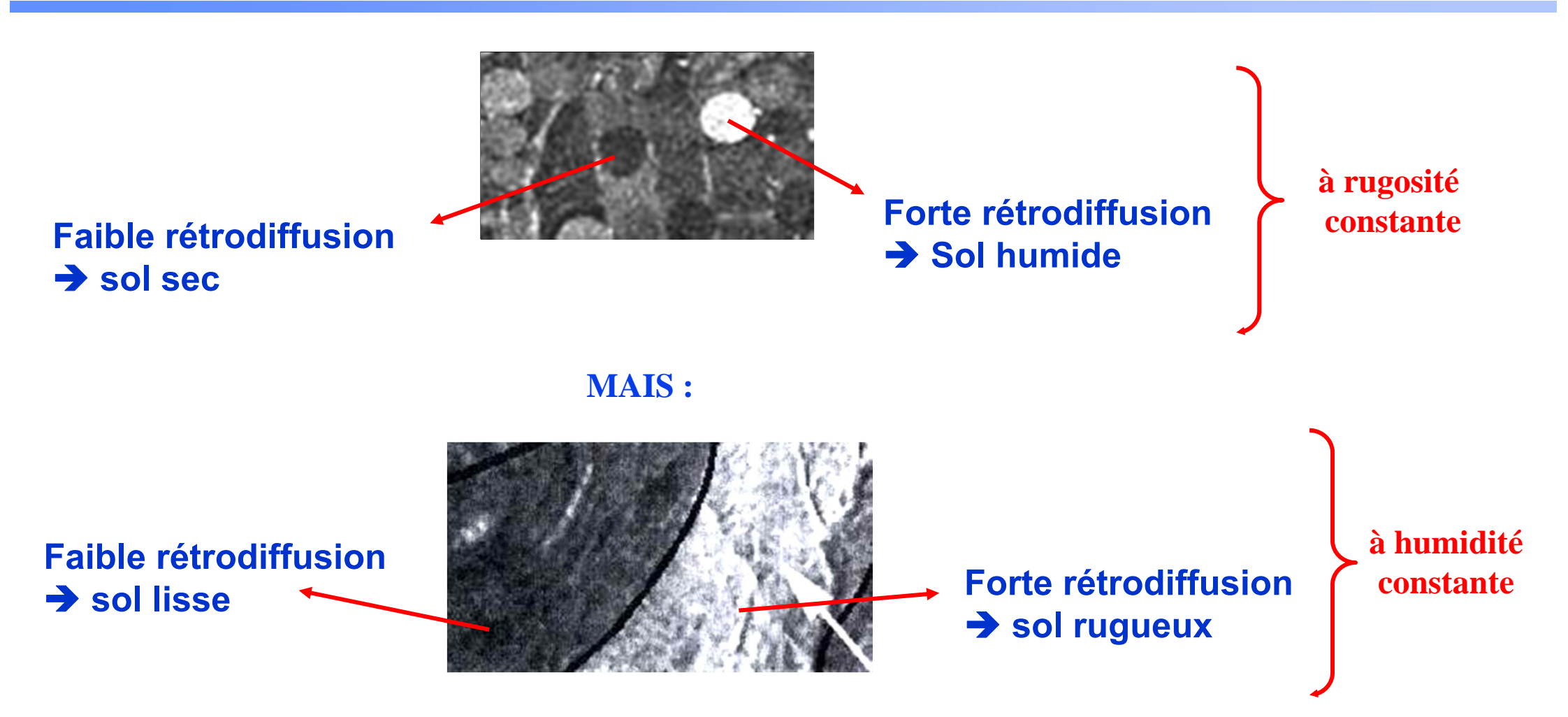




© copyright CNES

Le radar imageur, indicateur d'humidité



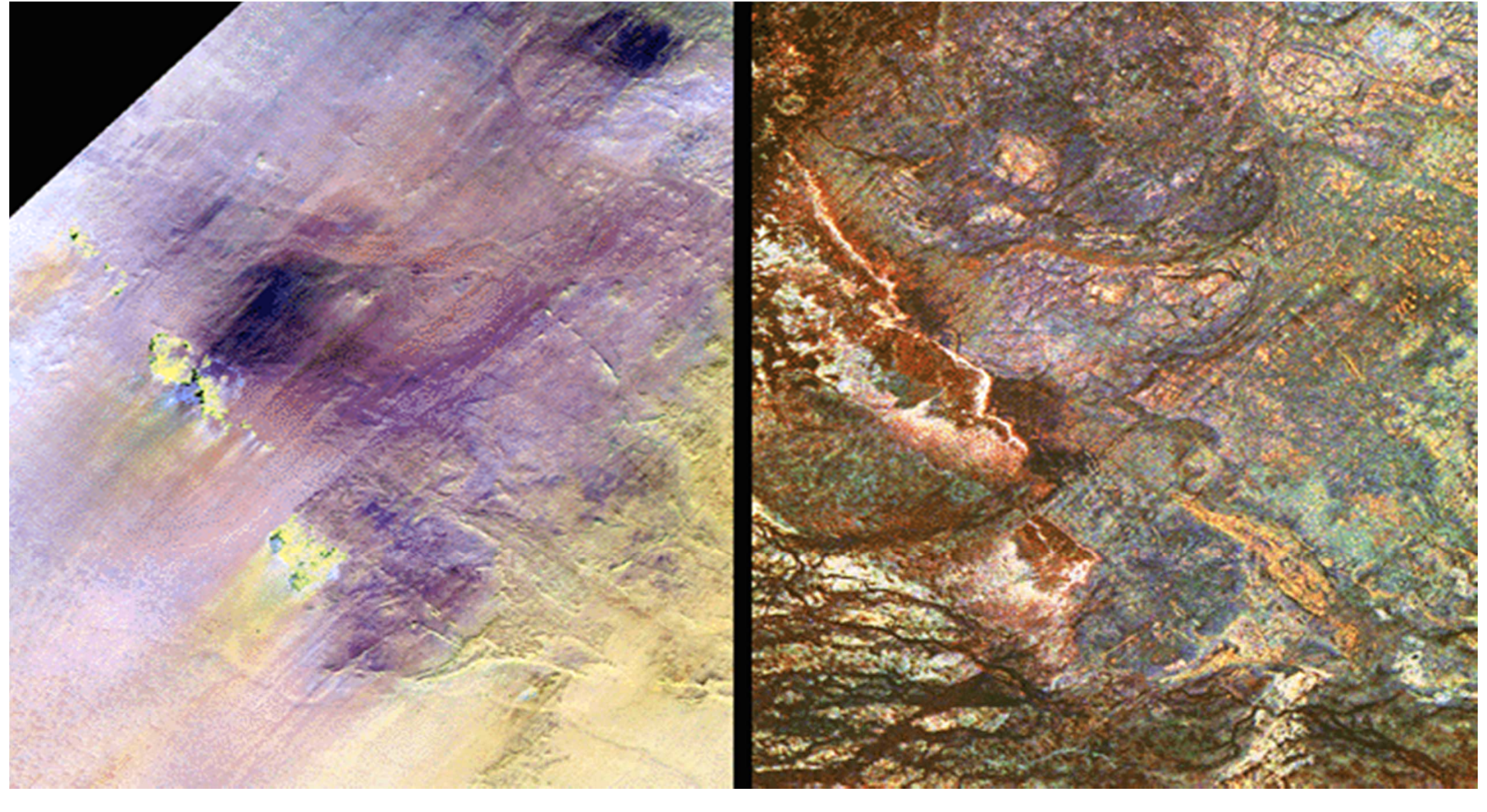


Effet conjugué de la rugosité et de l'humidité sur le signal radar

Pénétration des ondes dans les milieux observés

→ Optique vs. Radar





LANDSAT

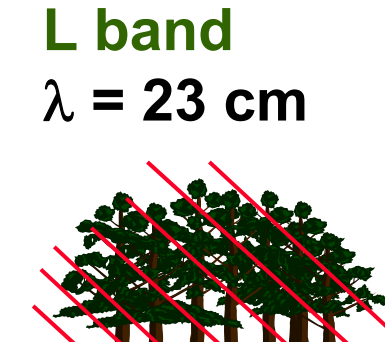
SIR-C SAR (C, L, X)

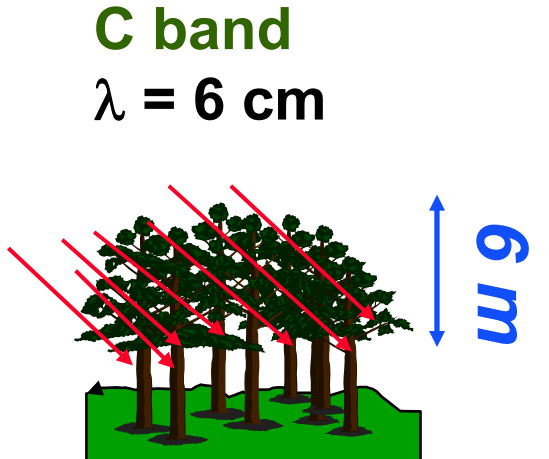
Pénétration des ondes dans les milieux observés

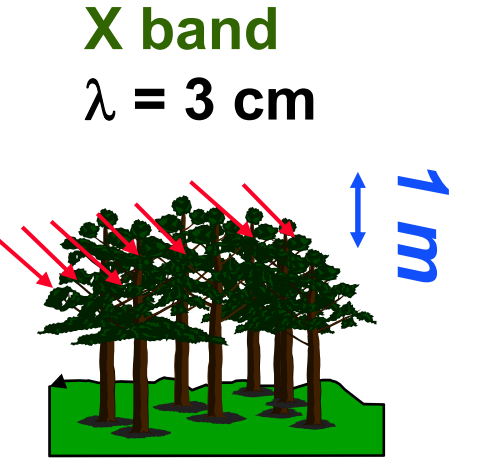


→La profondeur de pénétration augmente lorsque la fréquence dimin**©**∩es

CENTRE NATIONAL D'ÉTUDES SPATIALES







Pénétration des ondes dans les milieux observés







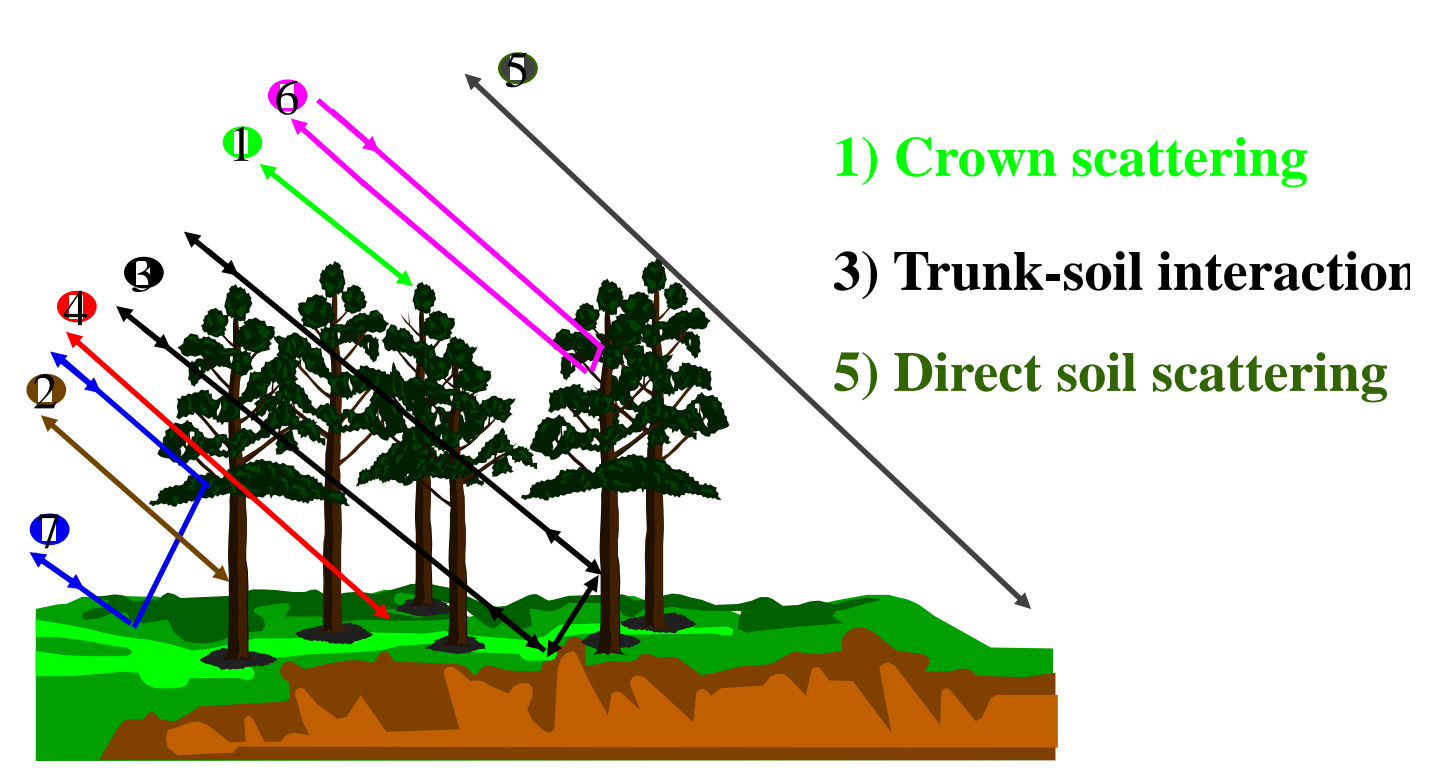
X-Band (3 cm)

From:http://atlas.op.dlr.de/ne-hf/projects/ESAR/igars96_scheiber.html

L-Band (25 cm) (+ de pénétration)

Diffusion de volume sur une parcelle forestière

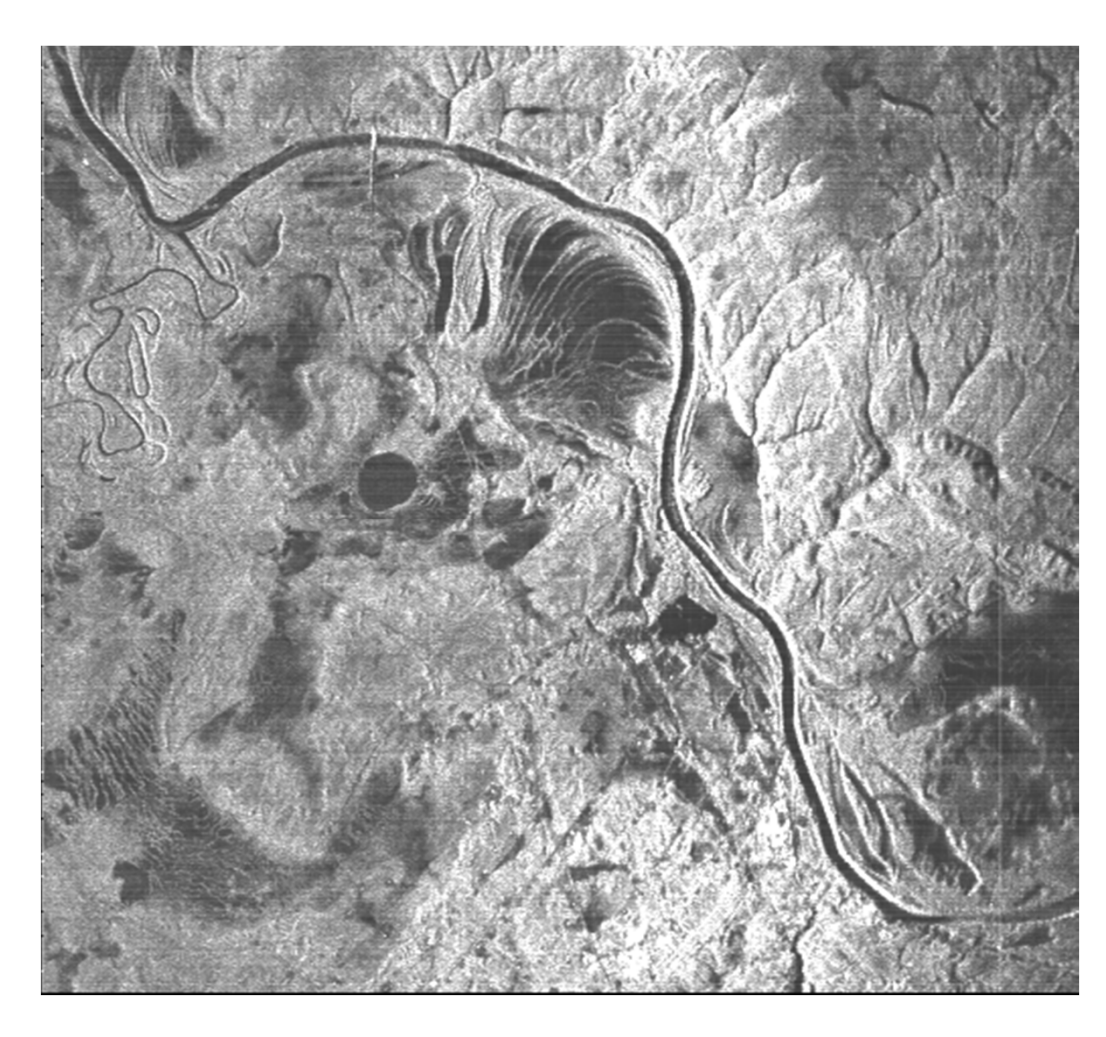


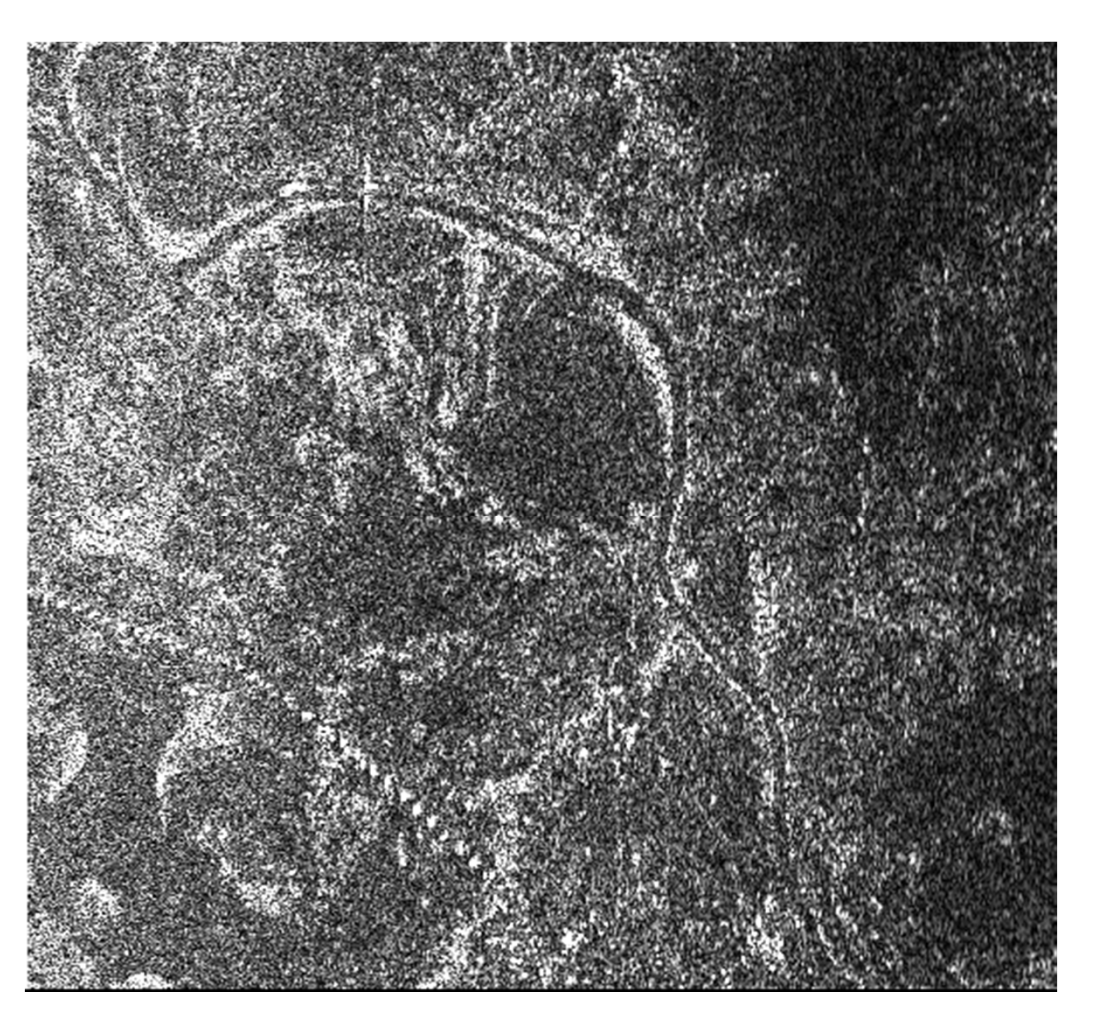


- 2) Trunk scattering
- 4) Attenuated soil scattering
- 6) Trunk-branch interaction
- 7) Soil-branch interaction

Pénétration des ondes dans les milieux observés → Vers les fréquences très basses (bande P)

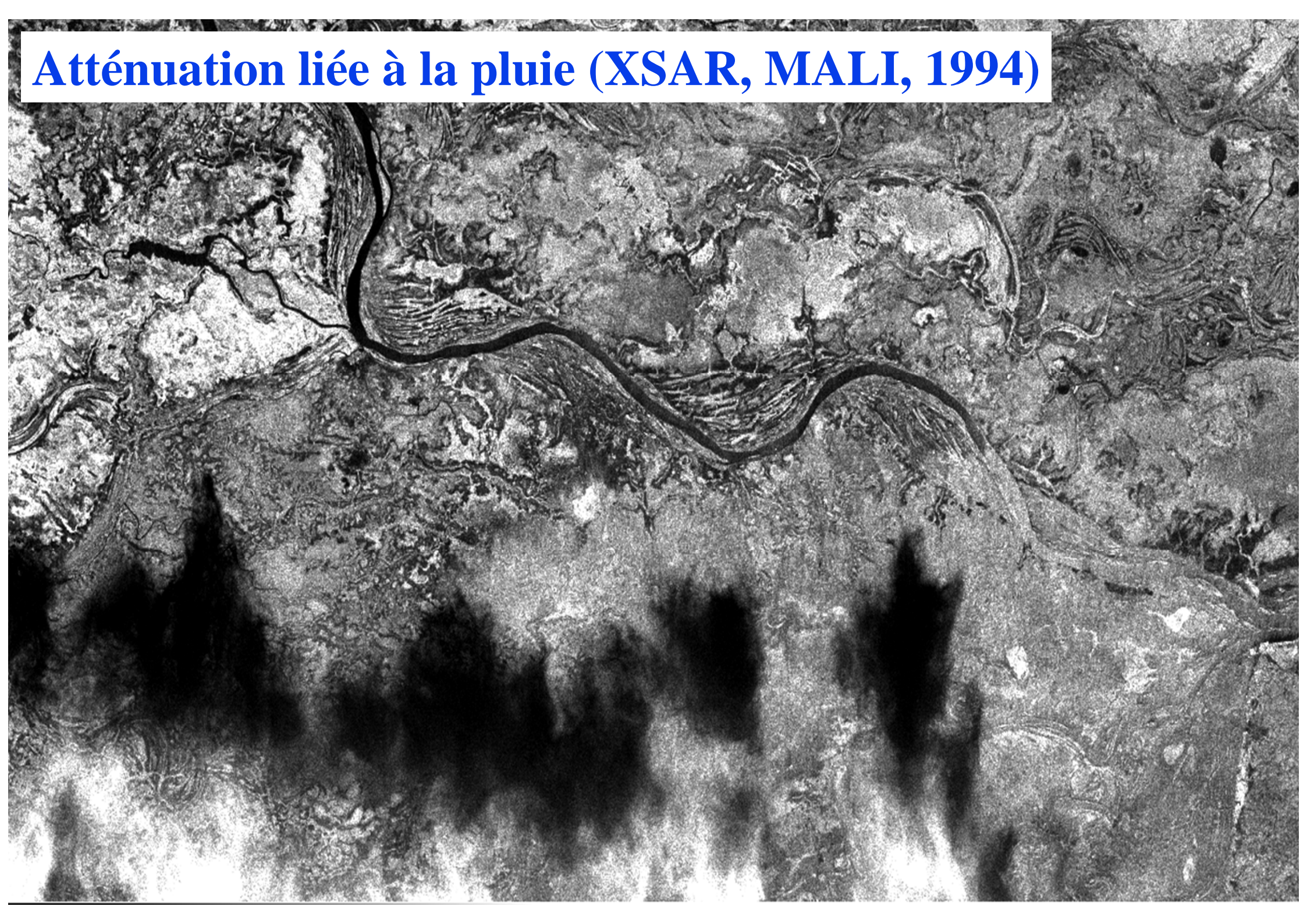






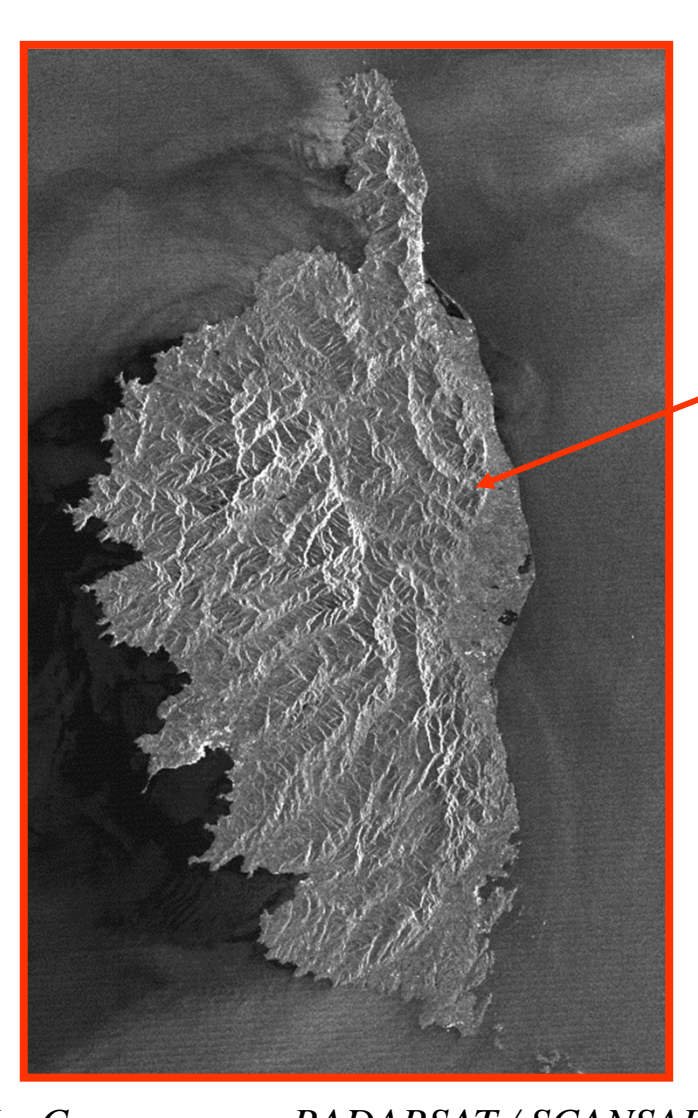
S-Band (10 cm)

P-Band (290 cm)



→ La classe 100 m





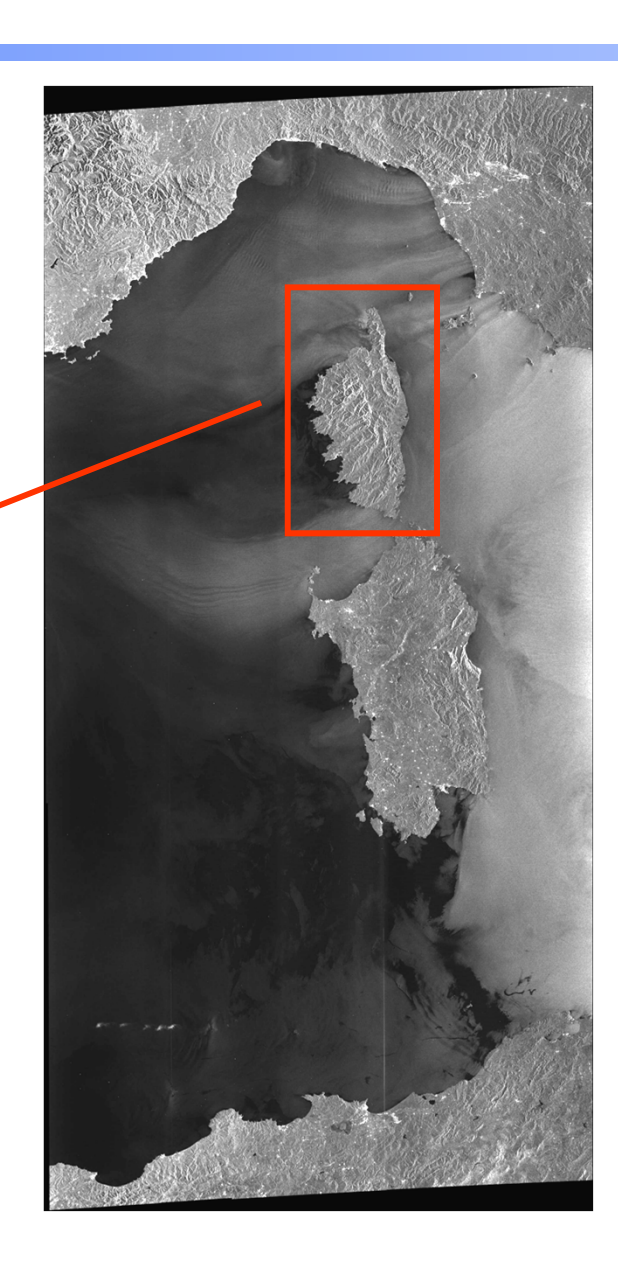


Image RADARSAT Juin 1997 (mode SCANSAR) zone Corse-Méditerranée,

Fauchée: 500 km,

résolution: 100 m

La Corse vue par RADARSAT / SCANSAR

→ La classe 10 m



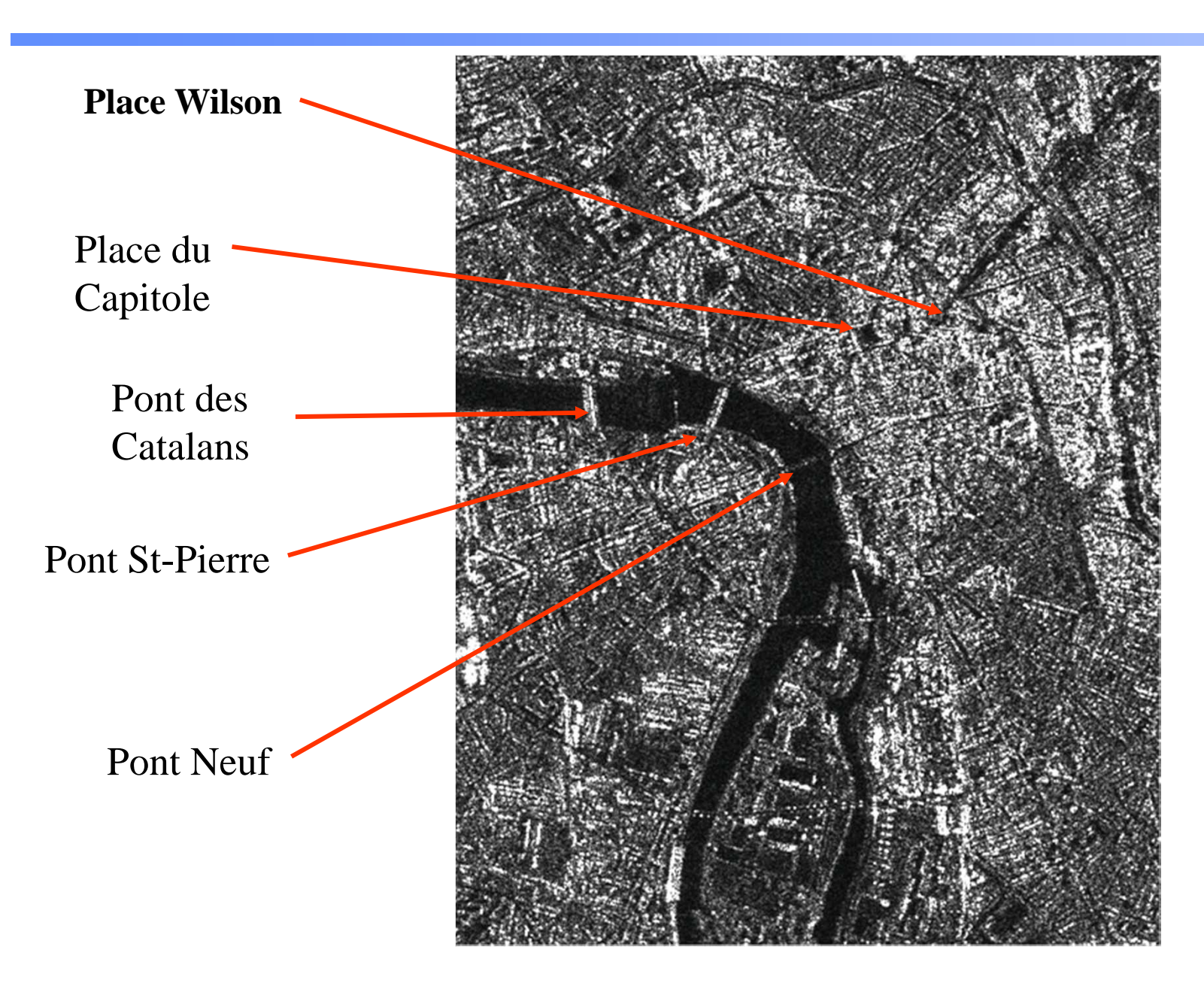
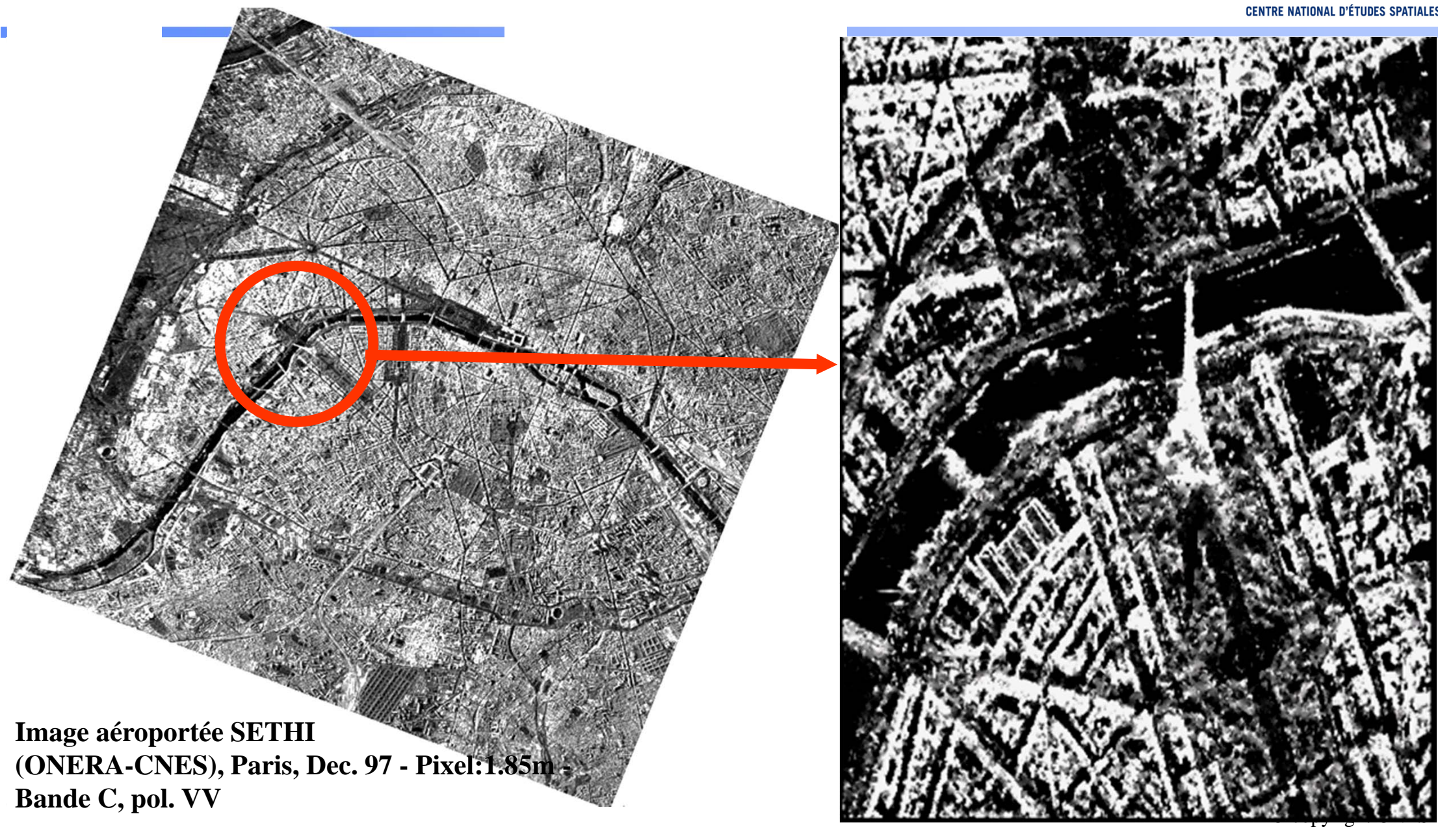


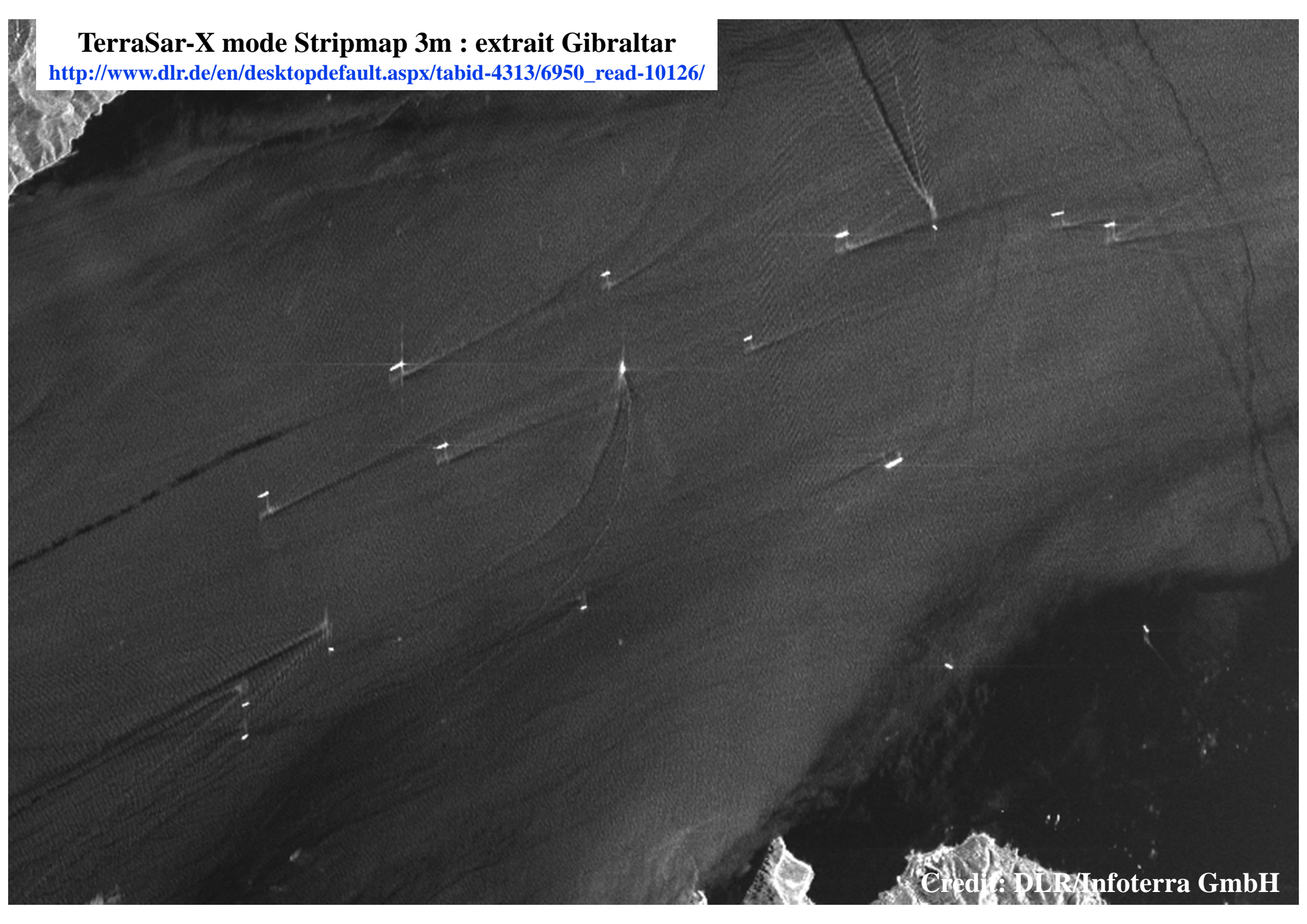
Image RADARSAT
Mode F4 - Descendant
Ville de Toulouse
Fauchée : 35 km

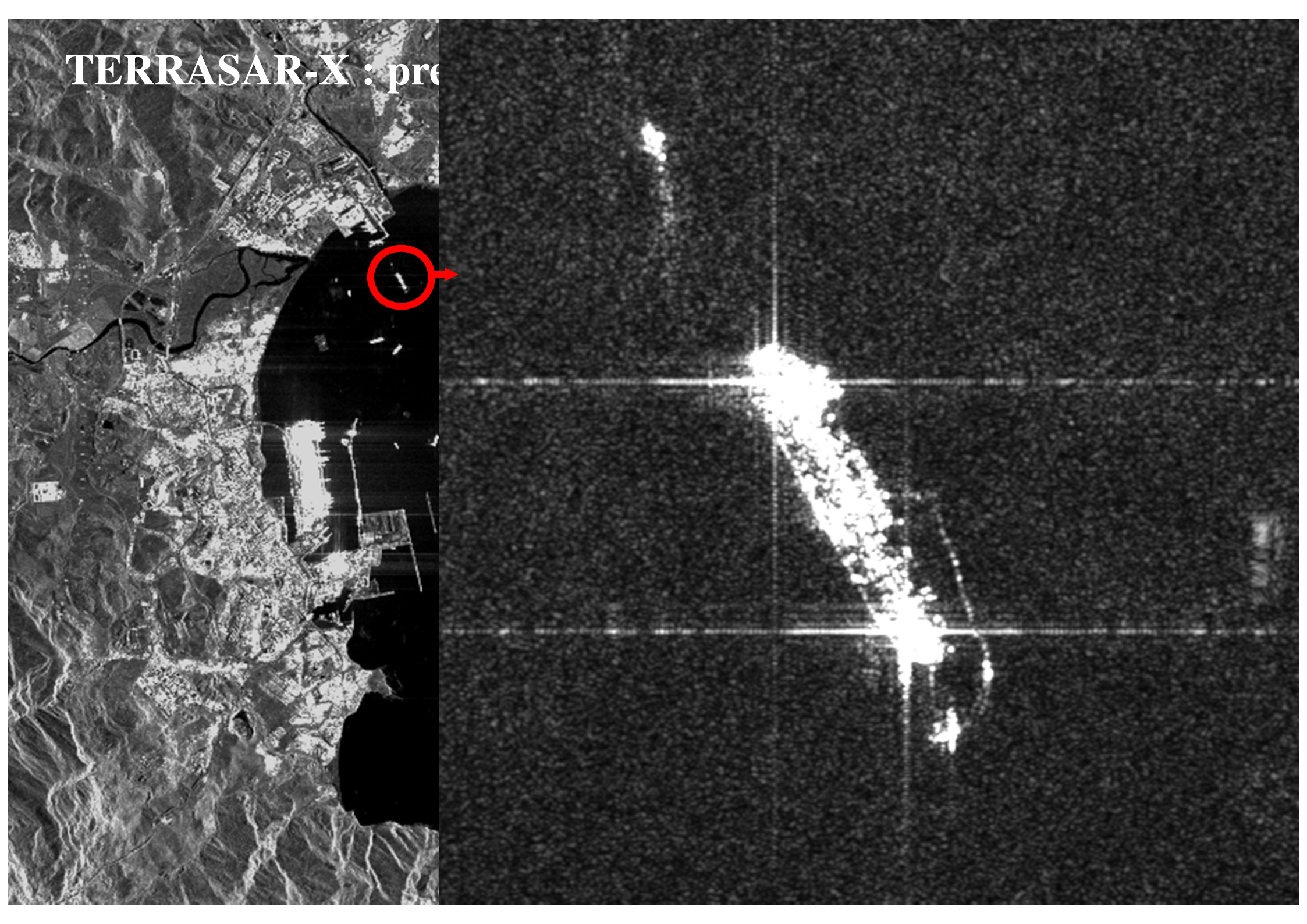
résolution: 10 m



→ La classe 3 m







RADARSAT-2: mode ultra-fin 3m)





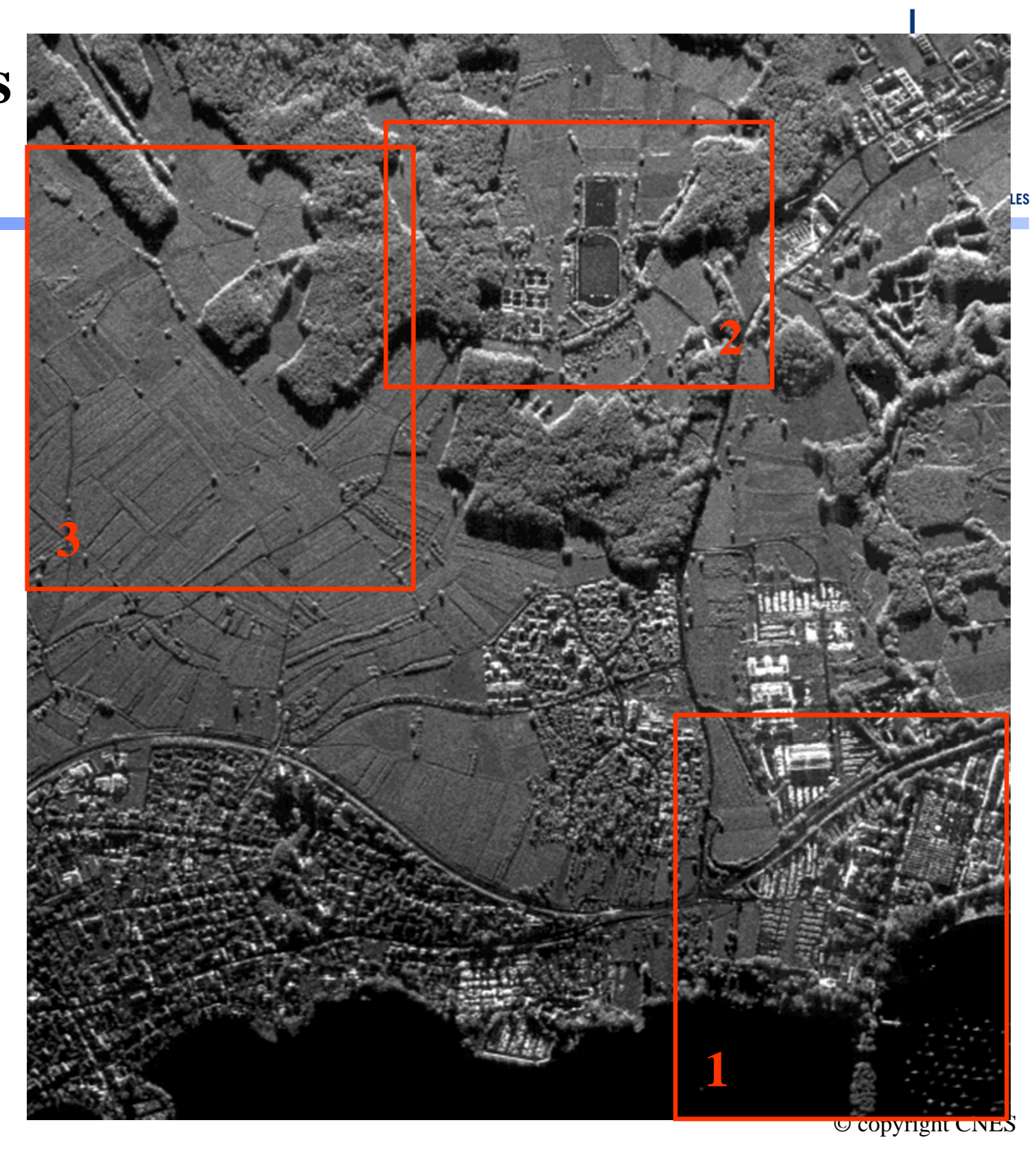






→ La classe '1m '
(SAR-Lupe, Cosmo)

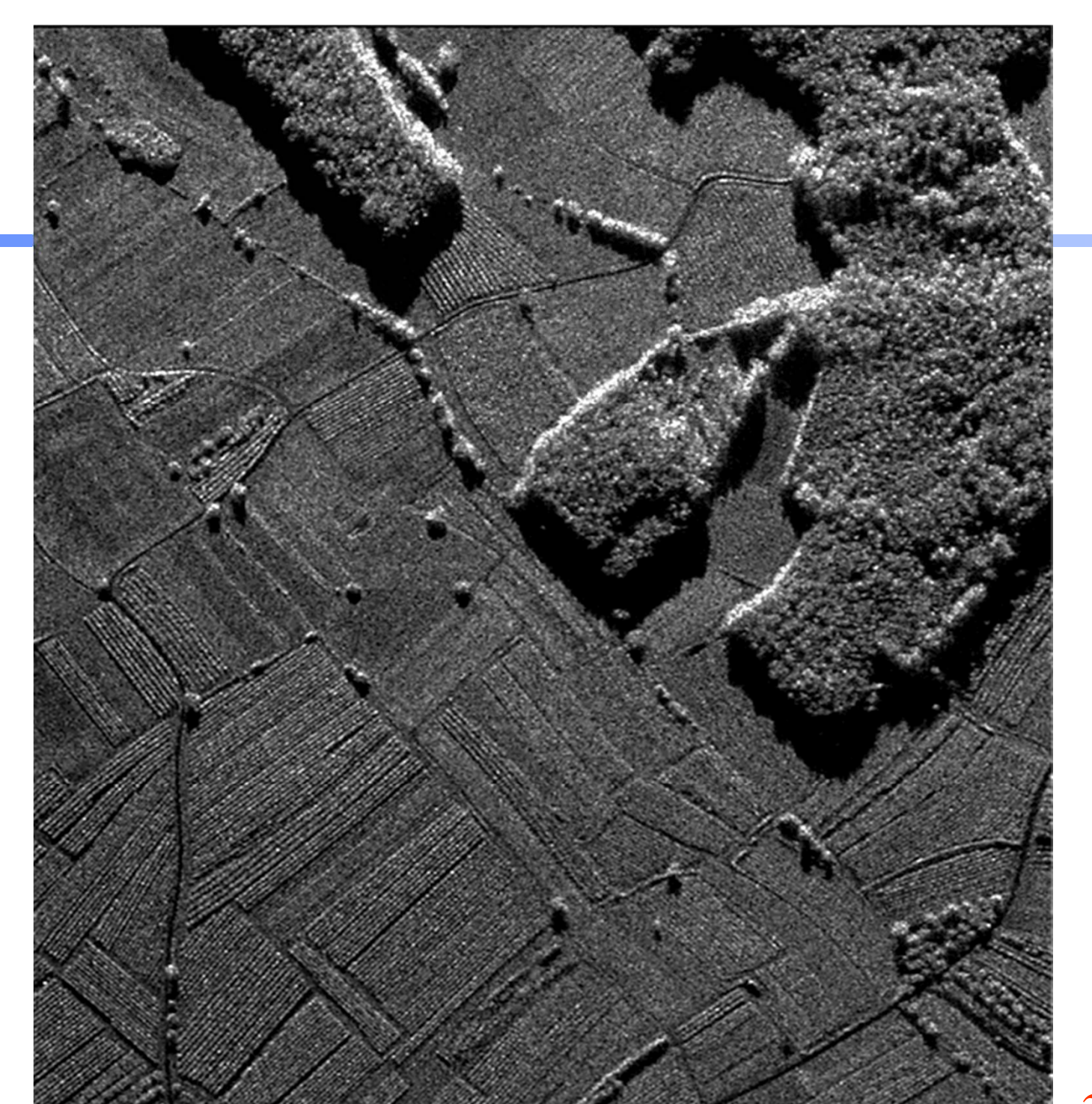
... Attention aux effets muti-look







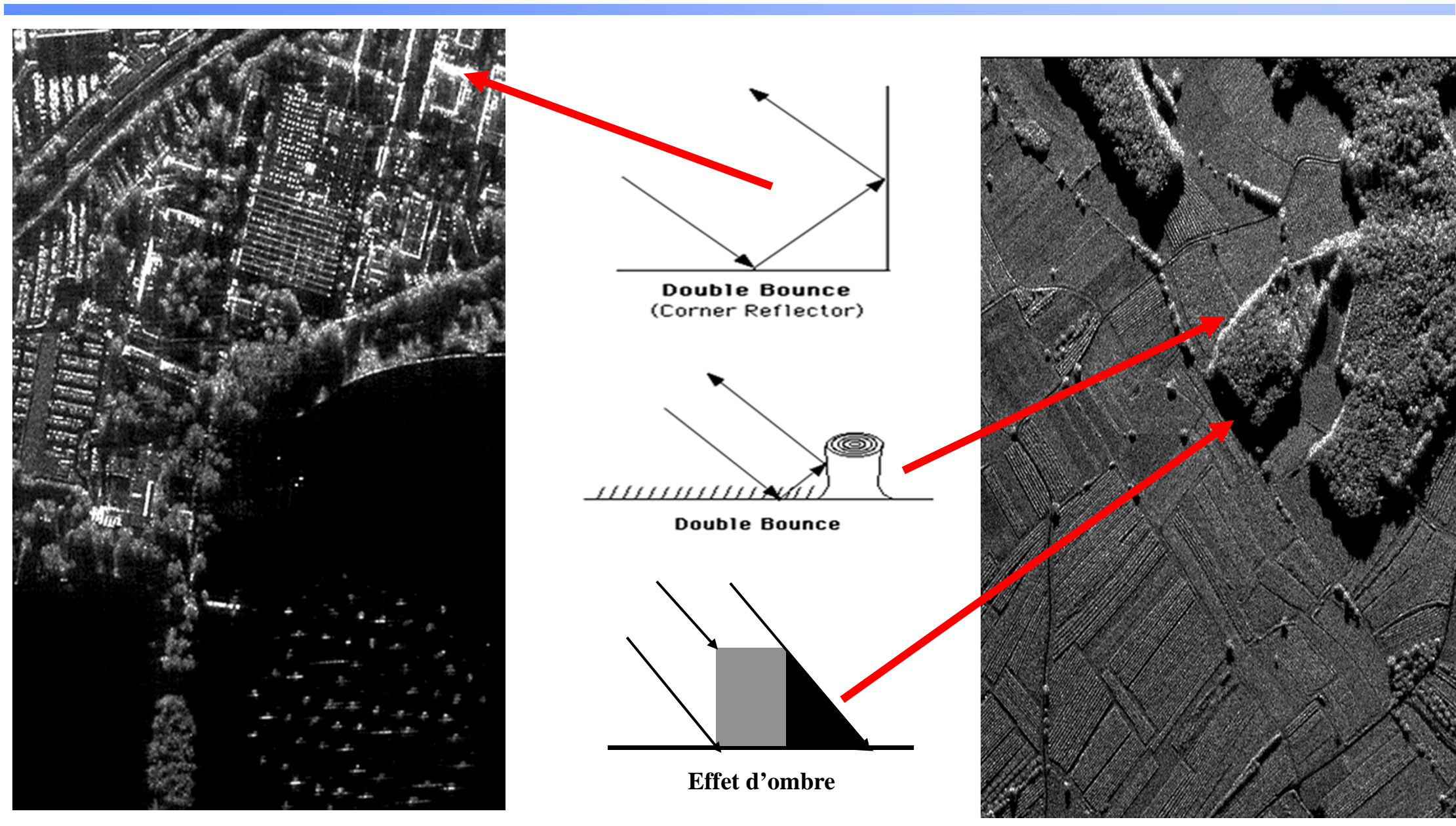




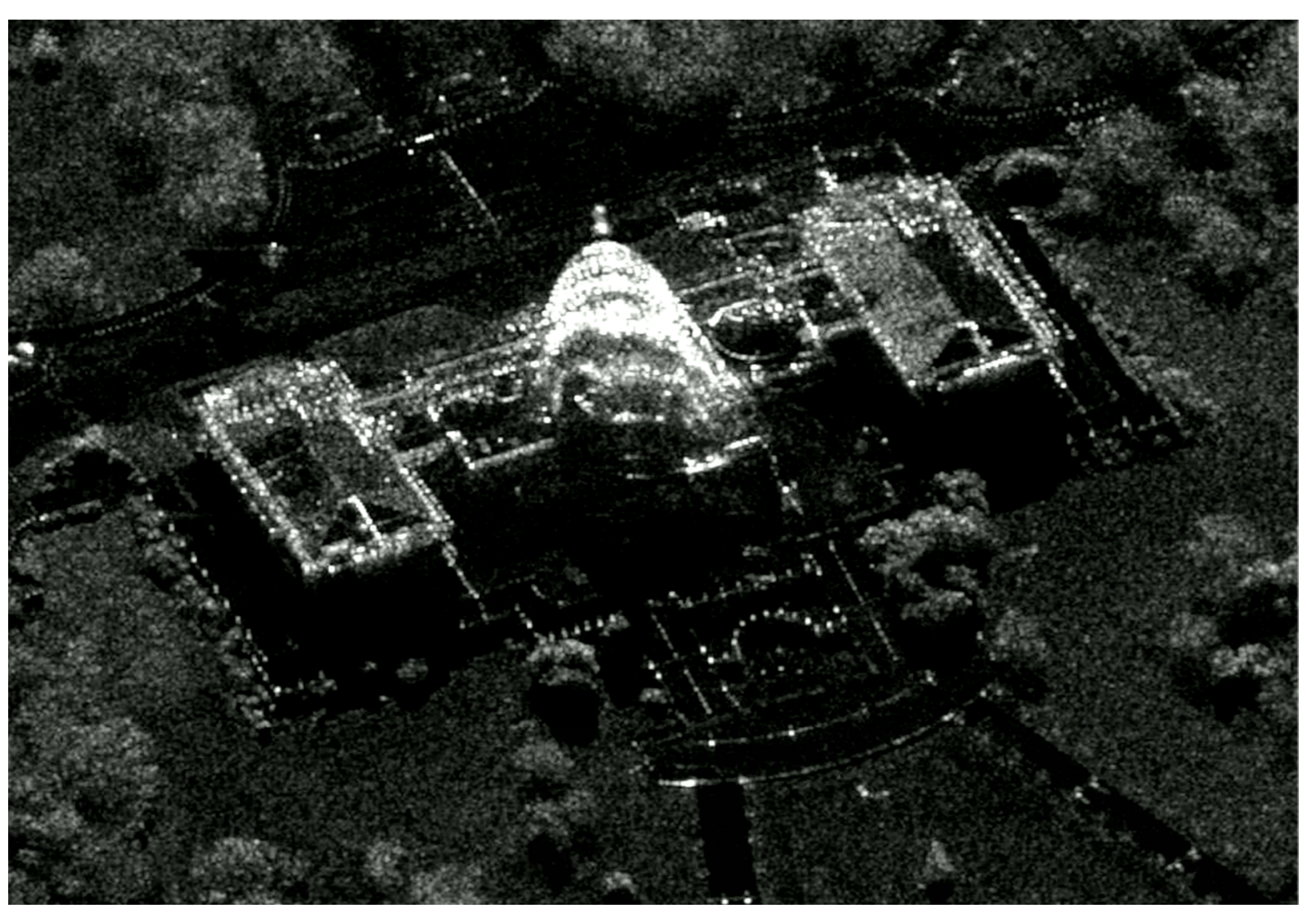


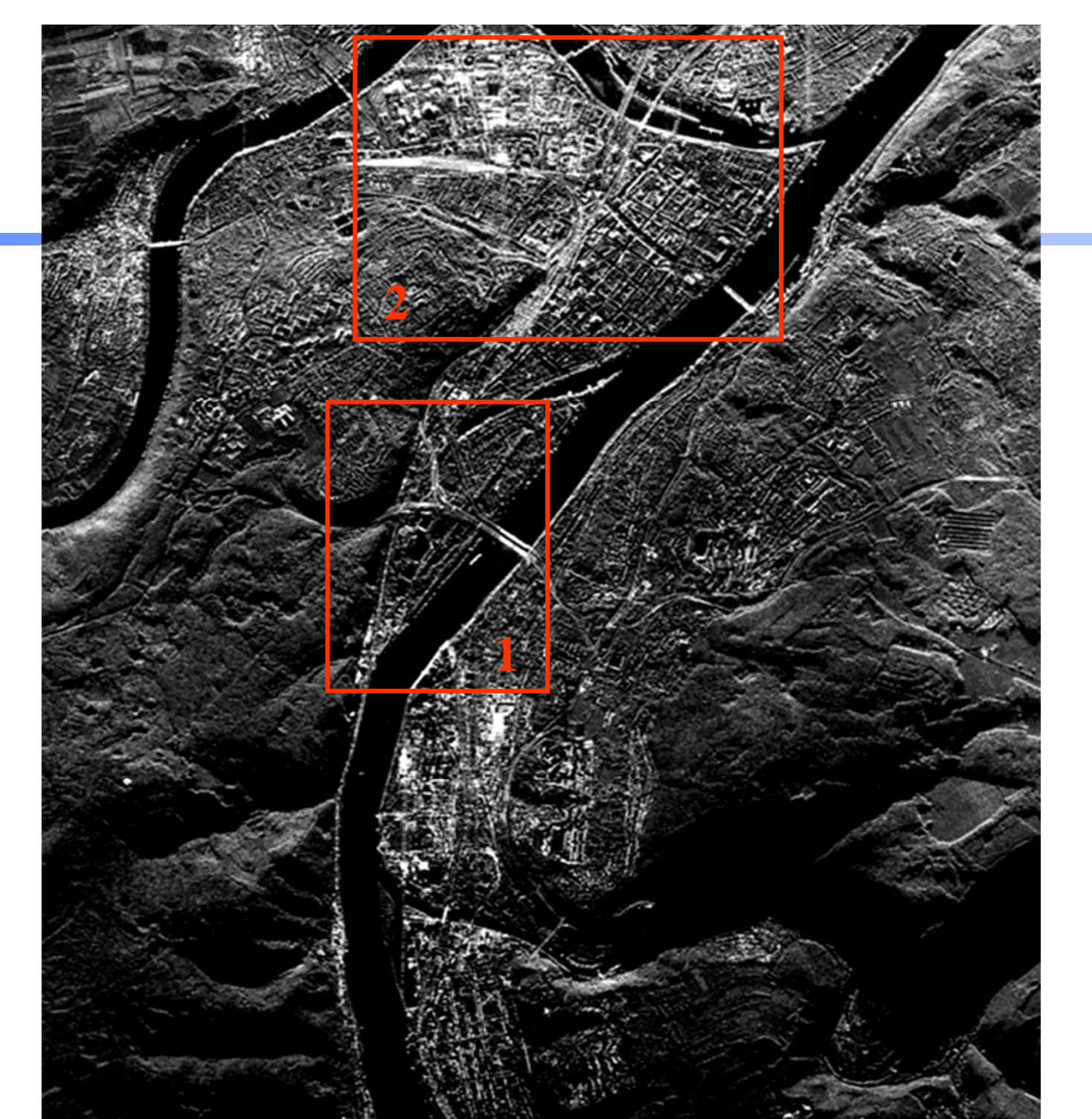
Effet double rebond (double bounce) / effet d'ombre







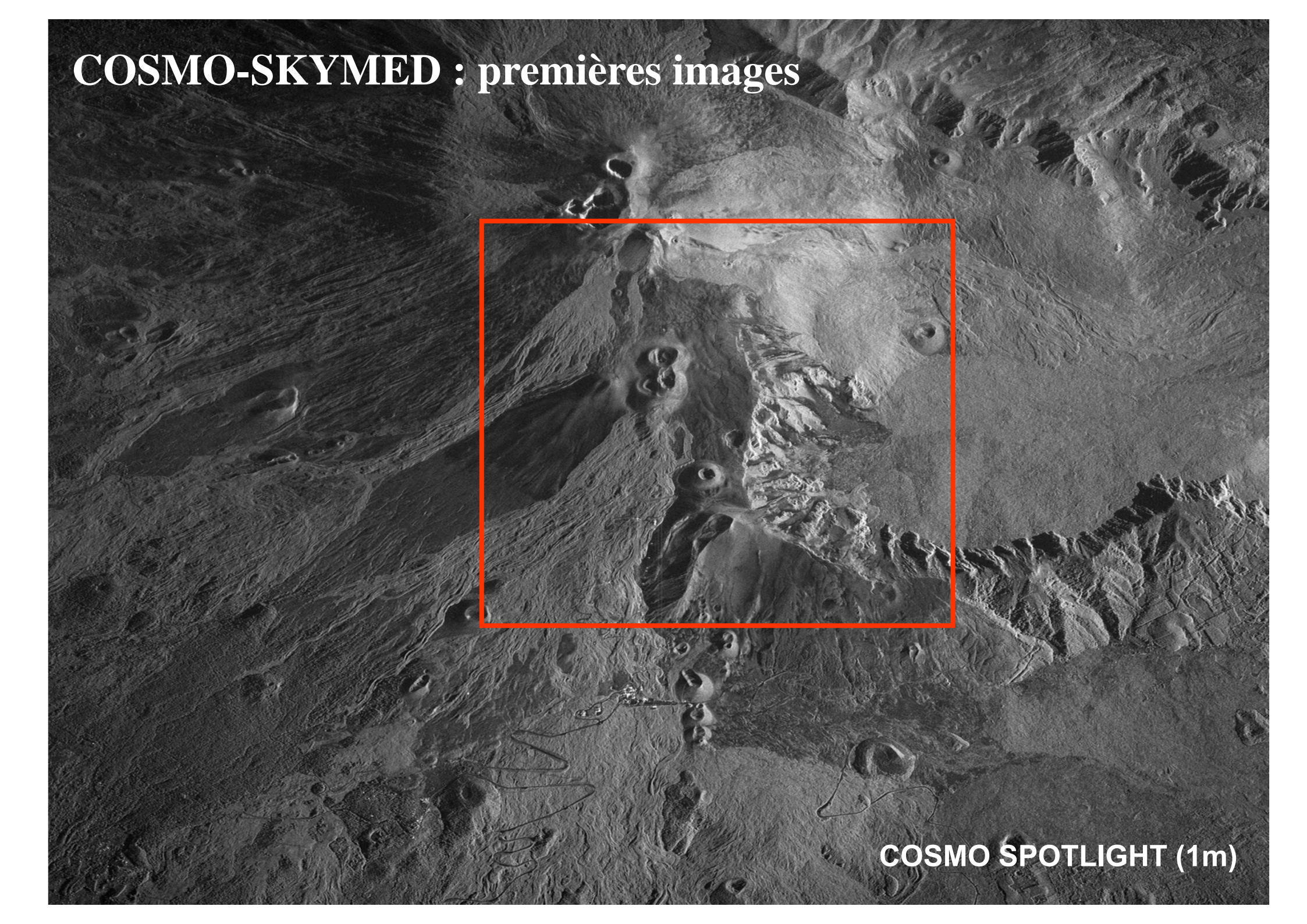


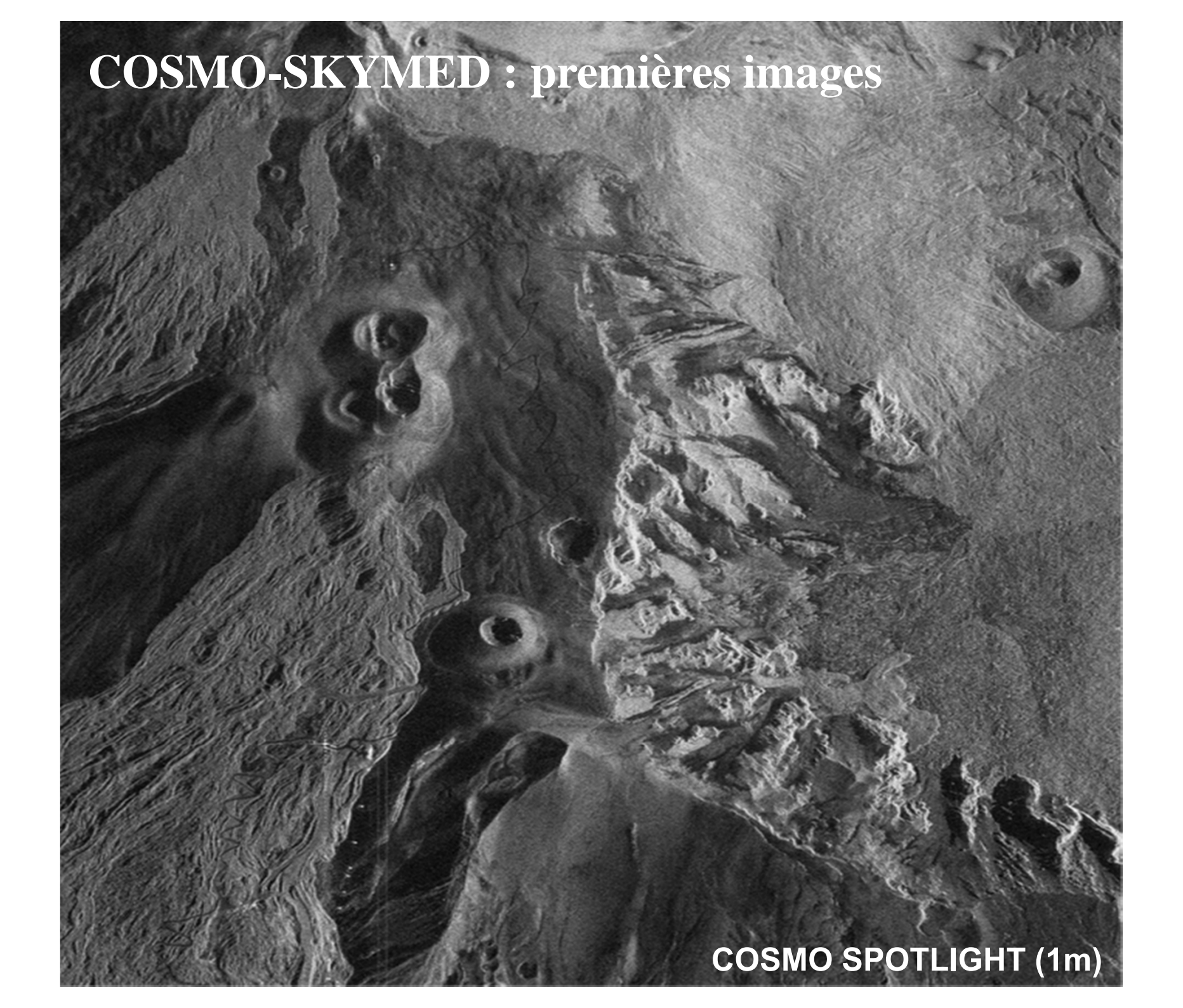






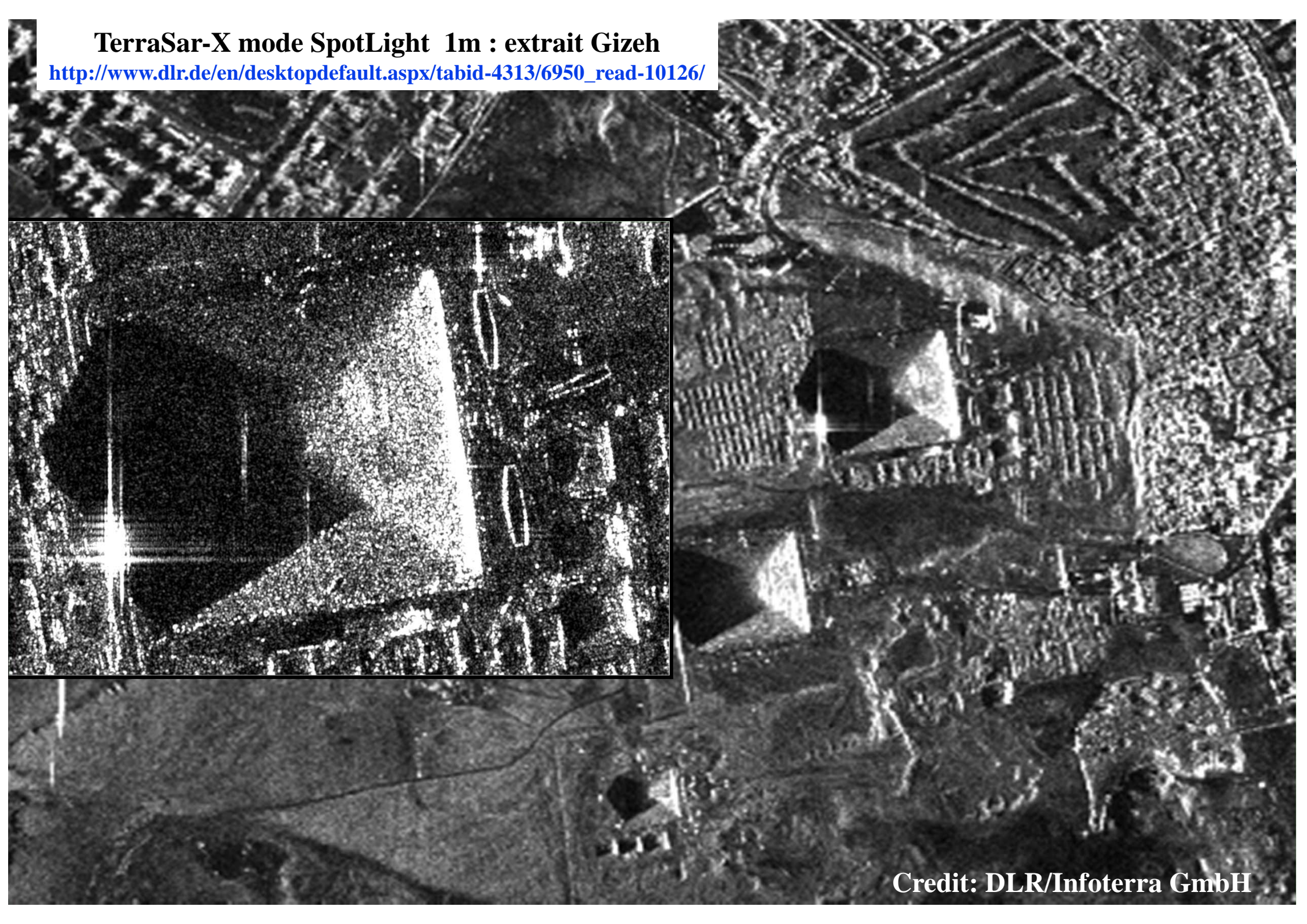






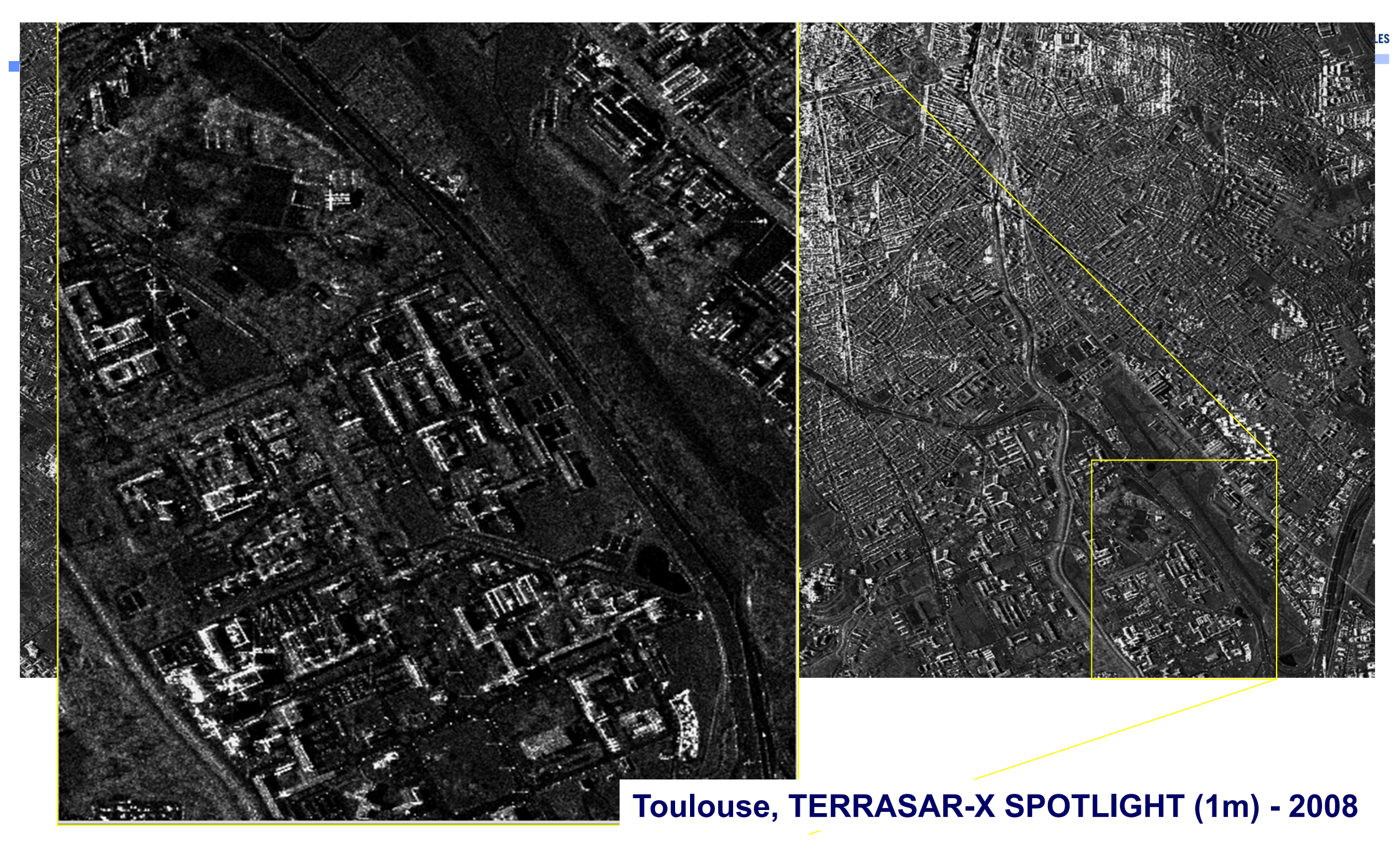
TERRASAR-X : premières images

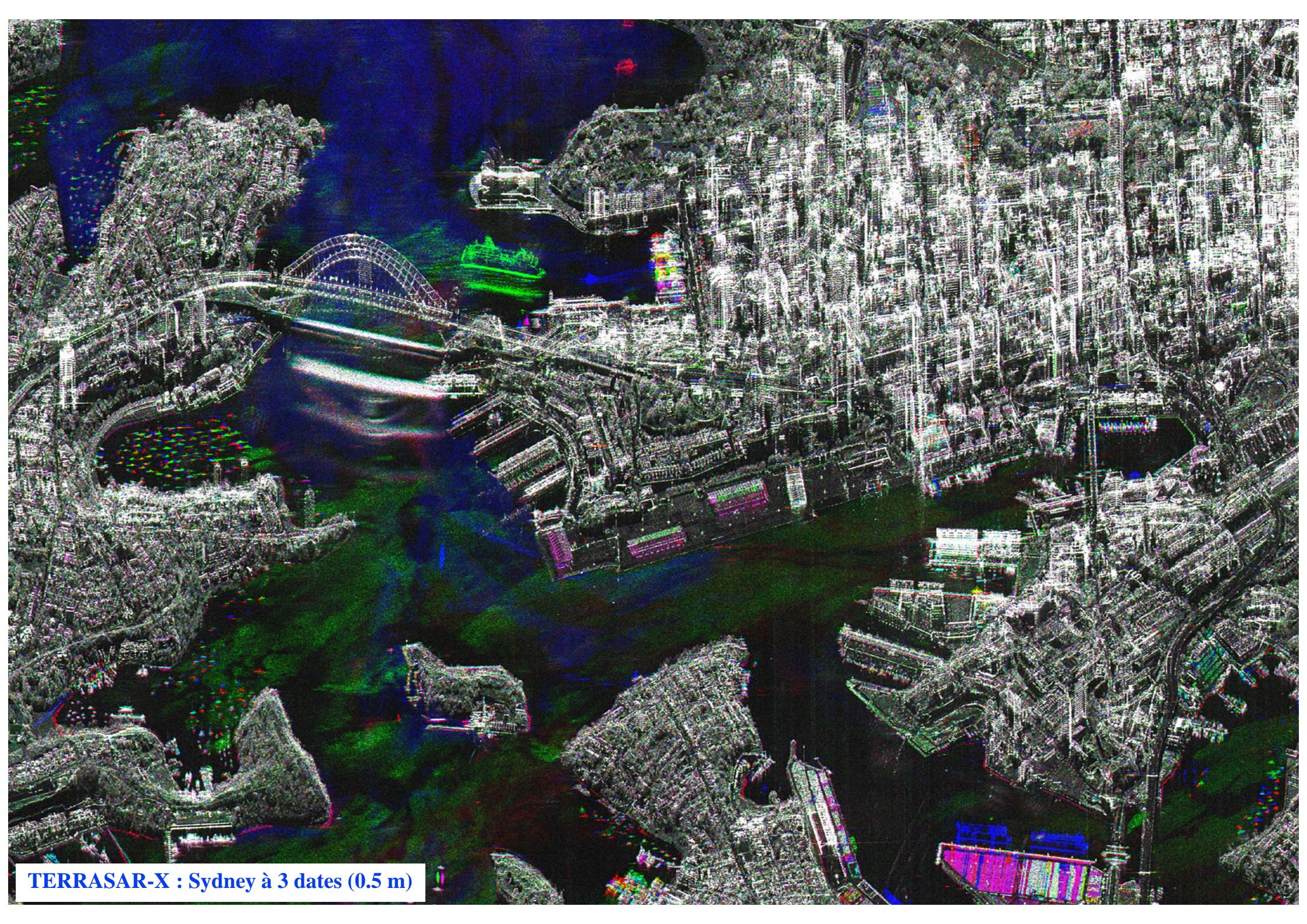




TERRASAR-X SPOTLIGHT

→ Résolution géométrique classe 1 m

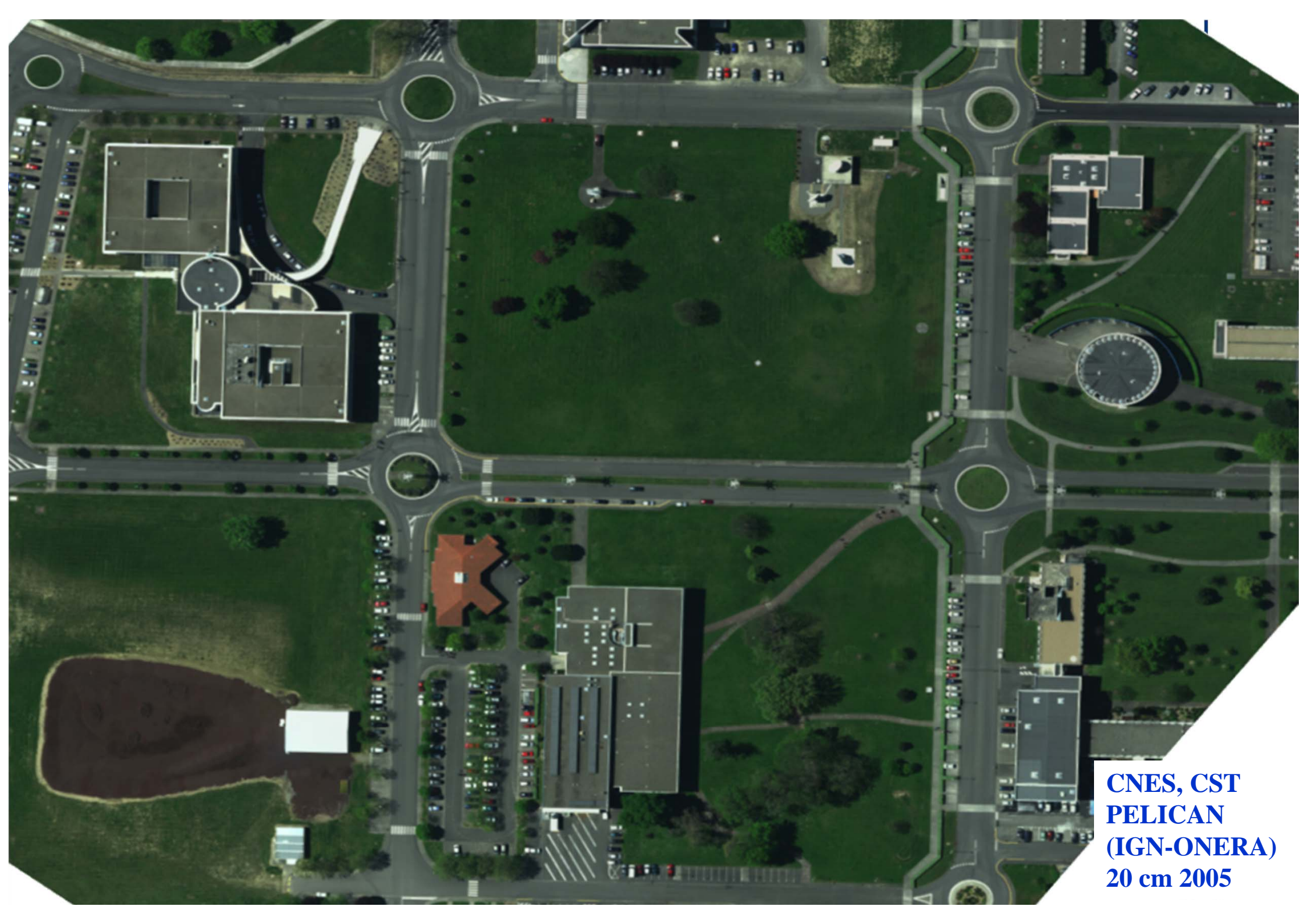


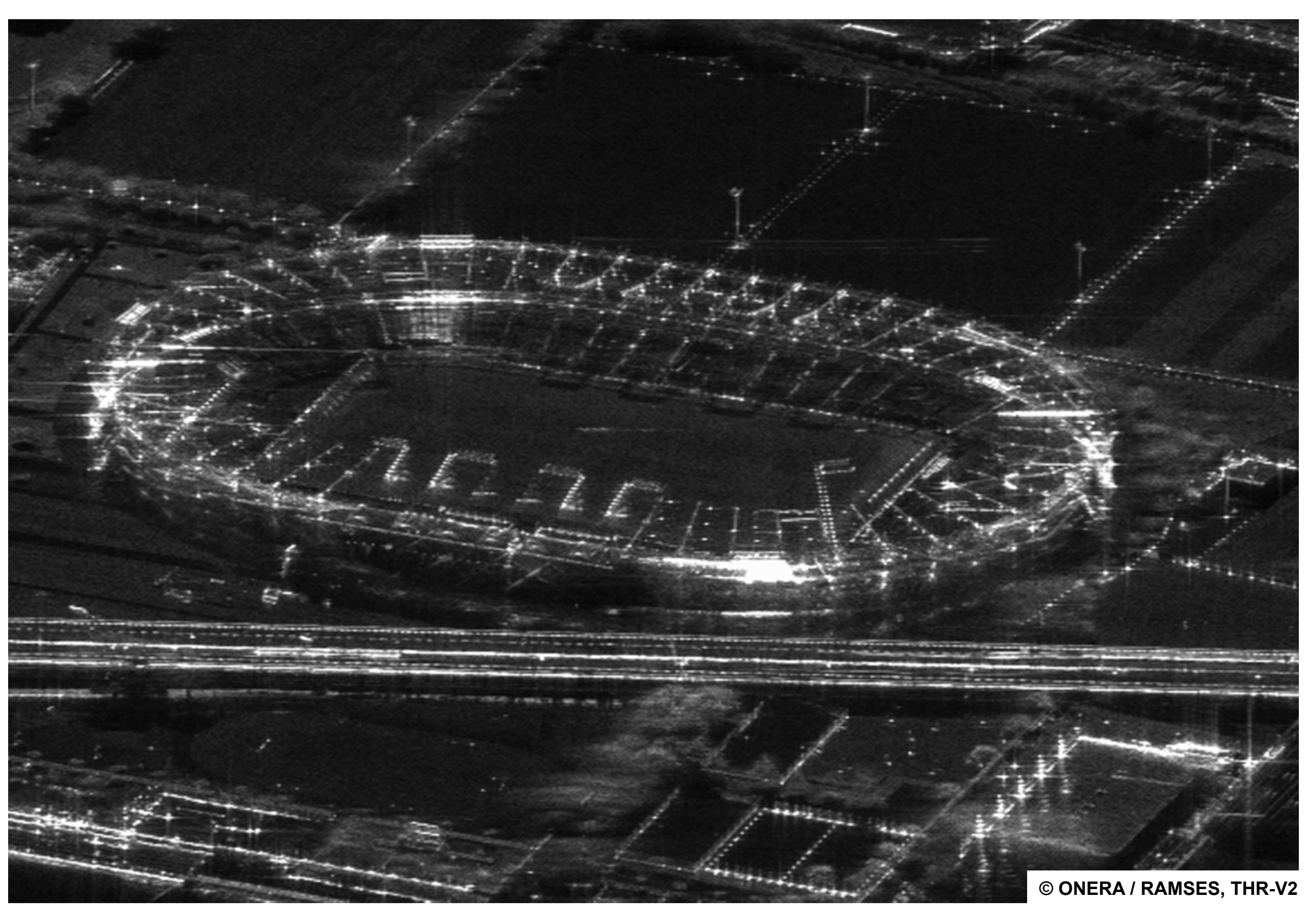


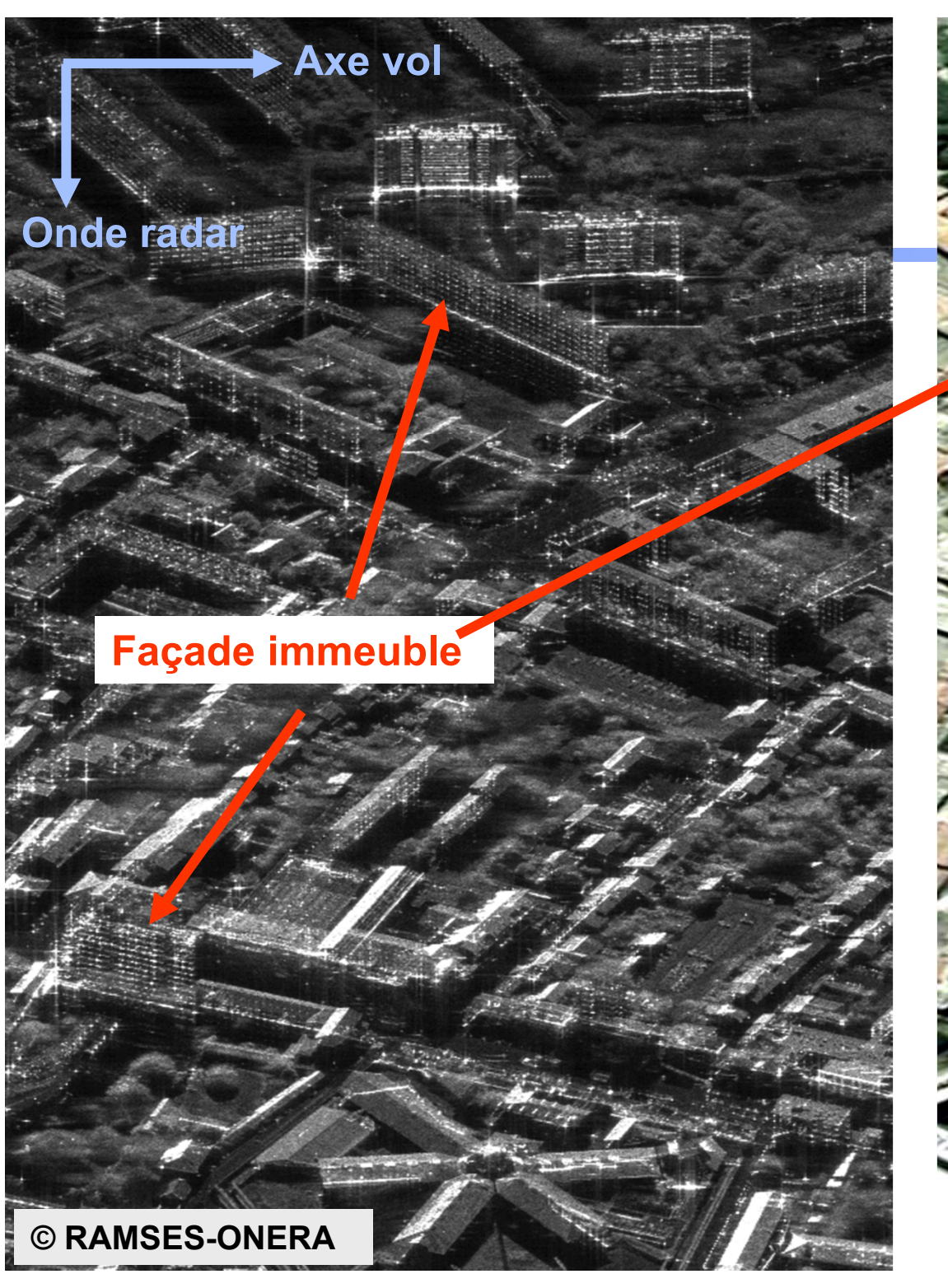
ScanSAR: 18 m



Les différentes échelles de résolution → La classe submétrique CNES, Centre de Toulouse, RAMSES,2004 © ONERA





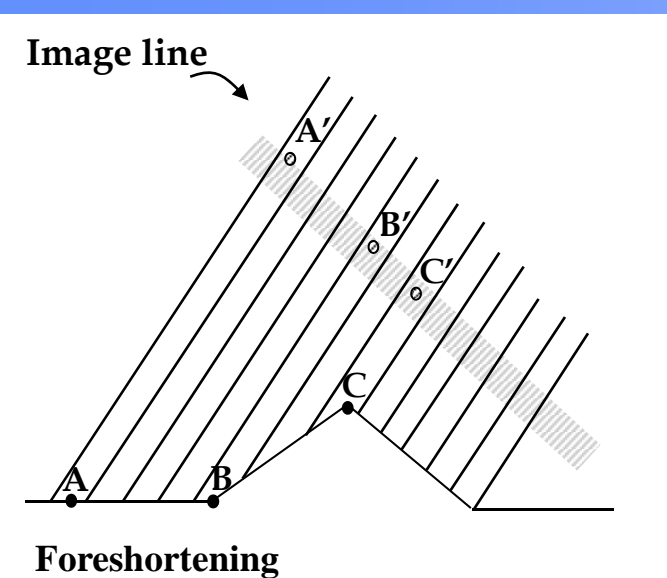


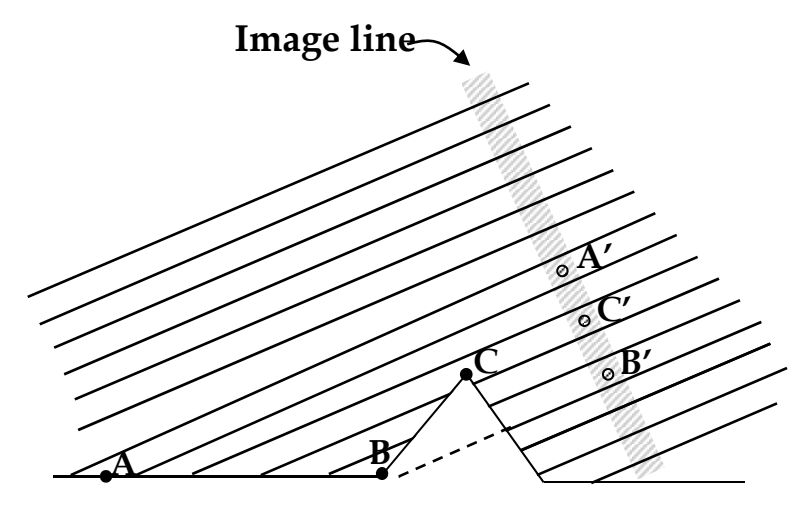


Une géométrie difficile ...

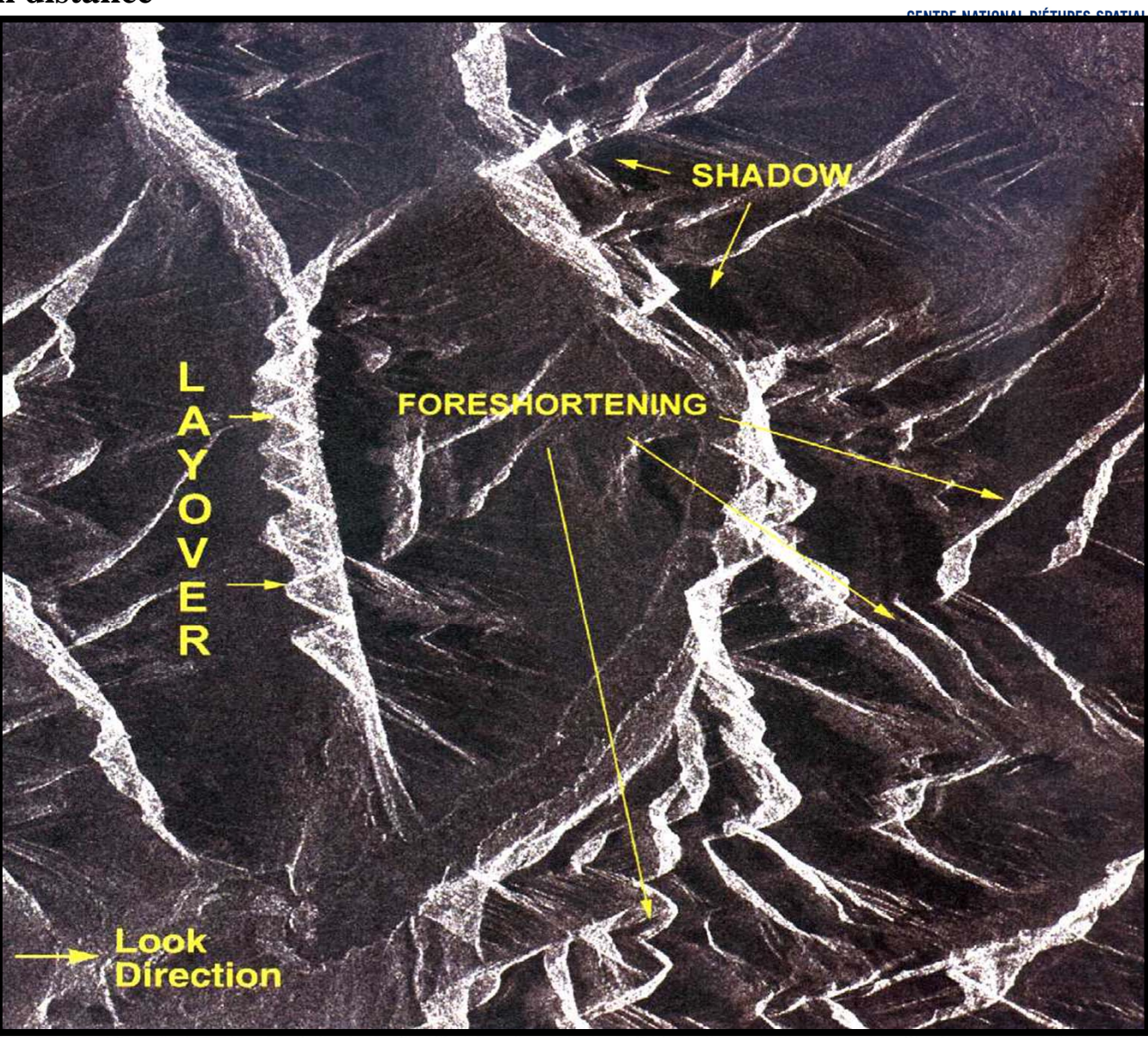


→ Artifacts géométriques liés à la vision en distance





Layover

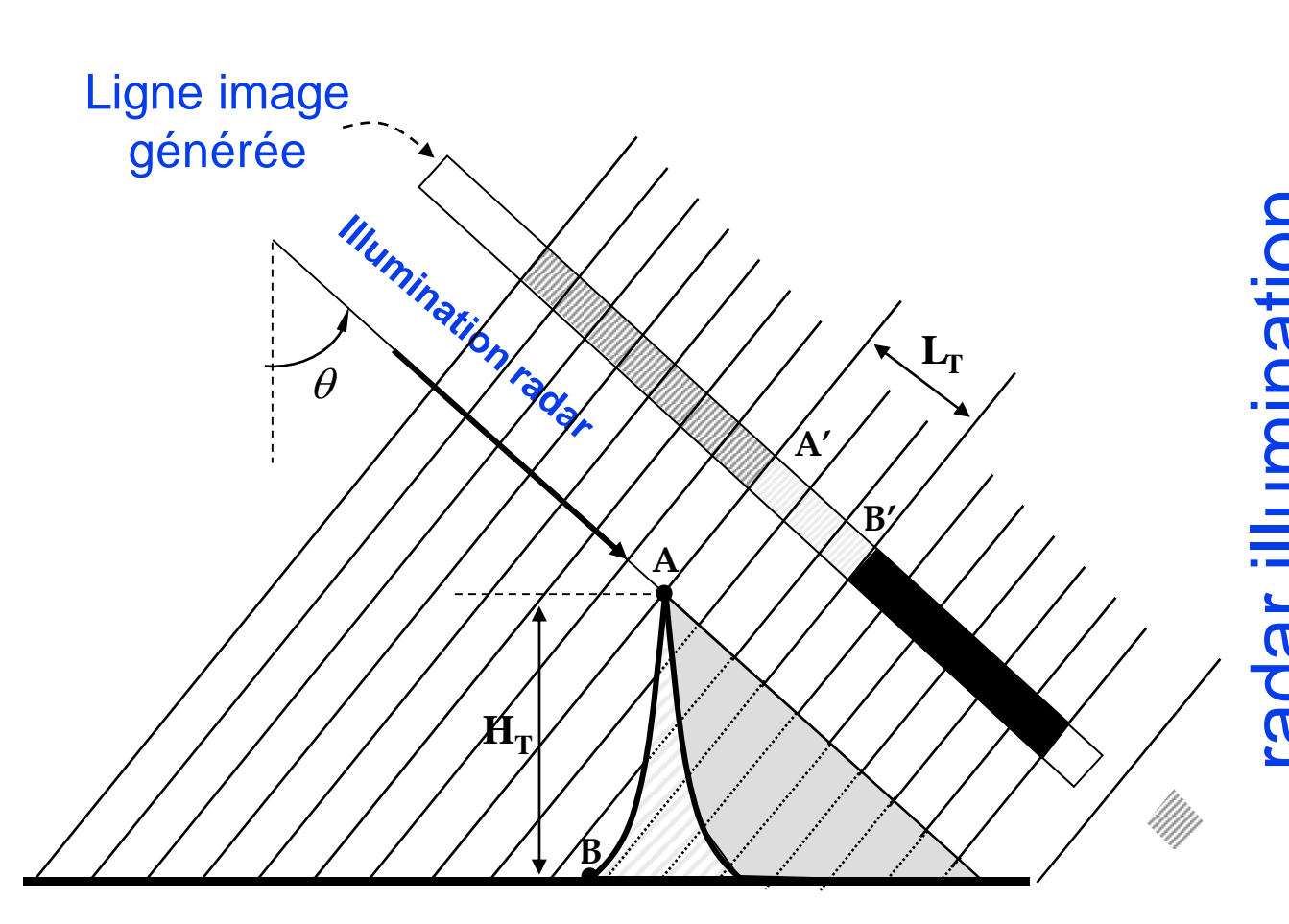


Copyright RADARSAT international

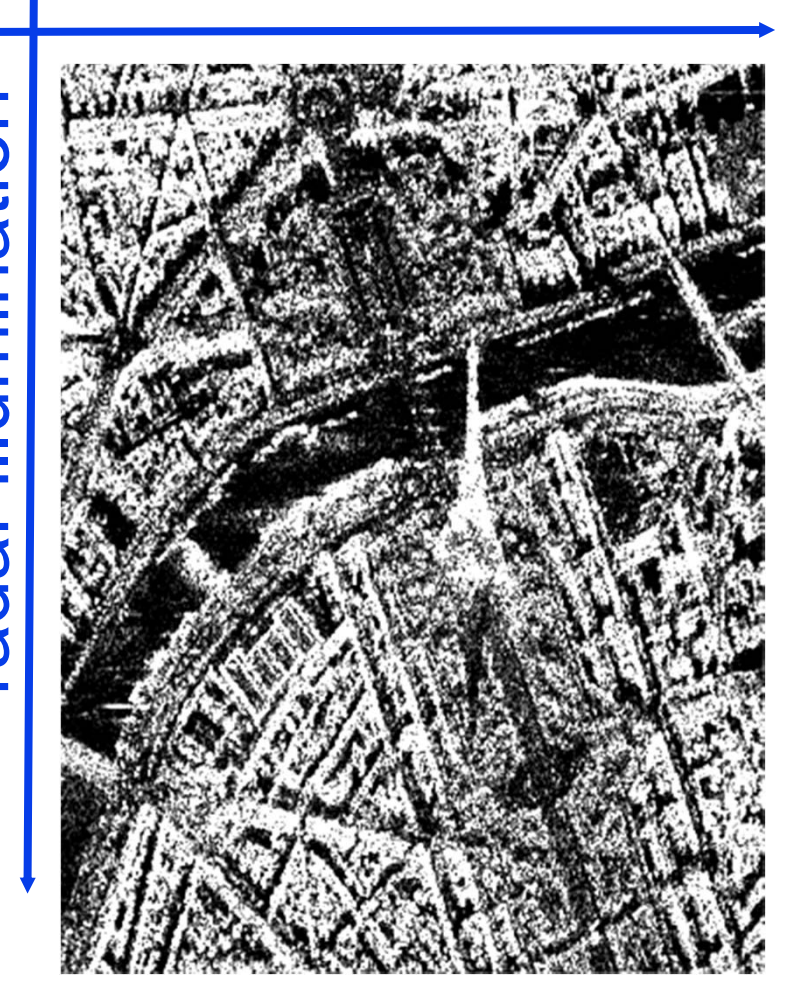
Une géométrie difficile ...

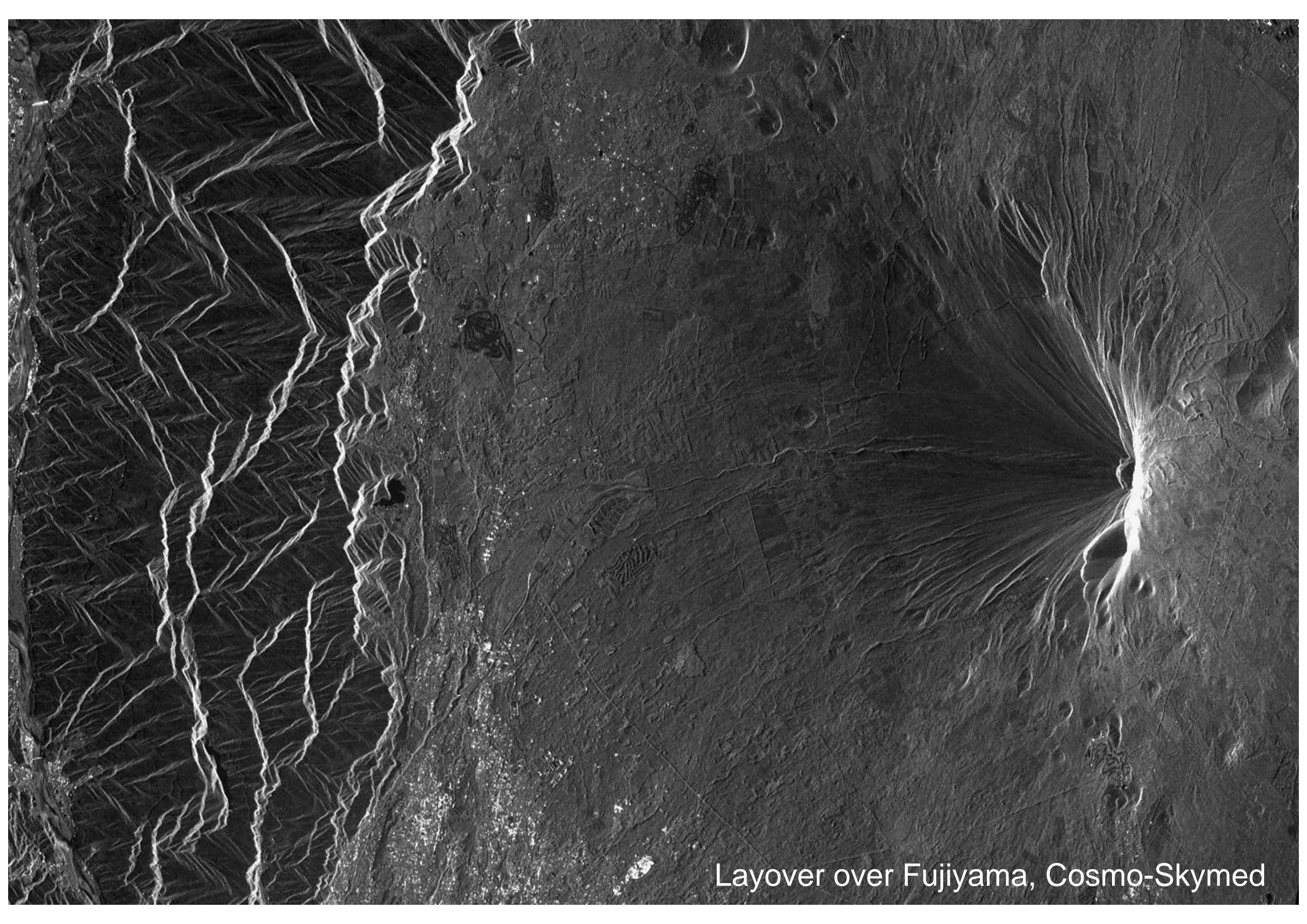
→ L'effet de layover : renversant !





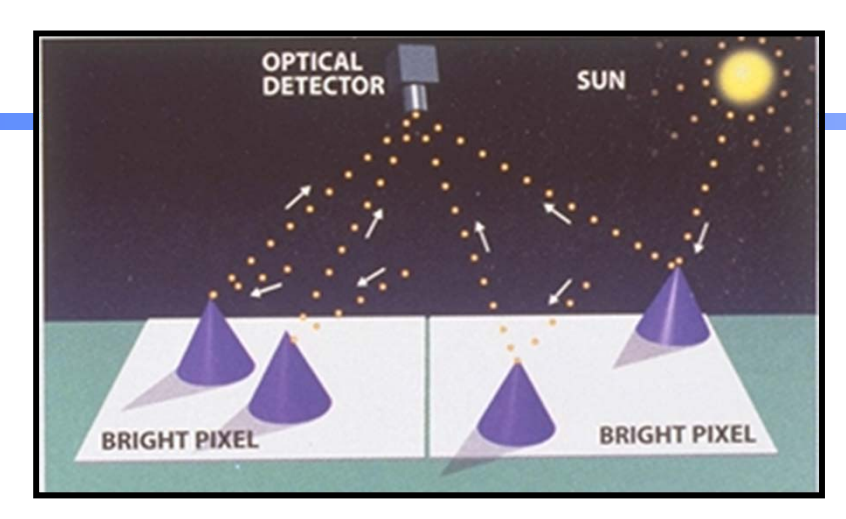
Trajectoire radar

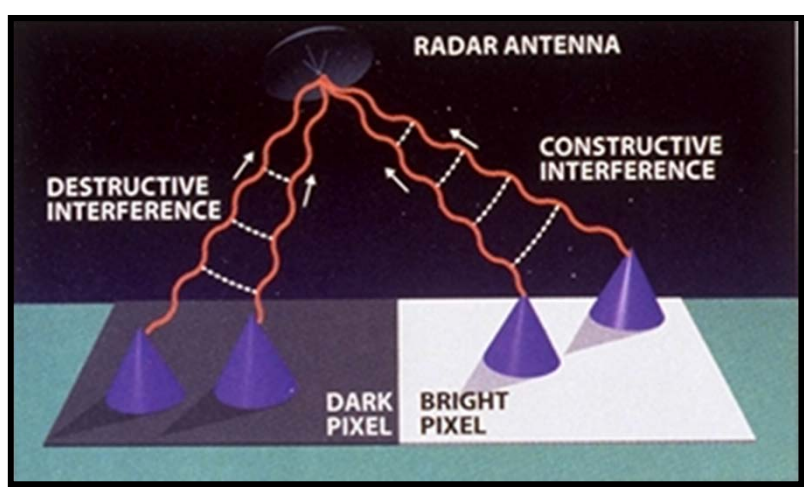




... et une radiométrie délicate : le bruit de speckle



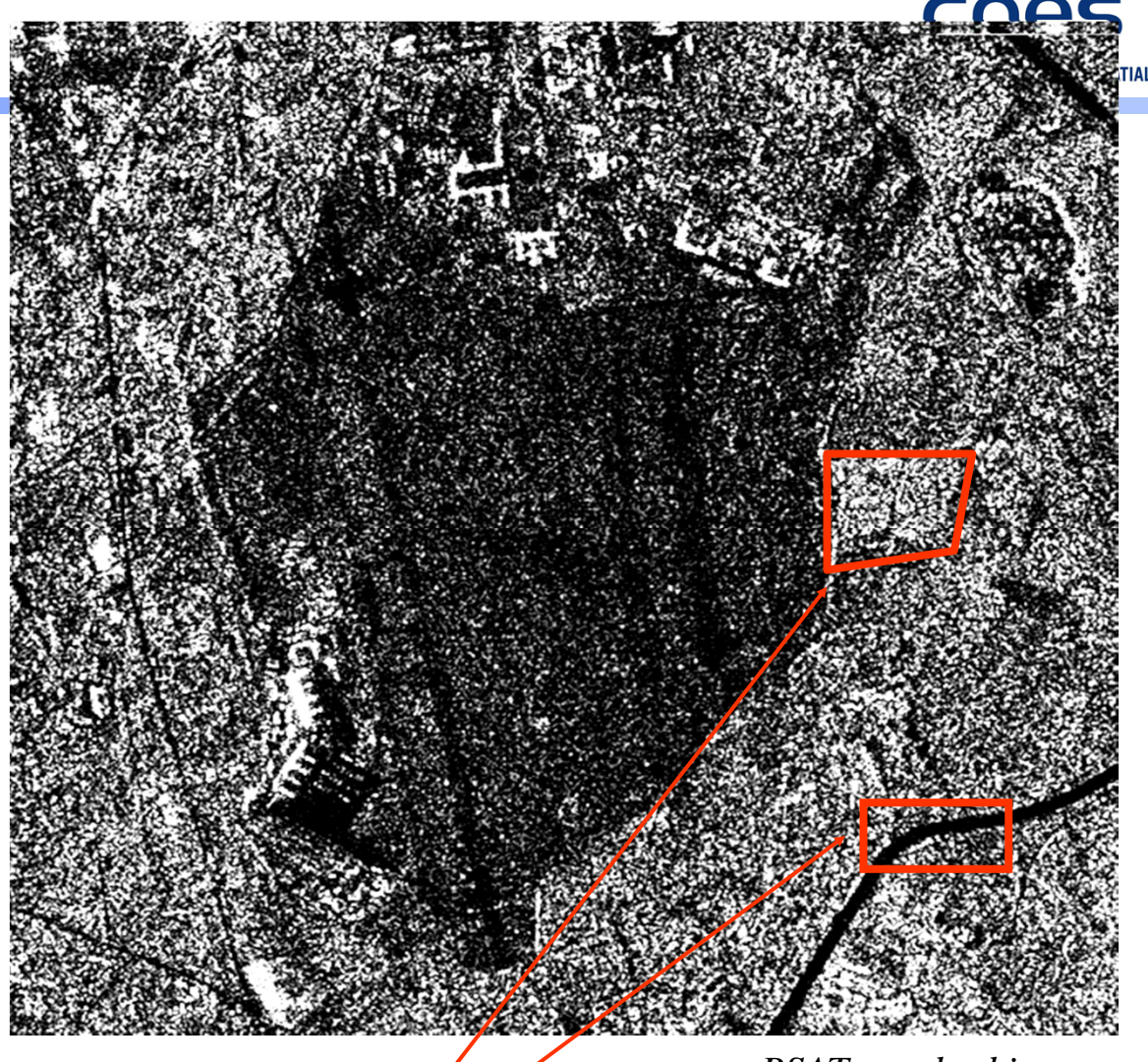




© Scientific American

• lumière aléatoire : résultat certain ...

• lumière ordonnée : résultat aléatoire !



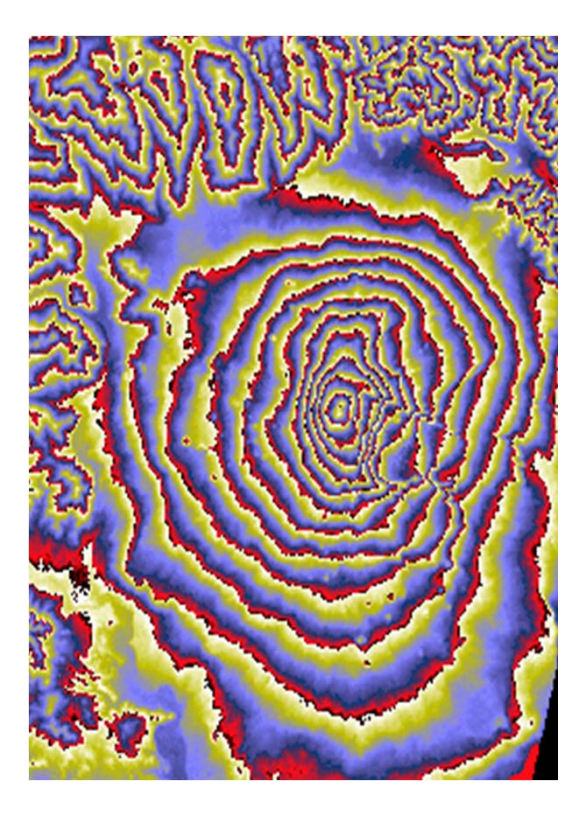
RSAT standard image

Le speckle est un bruit multiplicatif

Les techniques vectorielles : Interférométrie radar



Relief

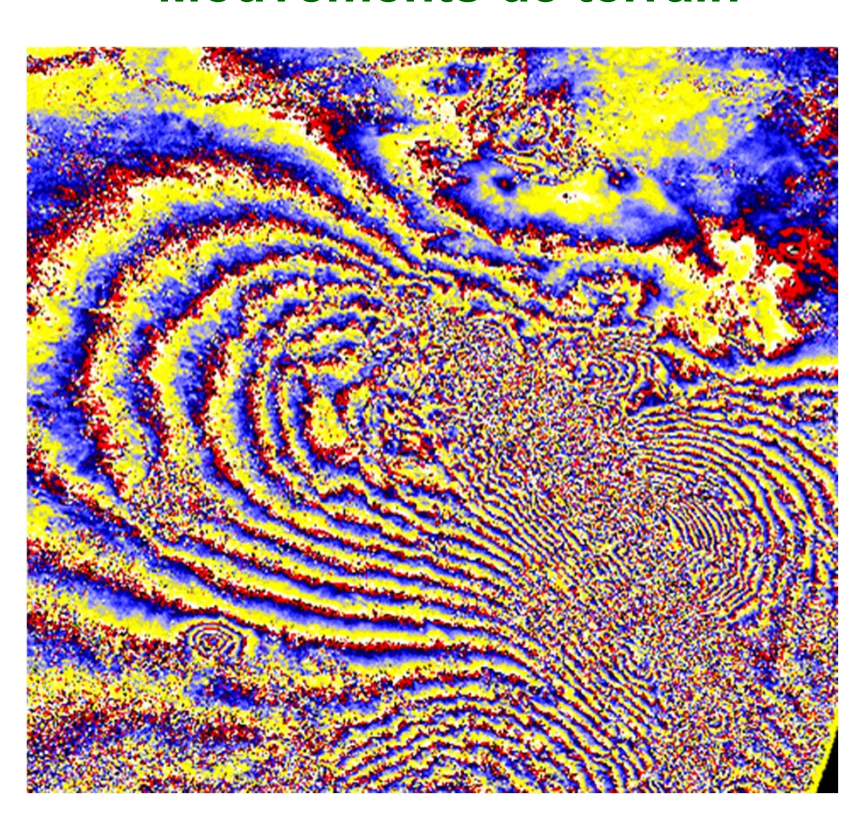


Etna

Courbes d'iso-altitude

Modèles numériques de terrain

Mouvements de terrain

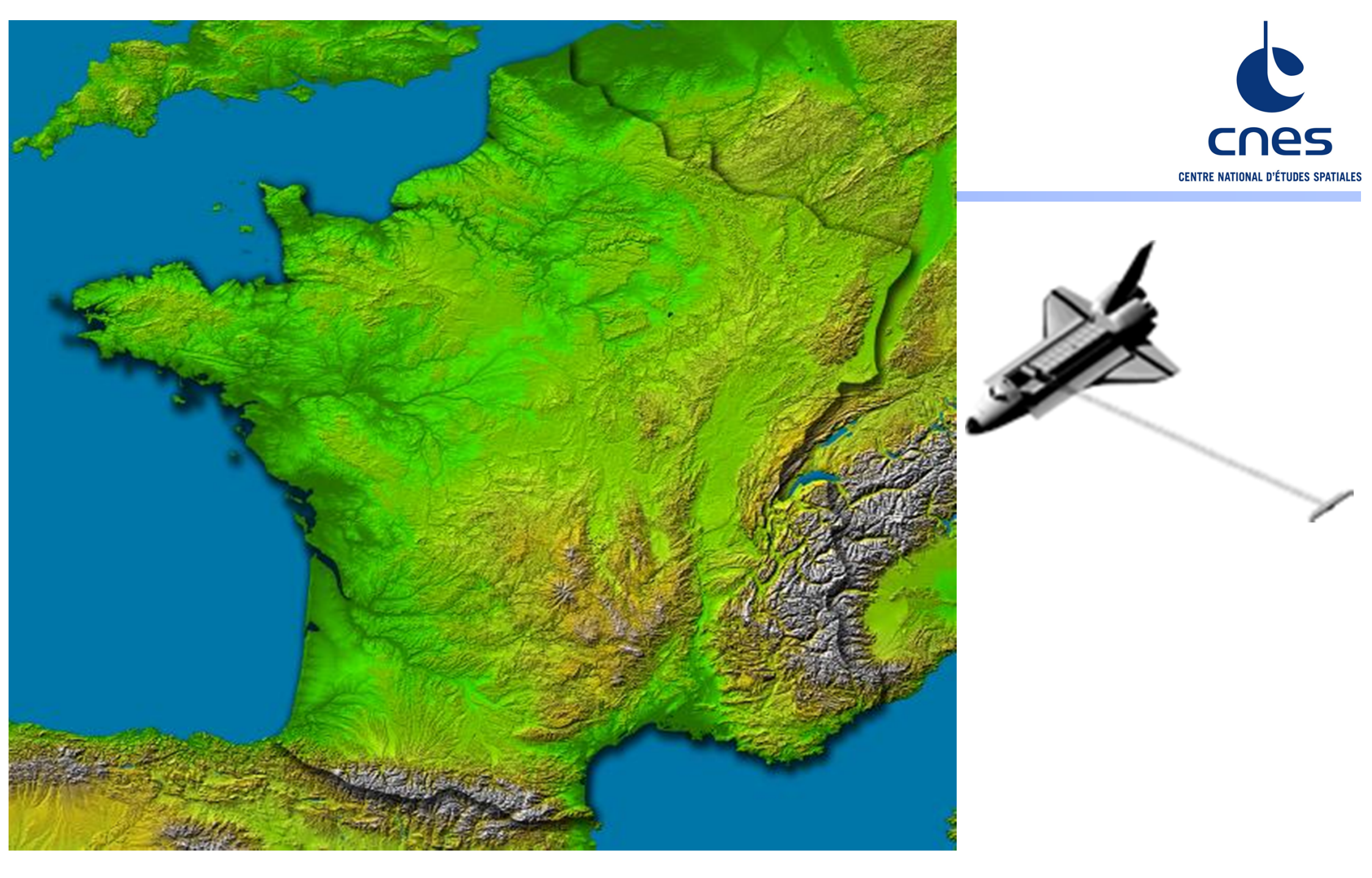


Landers

Courbes d'iso-déplacement



Cartographie des déplacements de terrain control de la terrain con



La France vue par SRTM en Février 2000

Les techniques vectorielles : Interférométrie radar

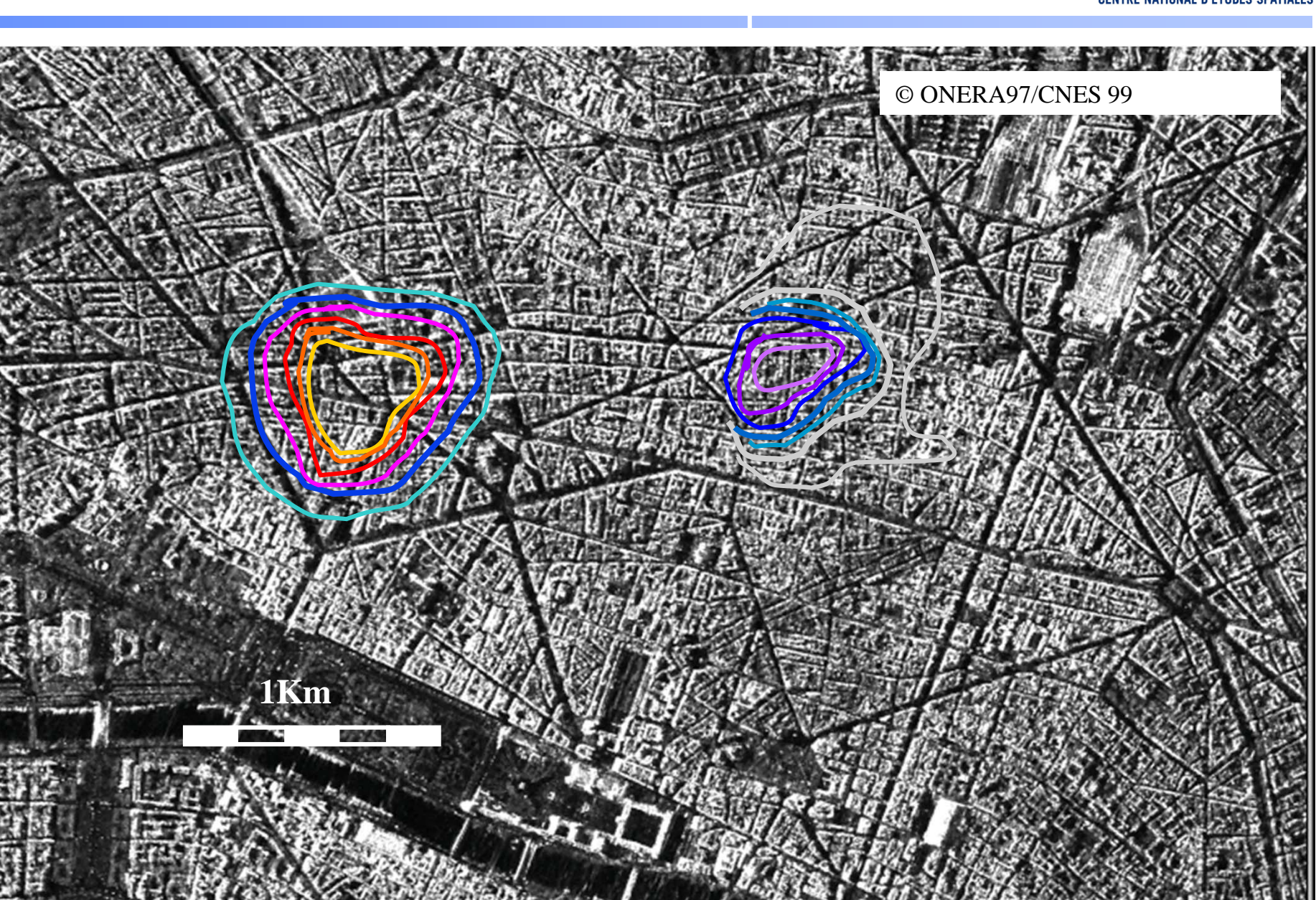
COES
CENTRE NATIONAL D'ÉTUDES SPATIALE

→ Mouvements de terrain : Subsidences sur Paris

Paris

1,6 cm

ERS



Polarimétrie radar

Polarimétrie SIR-C / Site de Ulan-Ude (Russie)





Image mono-polarisation (pol. Horizontale, bande L)

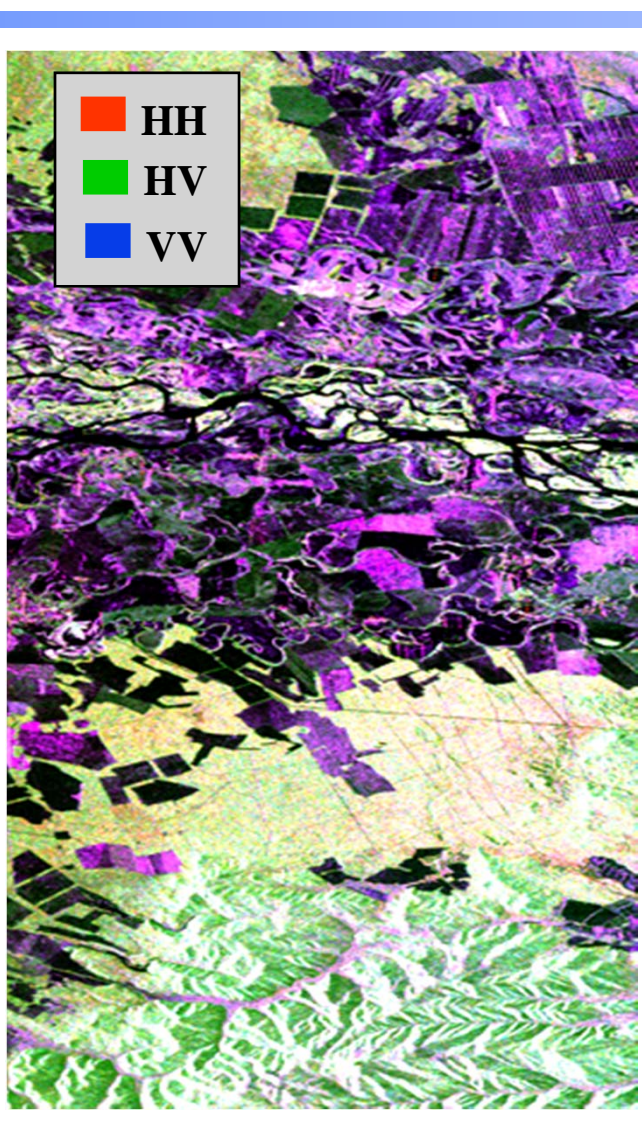
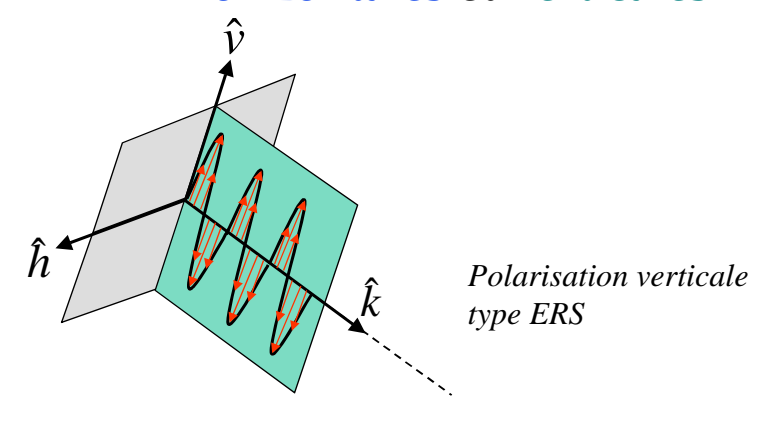


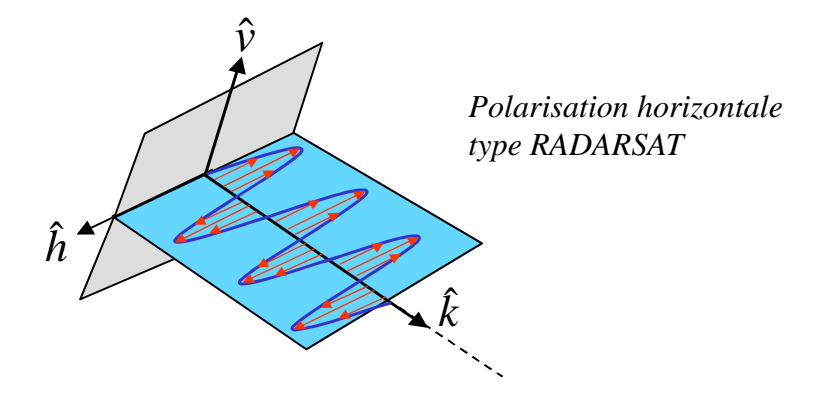
Image polarimétrique (bande L, 24°)

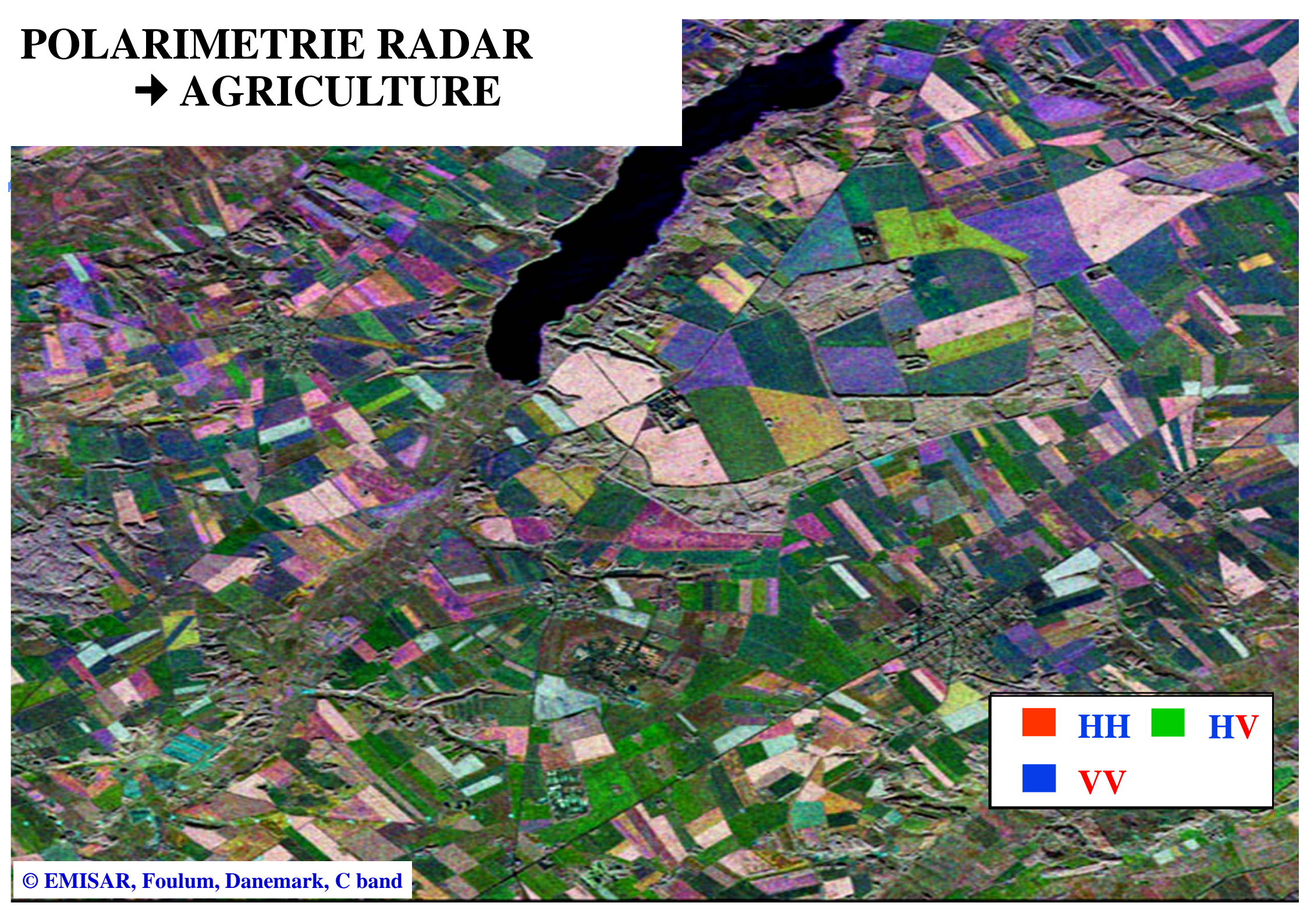
Un radar **polarimétrique** émet et reçoit

simultanément des polarisations

horizontales et verticales

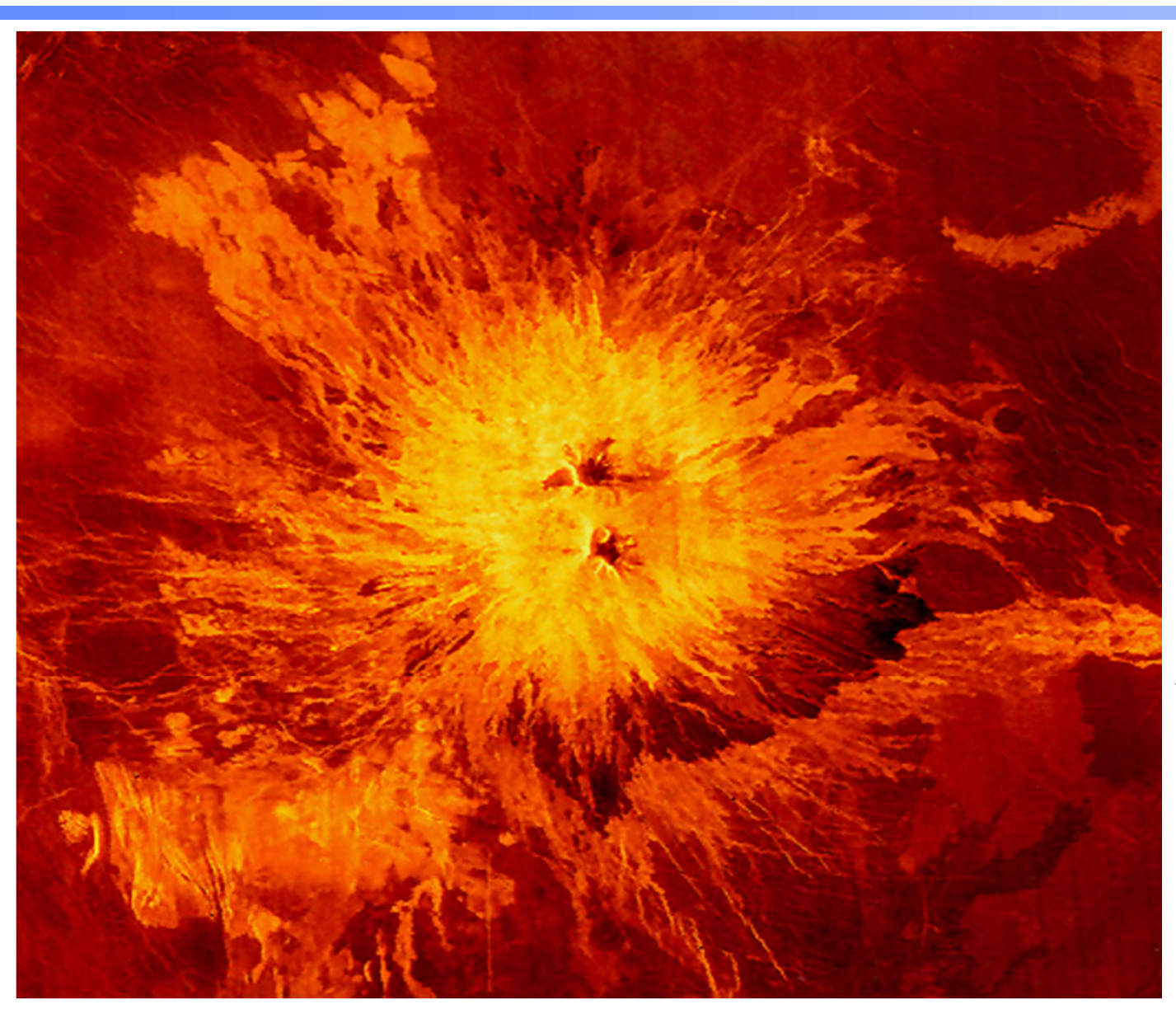






Le SAR imageur pour les études planétologiques





Mission Magellan sur Venus

Le Mont Sapas Surface : 650 km x 650 km

Voyage : Mai 89 → Aug. 90

Température de surface : 730 K

Atmosphère : CO2 (96%) nitrogène (3%)

Caractéristiques du SAR :

bande S (**2.385 GHz**)

Puissance crête : 325 W

Longueur de l'impulsion : 26.5 µs

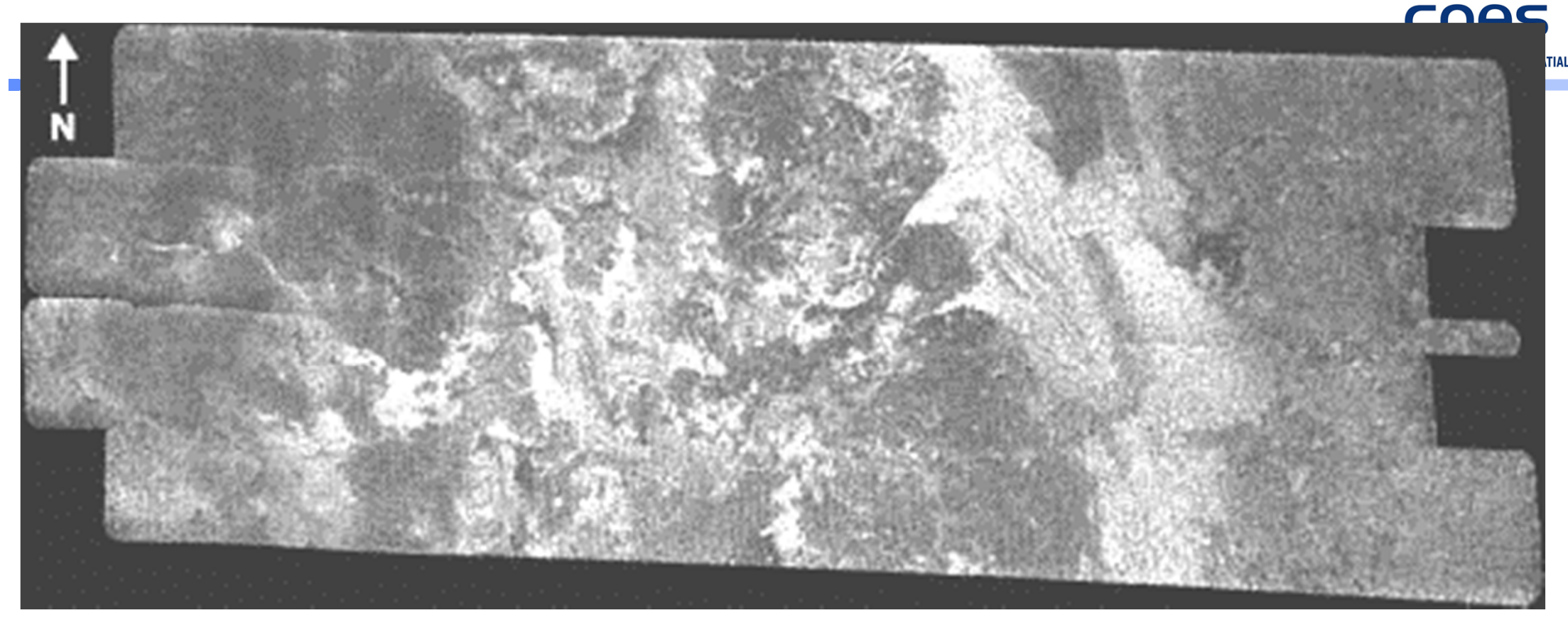
PRF: 4400-5800 Hz

Fauchée: 25 km

Résolution : 150 m

Quantification sur 2 bits

Le SAR imageur pour les études planétologiques



First RADAR image of Titan from Cassini - 2005: 120 kilometers (75 miles) wide by 2,000 kilometers (1,250 miles) long (segment of the full strip). Image: NASA/JPL

RADAR Sensing Instruments:

- * SAR (13.78 GHz, Ku-band (2,2cm); 0.35 to 1.7 km resolution
- * Altimeter (Ku-band; 24 to 27 km horizontal, 90 to 150 m vertical resolution)
- * Radiometer (passive Ku-band; 7 to 310 km resolution)